

UNIVERSIDAD NACIONAL AUTONOMA DE MEXICO  
FACULTAD DE INGENIERIA

DONADO POR D.G.B.-B.C.

ANALISIS DE RESIDUALES  
EN TIEMPOS DE VIAJE PARA TEMBLORES MEXICANOS,  
USANDO PRIMEROS ARRIBOS

T E S I S

Que para obtener el titulo de :

INGENIERO GEOFISICO

P R E S E N T A :

JAVIER FRANCISCO LERMO SAMANIEGO

MEXICO, D.F.

1984



**UNAM – Dirección General de Bibliotecas**

**Tesis Digitales**  
**Restricciones de uso**

**DERECHOS RESERVADOS ©**  
**PROHIBIDA SU REPRODUCCIÓN TOTAL O PARCIAL**

Todo el material contenido en esta tesis está protegido por la Ley Federal del Derecho de Autor (LFDA) de los Estados Unidos Mexicanos (México).

El uso de imágenes, fragmentos de videos, y demás material que sea objeto de protección de los derechos de autor, será exclusivamente para fines educativos e informativos y deberá citar la fuente donde la obtuvo mencionando el autor o autores. Cualquier uso distinto como el lucro, reproducción, edición o modificación, será perseguido y sancionado por el respectivo titular de los Derechos de Autor.

# **TESIS CON FALLA DE ORIGEN**

## INDICE

	Página
<b>RESUMEN</b>	1
<b>INTRODUCCION</b>	2
<b>I LA TECTONICA EN MEXICO</b>	4
<b>2 DATOS</b>	5
2.1 Recopilacion de informacion necesaria	5
2.2 Procesado de datos	6
2.2.1 El Temblor de Ometepec 1969	7
2.2.2 El Temblor de Playa Azul 1971	9
2.2.3 El Temblor de Huajuapan De Leon 1970	10
2.2.4 El Temblor de Pachuca 1973	13
2.2.5 El Temblor de Queretaro 1973	15
<b>3 ANALISIS E INTERPRETACION DE DATOS</b>	19
3.1 Localizacion Utilizando Residuales	20
3.1.1 Localizacion en la Region de Oaxaca	20
3.1.2 Localizacion en la Region de Pachuca	21
3.1.3 Localizacion en la Region de Ometepec	22
3.1.4 Localizacion en la Region de Huajuapan de Leon	23
3.2 Determinacion de Modelos Corticales Utilizando Residuales	24
3.2.1 Procesado de Modelos	24
3.2.1.1 Modelo para el continente	25
3.2.1.2 Modelo para la corteza	26
3.2.2 Modelo final	28
<b>4 DISCUSION Y CONCLUSIONES</b>	30
4.1 Localizaciones	30
4.2 Modelos Corticales	31
<b>5 TABLAS</b>	32
<b>6 BIBLIOGRAFIA</b>	61
<b>APENDICE A</b>	67
<b>APENDICE B</b>	72
<b>AGRADELMIENTOS</b>	74

## RESUMEN

---

El proceso de localización de hipocentros mexicanos permitió observar en estaciones nacionales, residuales en tiempos de viaje de los primeros arribos; sistemáticos y del orden de 3s. Rodríguez et al. 1983. Con el objeto de obtener, mediante residuales confiables, una estimación de un modelo de velocidades de la corteza continental en la zona de subducción mexicana, se procedió de la siguiente manera:

Se buscaron sismos para los que se tenían estimaciones precisas de sus hipocentros, este es el caso de aquellas réplicas localizadas mediante una red local, para los temblores de Oaxaca en 1978 ( $M_s = 7.8$ ), Petatlán 1979 ( $M_s = 7.6$ ), Huajuapan de León 1980 ( $M_s = 7.0$ ), Flava Azul 1981 ( $M_s = 7.3$ ) y Ometepec 1982 ( $M_s = 6.9$ ). Una selección que considera las réplicas mejor localizadas, de mayor magnitud y con registros claros en las estaciones de SISMEX forma el conjunto de datos básicos con el cual se obtuvo el conjunto de residuales. Estos residuales se calcularon con respecto a un modelo cortical utilizado rutinariamente en el Instituto de Ingeniería, el cual idealiza, mediante capas planas, la estructura de la corteza en México.

El uso de los residuales como correcciones para la localización de epicentros en las regiones de Huajuapan de León, Ometepec, Oaxaca y Petatlán, es óptimo; siempre que se cuente con registros de estaciones cercanas a la costa, ya que de lo contrario la localización con la distribución y densidad de estaciones sismológicas actuales, pueden tener corrimientos preferenciales hacia las estaciones continentales cercanas a estas regiones. La relación de estos residuales con la distancia y el azimut muestra que el modelo utilizado rutinariamente es rápido (+ 3.5 s) y con fuertes anomalías azimutales (- 2.0 s), sugiriendo estas, variaciones horizontales de la velocidad y capas inclinadas.

Para minimizar los residuales obtenidos, tanto en las estaciones continentales como costeras, es necesario representar la estructura de la corteza mediante un modelo promedio de capas inclinadas, con espesores de 5, 20 y 11 km, y velocidades de 4.0, 6.1, 6.8 y 8.0 km/s en la línea de costa, e inclinaciones en las dos últimas capas cercanas a 3 y 6 grados.

## INTRODUCCION

La estructura de la corteza continental en Mexico es poco conocida. Algunos estudios, obtenidos desde explosiones y sismología de temblores se resumen a continuación. Meyer et al. (1958) usando refracción sismica, determino un modelo cortical para el sur de Durango, con un espesor de la corteza de 44.5 km y una velocidad promedio de 6.3 Km/seg; Males (1971), tambien usando refracción sismica obtuvo un modelo para la zona norte del Golfo de Mexico, con un espesor de 33 km y una velocidad promedio de 6.0 Km/seg para la corteza. Thatcher y Brune (1973), usando datos de dispersión de ondas superficiales, estimaron la estructura de la corteza para el Golfo de California y Sonora, obteniendo para Sonora un espesor de la corteza de 25 km con una velocidad promedio de 5.8 Km/seg; Fix (1975), estudió las ondas superficiales de 18 temblores cercanos a Chiapas, obteniendo un modelo para la parte central del país, con un espesor de 43 km. Novelo (1980), utilizando la velocidad aparente y la diferencia de llegadas de las ondas P y S (S-P) en una red local, determino un modelo cortical para el suroeste del país; Castro (1980), para esta misma región determino otro modelo, utilizando el método de la diferencia de tiempos de llegada de las fases S y Sp y las razones de sus amplitudes, estimando una profundidad de 43 km para la corteza.

Con respecto a los estudios basados en réplicas de temblores fuertes, se han estimado modelos de la estructura de velocidades de propagación de ondas P. Para la región de Oaxaca (temblor 1978) y para la localización de las réplicas del temblor de 1982 en Morelos, se utilizó un modelo que fue propuesto por Fonce et al. 1979, quien consideró los estudios de refracción sismica de Short and Fisher (1961); Heisley et al. (1975), y Mooney et al. (1975) para la determinación de este modelo. En las regiones de Playa Azul y Petatlán, zona de réplicas de los temblores de 1981 y 1979, se elaboraron modelos partiendo del que fue utilizado en las localizaciones de las réplicas del temblor de Colima de 1973 (Reyes et al., 1979); para la localización de las réplicas del temblor de 1980, se usó un modelo que utiliza como esencialmente, para dar sus hipocentros, el Boletín Sismológico Preliminar de RESMAC, (Toledo y Nava, 1983).

Como se observa, los resultados de estos estudios son en gran parte para regiones pequeñas, y sobre todo muy discutibles. En realidad no se conoce en detalle la estructura de la corteza en muchas regiones de Mexico.

En este estudio, considerando que los tiempos de arribo consignados para algunas estaciones nacionales, tienen residuales hasta de 3s (Rodríguez et al., 1983), se determinó

enizar un conjunto de residuales confiables, con el objeto de obtener una estimación del modelo de la estructura de velocidades de propagación de ondas P, así como, mejorar las localizaciones de epicentros estimadas localmente. Para obtener estos residuales confiables se prosiguió de la siguiente manera:

Primeramente se seleccionaron aquellos temblores a los que se asignaron epicentros mediante datos de una red local; y que, además, tengan registros claros en las estaciones de SISMEX. Formando así un criterio de selección que solamente se cumple en algunas de las replicas de los temblores de Oaxaca en 1970, Petatlan 1979, Huajuapan de Leon 1980, y Ometepec en 1982. A continuación se fijaron estos epicentros, y se obtuvieron los tiempos de viaje calculados de los primeros arribos (con un modelo estandar) a las estaciones de SISMEX, y a todas aquellas para las que se encontró consignado el tiempo de arribo de las replicas respectivas. Entonces, las diferencias de los tiempos observados y de estos tiempos calculados, son un conjunto de residuales de alta calidad. El promedio de los residuales para cada estación y región, se utiliza como corrección de tiempo en las estaciones con el objeto de mejorar la localización de temblores. También, mediante prueba y error se obtuvieron aquellos modelos que mejor se ajustan a las observaciones; y son entonces, una idealización más real de la estructura de la corteza en México Central.

## I LA TECTONICA EN MEXICO

---

En Mexico central, la distribucion espacial de los volcanes activos, representados en la fig. 1, muestra que a diferencia de otros lugares, el alineamiento de estos no es paralelo a la trinchera, sino que tiene un rumbo que difiere cerca de 18 grados. Mooser (1972) y Demant (1979), opinan que puede tratarse de una antigua sutura, resultado de la union de dos antiguos continentes durante o antes del Paleozoico, que se ha visto reactivada a partir del Miocene por la subducción de la placa de Cocos. Singh (1974), opina que la placa en la zona de subducción se encuentra segmentada, y cada segmento entra con diferente angulo de echado, esto es, si se supone que el frente volcánico principia donde la profundidad de la zona de Benioff alcanza un valor fijo entre cien e ciento cincuenta kilómetros, entonces el frente volcánico estaría desplazado según el echado de cada segmento, así y mediante el ajuste del numero de segmentos y sus echados, se puede explicar la diferencia en rumbos entre la trinchera y el eje volcánico Mexicano, (ver fig. 2).

La Placa de Cocos, está limitada al norte y noreste por la trinchera Mesoamericana, al este por la fractura de Panamá, al sur por la dorsal de Galápagos y al oeste por la dorsal del Pacífico Este. Tiene un área de  $3 \times 10^6$  km y unos 70 km de ancho en la parte norte y de 90 km en la parte sur (Hanus y Vanek, 1972). Dentro de esta hay estructuras sobresalientes como son: la zona de fractura de Rivera, la zona de fractura de Cocos y las cordilleras submarinas de Tehuantepec y de Cocos (fig. 1). El polo de rotación de esta placa con respecto a la Norteamericana está a los 29.8° N y 121.3° W, y tiene una velocidad angular de 1.429 grados en un millón de años (Minster y Jordan, 1978).

La morfología y el patrón volcánico en la región del centro y sur de Mexico, refleja primordialmente la subducción de la Placa de Cocos bajo el continente americano (Molnar y Sykes, 1969; Dean y Drake, 1978); la actividad sísmica también refleja la presencia de esta zona: En su expresión somera a lo largo de los bordes de la costa del Pacífico, a profundidades intermedias dentro del continente, y a profundidades mayores al sureste de Mexico, (ver fig. 3). La actividad sísmica hacia el noroeste de la región de Tehuantepec, ha sido analizada en varios estudios que utilizaron boletines como el Monthly Listing of Preliminary Determination of Epicenters (PDE) y el International Seismological Centre (ISC) (e.g. Molnar y Sykes, 1969; Hanus y Vanek, 1978; Lefevre y McNally, 1984; Burbach et al., 1984), sin embargo, la localización de hipocentros es tan poco confiable que ninguno de los resultados son aceptables (Singh y Lerma, 1984). Mientras que estudios con hipocentros reportados por redes locales, como los relacionados con los temblores de Oaxaca en 1972 (Hayes et al., 1978) y Pefatlan en 1979 (Valdez et al., 1982), sugieren un echado de

20 y 15 grados para la inclinación de la zona de Benito en su parte somera, respectivamente, y con un espesor de 75 Km para el área de Petatlán. De igual forma para la región de Tahuantepec, la geometría de la zona de Benito más allá de los 60 Km de profundidad, parece ser un estrato de 45 Km de espesor, rumbo N 45° E y echado de 45 grados (Havskov et al., 1982 y Rodríguez et al., 1983). Por lo tanto, solamente cuando hay redes locales se resuelve la inclinación de esta zona. Razón por la cual estos estudios se toman en cuenta en el proceso del modelado.

## DATOS

### 2.1 Recopilación de información necesaria

Durante la década pasada seis sismos fuertes ( $M_s > 7.0$ ) ocurrieron en la zona de subducción Mexicana. Estos son los de Colima (1973,  $M_s=7.5$ ), Oaxaca (1973,  $M_s=7.6$ ), Petatlán (1979,  $M_s=7.6$ ), Huajuapan de León (1980,  $M_s=7.0$ ), Playa Azul (1981,  $M_s=7.3$ ) y Ometepec (1982,  $M_s=6.9$ ). Para todos ellos se instalaron redes locales de sismógrafos, que registraron la actividad sísmica posterior a los eventos principales. El temblor de Colima se excluye del presente estudio, pues muy pocas estaciones sismológicas operaban en México en ese tiempo. Fue a fines de 1973 cuando entró en operación la red Sismotelegráfica del valle de México, (SISMEX).

La localización epicentral, profundidad y magnitud de las réplicas asociadas a los temblores de 1982, 1981 y 1979, se obtuvieron de los estudios de Nava (1984), Havskov et al., 1983 y Zúñiga y Valdés (1982), respectivamente. Mientras que para el temblor de 1980, estos datos se obtuvieron de dos estudios y de un boletín : Jiménez (1981), Toledo y Nava (1983) y el Boletín Sismológico. De igual manera, para el temblor de 1978 se obtuvieron de dos estudios y de un boletín : Quintanar et al., 1984, Rodríguez (1980) y el Boletín Sismológico.

Se localizaron los sismogramas de las cinco estaciones de SISMEX y de ALX de REGMAS, que contienen los registros de las réplicas de los temblores seleccionados. Sin

sin embargo, sismogramas de las estaciones CR5 y CR6 de la Red de Chicoasen así como de la CC4 y ZIH, tan solo se obtuvieron para el temblor de 1982, a diferencia de las estaciones autónomas CSN, OZC y TCA que se obtuvieron para la mayoría de los temblores. Otras estaciones como las de RESMAC (CRX, TLX) y del Servicio Sismológico Nacional (VHO, OXM, COM, PBU, SXO, POU, TFM), a las que también se les analizó su residual para algunos temblores, solamente se tomaron las lecturas directamente de los boletines (Boletín Sismológico Preliminar y Boletín Sismológico). En la figura 4 se muestra la distribución de estas estaciones.

## 2.2 Procesado de datos

---

Para obtener los residuales de cada región, se buscaron en los sismogramas de SISMEX, las replicas de mayor magnitud localizadas con la red local. Estas replicas fueron leídas minuciosamente, tomando especial interés en el primer arribo.

Para cada región se crearon archivos con las lecturas del primer arribo, la localización epicentral y la profundidad de las replicas seleccionadas, así como el modelo de capas planas usado rutinariamente en el Instituto de Ingeniería para la localización de hipocentros. (ver fig 5). Esto se realiza con un programa que crea el archivo de lectura adaptado a los formatos y parámetros que necesita el programa HYPO71, (Lee y Lahr, 1971). Dentro de estos archivos se fijaron los epicentros obtenidos por la red local para cada temblor. A continuación, se corre el programa de localización HYPO71, solamente para que calcule los tiempos de viaje de cada hipocentro a las estaciones de SISMEX y AGU - estaciones de base para el análisis de los residuales. Por tener la mayoría de los registros -, y así, tener una estimación del residual mediante la ( $\bar{x}$ ) y la desviación estándar típica ( $\sigma$ ) para cada estación.

Esta rutina se realizó para cada conjunto de replicas como se muestra a continuación:

4.2.1 El Temblor de Ometepec 1982

De un total de 87 réplicas fueron seleccionadas 29, sin embargo solamente 8 de ellas presentan un registro claro en las estaciones de SISMEX Y AUX, especialmente la estación IIM que tiene una ganancia baja. Estas fueron leídas nuevamente y procesadas según la rutina mencionada anteriormente, los resultados se resumen en la siguiente tabla.

TABLA 1  
OMETEPEC, 1982

Nº	REPLICA	RESIDUALES DEL PRIMER ARRIBO (s)						PROF (Km)	MAG (Mw)	LAT N	LON W
		AUX	III	III	IIP	IIM	IIC				
1	S20602113044.25	-0.93	2.20	2.13	3.10	3.86	2.48	23.00	4.14	16.59	98.44
2	S20609161131.54	-	1.03	0.83	2.66	5.74	2.35	14.88	3.90	16.38	98.50
3	S20613081259.97	0.48	3.83	4.15	4.09	6.84	5.15	20.16	4.89	16.16	98.44
4	S20613110752.69	0.22	3.87	4.20	4.49	6.33	4.35	25.87	5.13	16.51	98.40
5	S20613140310.94	0.56	3.80	3.73	4.82	6.36	4.28	24.93	4.72	16.49	98.40
6	S20613202824.12	-0.28	1.80	2.15	4.16	5.32	3.54	22.60	3.85	16.56	98.44
7	S20614224226.75	0.60	3.85	3.66	4.35	6.42	4.55	25.85	5.32	16.36	98.50
8	S20615172418.88	1.03	3.72	3.69	4.95	6.53	4.35	30.07	5.33	16.63	98.47

FUENTE: Localización, profundidad, magnitud y tiempo de origen tomados de Nava (1984).

De estas se escogieron cinco réplicas (3,4,5,7,8) que presentan residuales semejantes, mayores que los otros tres. El análisis de esta diferencia sugiere que puede deberse a dos causas, si el residual es menor : 1) Que la magnitud sea mayor - un temblor presenta diferentes fases en los primeros arribos, estas fases son visibles en el sismograma de acuerdo a la magnitud del temblor y a la sensitividad del sismógrafo, repercutiendo en el tiempo de arribo observado, ya que pueden confundirse fácilmente con el ruido sísmico; en tal caso, se puede estar observando una fase posterior y así mismo un tiempo de arribo observado mayor, y con ella un residual

mayor -.- 2) Que la distancia hipocentral sea menor. Como se han escogido sismos que se registraron claramente, y siendo las profundidades de ellas similares, como se muestra en la TABLA 1, la diferencia no tiene origen en estas dos causas, ya que sus magnitudes son menores; por lo tanto sus residuales serian mayores. Probablemente el error este en la localizacion reportada por la red local.

En la TABLA 2 se muestran las cinco replicas seleccionadas, con los residuales de otras estaciones que se aumentaron despues del analisis de la TABLA 1, ademas la estimacion de la media aritmética ( $\bar{u}$ ) y la desviación estandar ( $\sigma$ ) para cada una de ellas. El primer valor representa el promedio de los residuales calculados, y el segundo valor nos da una idea de la calidad del residual. Como se puede observar, la dispersion de la gran mayoria de los residuales es menor de 0.35 segundos.

TABLA 2

	RESIDUALES DEL PRIMER ARRIEBO (s)																
	ACX	III	IIT	IIP	IIM	IIC	CRX	TLX	CD4	ZIH	CR5	CR6	CSN	OZC	TCX	VHG	CDM
3	0.48	3.63	4.15	4.89	6.84	5.15	-	-	-	-	-	-	2.88	1.66	-	1.78	-
4	0.22	3.37	4.20	4.49	6.32	4.85	5.78	10.2	-	1.88	3.13	2.19	1.93	-	1.58	2.36	-
5	0.56	3.80	3.73	4.62	6.36	4.28	5.31	10.4	-	2.35	-	-	2.48	1.22	-	2.05	-
7	0.60	2.35	3.68	4.35	6.42	4.95	-	-	2.89	3.27	2.61	-	1.88	2.19	1.51	1.73	3.53
8	1.03	3.72	3.69	4.85	6.53	4.35	6.33	-	3.24	2.71	2.77	2.12	2.06	1.83	1.46	2.32	4.74
$\bar{u}$	0.59	3.61	3.89	4.64	6.50	4.63	5.81	10.3	3.07	2.54	2.84	2.16	2.25	1.72	1.61	2.05	4.13
$\sigma$	0.26	0.21	0.23	0.21	0.19	0.32	0.41	0.11	0.17	0.53	0.22	0.04	0.36	0.35	0.19	0.26	0.60

Graficando estos residuales vs distancia hipocentral y azimut para todas las estaciones de las cinco replicas, sobresalen dos tendencias definidas (fig 6): 1) El residual aumenta con la distancia a medida que las estaciones se alejan de la linea de costa, teniendo su maximo en la estacion TLX. 2) El residual se mantiene en un rango de 1 a 3 segundos para las estaciones de la costa (ZIH) y del sureste de Mexico (CRX, OZC, CSN, CR5, CR6); esto se confirma con la segunda grafica (fig 7), en la cual, si se toma como base a TLX, que se encuentra para este caso al norte franco apartir de

Los epicentros de las cinco réplicas, se puede observar que a medida que decrece o crece el azimut, el residual disminuye, cuando nos acercamos hacia las estaciones de la costa.

La primera tendencia sugiere que la idealización que se ha hecho de la tierra real, mediante el modelo estandar de SISMEX (fig 3), es " RÁPIDO ", pues el modelo espera los primeros arribos antes de lo que están llegando. Los residuales para un modelo más " LENTO " serían menores en las estaciones que se encuentran dentro de esta tendencia. Sin embargo, para la segunda tendencia los residuales se van haciendo negativos, como se vera mas adelante. Por lo tanto variaciones laterales en la estructura de la corteza superior se evidencian desde estas graficas.

#### 2.2.2 El Temblor de Playa Azul 1981

---

De un total de 23 replicas, se seleccionaron 4 que presentaban registros en la red de SISMEX, dos de ellos con registros claros.

Al procesar estas replicas se encontro una diferencia bastante notable en los residuales para las estaciones ACX, III y IIM. (ver TABLA 3). Se leyeron nuevamente los sismogramas de la red local, para mejorar la localización; sin embargo, no se pudo mejorar por tener el minimo de estaciones locales (3) para localizarlas. Entonces no se puede asegurar una buena localización, por lo que se decidió excluir este temblor del estudio.

TABLA 3

## PLAYA AZUL, 1981

#	REPLICA	RESIDUALES DEL PRIMER ARIBO (s)						PROF (Km)	MAG (Mo)	LAT N	LON W
		ACX	III	IIM	IIC	IIP	IIT				
1	811028042447.35	6.09	6.82	9.25	6.73	6.09	13.1	15.00	3.26	17.82	102.35
2	811030175359.60	1.38	1.27	4.63	5.96	6.95	11.0	11.65	3.22	17.77	102.12

## 2.2.3 El Temblor de Huajuapan de Leon 1980

De las 77 replicas que estan consignadas en el trabajo de Toledo (1983), cuyas localizaciones fueron hechas mediante la tecnica de evento maestro. Se procesaron primeramente cuatro, ya que se contaba con otras localizaciones reportadas por Jimenez (1981) quien utilizo la red local para su estimacion, y aquella del Boletin Sismologico del SSN (V-84, #4) que utilizo ademas de la red local, las estaciones regionales para dar sus hipocentros. Los resultados del procesado se resumen en la TABLA 4.

TABLA 4

## HUAJUAPAN DE LEON, 1980

#	REPLICA	RESIDUALES DEL PRIMER ARIBO (s)						PROF (Km)	MAG (Mo)	LAT N	LON FUENTE W
		ACX	IIT	III	IIP	IIM	IIC				
1	801026083745.40	-0.86	3.03	2.46	3.61	3.61	2.87	52.00	3.90	17.92	98.10 BS
2	801026083746.10	-1.52	1.78	1.19	2.32	2.30	1.59	55.00	3.90	17.89	98.07 T
3	801026155416.10	-1.84	1.69	0.31	2.48	2.46	1.67	50.70	4.49	17.97	98.19 J
4	801026155415.10	-0.98	2.52	1.02	3.23	3.19	2.42	51.00	4.49	17.96	98.17 BS
5	801026155415.40	-1.27	1.79	0.34	2.45	2.41	1.63	51.00	4.49	17.93	98.15 T
6	801028104026.30	-2.83	1.65	0.71	2.32	2.07	1.38	51.90	4.07	17.94	98.08 J
7	801028104025.00	-1.57	2.79	1.85	3.44	3.19	2.49	52.00	4.07	17.93	98.07 BS

8	801028104026.60	-2.71	0.65	0.33	1.56	1.39	0.66	58.60	4.07	17.90	98.10	T
9	801030110007.30	-1.21	1.71	1.36	2.11	2.04	1.55	42.00	3.83	17.90	98.12	BS
10	801030110007.60	-1.96	1.80	1.03	2.16	2.05	1.61	49.00	3.82	17.94	98.11	T

BS Localización, profundidad, magnitud y tpo. de origen. Boletín Sismológico (SSN).  
 T Localización, profundidad, magnitud y tpo. de origen tomados Toledo y Nava (1983).  
 J Localización, profundidad, magnitud y tpo. de origen tomados Jiménez (1980).

De la comparación de estos residuales, sobresale los de Toledo y Nava (1983) en tres replicas (1,2,4), por presentar residuales semejantes en cada una de las estaciones. Sin embargo, los de Jiménez (1981) también concuerdan con estos para la replica 2, a diferencia del Boletín, en donde son mayores, salvo para la cuarta replica.

Con respecto a la replica 3 que tiene residual menor, tampoco se le puede preferir a las dos causas propuestas para el temblor de 1982, ya que no tiene variaciones notables, ni en la localización, ni en la profundidad y magnitud; lo cual sugiere nuevamente que el error se encuentra en la relocalización reportada por Toledo y Nava (1983).

En la TABLA 5 se analizan otras dos replicas (1,5) que tienen residuales semejantes a los tres de Toledo, con profundidades de 55 y 57 Km y magnitudes (M<sub>c</sub>) de 3.7 y 4.1 respectivamente; estas fueron procesadas siguiendo la misma rutina anterior, dando un total de cinco replicas, de las 77 que presentaban registro en SISMEX. Además se resume los residuales de otras estaciones que también registraron estas replicas. Cuando  $\sigma$  no tiene asignado un valor, es porque solamente se tiene una estimación del residual. Notase que para los demás este valor es menor de 0.30 segundos.

TABLA 5

#	RESIDUALES DEL PRIMER ARRIBO (s)														
	ACX	IIT	III	IIP	IIM	IIC	CRA	TLX	TFM	CGN	OZC	TCX	VHO	PBJ	DXM
1	-1.24	2.04	1.01	2.46	2.40	1.55	2.69	2.33	1.53	-	-	-	-	2.38	
2	-1.52	1.78	1.19	2.52	2.30	1.89	2.05	2.00	0.72	2.30	-	1.15	-	2.02	
5	-1.27	1.79	0.34	2.45	2.41	1.68	2.42	1.74	1.68	1.68	1.78	1.74	-	2.40	
10	-1.96	1.80	1.02	2.16	2.05	1.61	-	-	1.19	-	-	-	-	1.44	
15	-2.15	1.60	0.70	2.14	2.07	1.55	-	-	-	-	-	0.57	-	1.82	
$\mu$	-1.63	1.80	0.36	2.31	2.25	1.55	2.49	2.03	1.13	2.09	1.73	1.44	0.87	2.40	2.01
$\sigma$	0.37	0.14	0.30	0.14	0.16	0.16	0.15	0.25	0.29	0.21	-	0.29	-	-	0.36

Analizando las graficas de residuales vs distancia hipocentral y azimut, se observaron algunas caracteristicas propias de este temblor, que se diferencia de los otros por tener su localizacion dentro del continente, ver fig 4. Por esta razon la primera grafica (fig 8) no muestra claramente las tendencias del temblor de 1982, pero si guarda cierta similitud, en lo que respecta al decrecimiento del residual en las estaciones mas cercanas a la costa (III, VHO), disminuyendo este, hasta ser negativo para la estacion de la costa ACX. Respecto a las estaciones mas alejadas de la costa, vemos que el residual se mantiene en un rango de 1 a 3 segundos.

El decremento tambien se hace notorio en la segunda grafica (fig 9), donde se observa que partiendo desde los cero grados hacia la izquierda o derecha, se llega a tener un residual negativo (ACX) y menor (VHO).

Los residuales de las estaciones TCX, OZC y CGN del sureste de Mexico, mantienen el mismo rango en este temblor que en el de 1982. Ademas las distancias epicentrales a estas estaciones son semejantes, pero con diferente direccion, NE para el de 1982 y SE para este. Esta caracteristica es interesante, porque se puede inferir que para estas estaciones las trayectorias de viaje de los rayos que salen de las replicas de estos dos temblores, viajan por estructuras similares pero con diferente profundidad, ya que el promedio de los hipocentros en estos dos temblores son diferentes de 25.8 para el temblor de la costa de 1982 y de 53.4 para este temblor de 1980. (ver fig 4).

Nuevamente en este temblor, se tiene el problema de ajustar un modelo de capas planas mas "LENTO" para mejorar los residuales de las estaciones alejadas de la costa, pero los residuales de la estación en la costa (ACX) sugieren, un modelo de capas planas "RAPIDO". Esta discrepancia se tratará de resolver en el siguiente capítulo con modelos cónicos de capas inclinadas.

#### 2.2.4 El Temblor de Petatlán 1977

Para este temblor se localizaron 166 réplicas, de las cuales se seleccionaron 20, reduciéndose a 10 por presentar los registros más claros. Estas fueron procesadas siguiendo la misma rutina de los temblores anteriores. Una comparación de sus residuales se presentan en la TABLA 6.

TABLA 6

## PETATLÁN, 1979

#	REPLICA	RESIDUALES DEL PRIMER ARIBO (s)						PROF (km)	MAG (Mc)	LAT N	LON W
		ACX	III	IM	IIP	IIC	IT				
1	790314220503.94	-	2.01	3.26	2.66	2.23	1.73	15.91	3.71	17.40	101.40
2	790316060453.82	2.98	3.55	5.94	3.69	2.54	4.50	26.65	3.75	17.43	101.47
3	790316101030.94	1.88	2.99	6.93	3.18	2.23	2.20	25.20	3.64	17.34	101.38
4	790316135204.90	1.12	2.73	3.51	2.98	2.21	2.24	21.79	3.67	17.27	101.27
5	790318201230.69	-	2.77	3.39	3.12	2.65	2.68	24.68	4.57	17.43	101.10
6	790320002751.66	1.66	3.00	3.76	2.97	2.74	2.42	30.00	4.38	17.34	101.44
7	790321052926.46	0.82	2.42	4.77	2.54	1.62	2.99	22.51	3.45	17.50	101.34
8	790322122310.90	2.08	3.78	3.89	4.02	4.14	3.91	30.00	3.60	17.74	101.65
9	790327173246.80	-	2.47	3.89	2.91	2.85	1.63	12.94	4.11	17.46	101.42
10	790408044717.03	-	1.69	2.00	1.84	1.37	0.73	24.35	3.84	17.36	100.77

FUENTE: Localización, profundidad, magnitud y tpo. de origen. Zuniga y Valdes (1980).

De esta tabla se escogieron cinco replicas (1, 4, 5, 6, 9) que presentan residuales semejantes, a diferencia de las otras cinco que varian en uno o dos segundos mas alto o mas bajo en algunas de las seis estaciones. Como estas variaciones no muestran nada sistematico en la localizacion, profundidad y magnitud de estas replicas con respecto a las escogidas, se supone que el error se encuentra en la localizacion reportada por la red local.

La TABLA 7 resume los residuales de las cinco replicas, junto con los resultados a otras estaciones que se pudieron anexar. Tambien, al igual que los otros temblores, la desviacion estandar tipica de la gran mayoria de las estaciones es menor a 0.4 segundos.

TABLA 7

	RESIDUALES DEL PRIMER ARIBO (s)													
	ACX	III	IIM	IIP	IIC	IIT	CRX	CSN	VHO	PBU	OXM	COM	SXO	F60
1	-	2.01	3.26	2.66	2.33	1.73	-	-	2.15	-	3.87	4.85	2.93	-
4	1.12	2.73	3.51	2.83	2.21	2.24	-	-	-	-	3.28	-	-	2.27
5	-	2.77	3.39	3.12	2.85	2.68	-	4.44	-	4.49	3.57	-	-	-
6	1.86	3.00	3.76	2.97	2.74	2.42	3.93	-	1.91	4.04	2.07	4.61	-	-
7	-	2.47	3.89	2.91	2.65	1.68	-	-	-	-	2.98	-	1.90	-
M	1.39	2.60	3.58	2.90	2.50	2.14	2.93	4.44	2.03	4.26	3.22	4.72	1.97	2.27
O	0.27	0.34	0.23	0.19	0.23	0.40	-	-	0.12	0.23	0.37	0.12	0.06	-

Al analizar las graficas de residuales vs distancia hipocentral y azimut, se encontro que la primera tendencia observada en el temblor de 1982, no se cumple en las estaciones de IIC, IIP y III por disminuir sus residuales al aumentar la distancia dentro del continente. A diferencia de ACX, III, OXM, CRX y IIM que si siguen esta tendencia, (ver figs 10 y 11). Con respecto a las estaciones de la costa (PCU), cercanas a esta (SXO, VHO), los residuales se mantienen en el rango de 1 a 3 segundos en distancias cercanas a 550 Km, esto concuerda aproximadamente con los residuales observados para el temblor de 1982 en direcciones casi paralelas a la costa y a distancias similares.

Hay que resaltar que el residual promedio de las estaciones del centro del país es menor en un segundo que las de 1982, aun cuando estas (1979) se encuentran mas alejadas. Sugeriendo nuevamente variaciones laterales en la estructura de la corteza.

Para corregir en gran medida los residuales de este temblor, se requiere de un modelo "MEMOS LENTO" que aquél del temblor de 1982, pues los residuales de este no tiene el problema tan critico con las estaciones alejadas de la costa (como es el caso del temblor de 1982), ni con las estaciones de la costa (ACX) como el temblor de 1980.

#### 2.2.5 El Temblor de Oaxaca 1978

---

Las replicas de este temblor se analizaron siguiendo el mismo procedimiento del temblor de 1980, pues tambien se tienen diferentes localizaciones para una misma replica.

Se tomo como base las localizaciones de Quintanar et al., 1984, quien utilizo la tecnica de evento maestro con la red mundial. De estas se seleccionaron ocho replicas que presentaban registros claros, y que ademas se encontraban reportados en el Boletin Sismologico del CSN (V 62, #4) quienes utilizaron las estaciones de la red local y las regionales para dar sus epicentros. Otras dos replicas (6, 7 de la TABLA 8) de las ocho seleccionadas tambien se consignan en el estudio de Rodriguez (1980), quien utilizo solamente la red local para dar sus epicentros. La comparacion de estos resultados se pueden observar en la siguiente tabla.

TABLA 8

OAXACA, 1978

Nº	REPLICA	RESIDUALES PRIMER ARRIBO (s)					PROF (km)	MAG (MB)	LAT N	LON W	FUENTE
		IIT	III	IIP	IIM	IIC					
1	781130020115.50	8.15	8.10	13.1	13.9	13.2	33.00	4.20	15.52	96.71	BS
2	781130020119.42	6.41	5.47	11.1	11.8	11.2	31.80	4.10	15.74	96.62	LQ
3	781130074855.40	4.91	4.03	9.34	10.7	9.94	18.00	4.30	15.77	96.71	BS
4	781130074845.56	1.30	1.55	5.91	7.43	6.45	35.20	4.40	14.76	96.33	LQ
5	781130104235.30	8.48	7.51	11.8	12.9	11.8	19.00	4.20	15.78	97.22	BS
6	781130104240.09	4.92	4.49	8.83	9.82	8.86	36.80	4.20	15.96	96.99	LQ
7	781202032415.30	4.03	3.54	4.68	5.16	4.09	13.00	4.70	15.83	96.60	BS
8	781202032418.28	3.41	2.80	4.05	4.50	3.45	33.40	4.70	15.59	96.71	LQ
9	781202053601.70	3.96	3.76	4.46	5.07	4.08	9.00	4.90	15.49	96.73	BS
10	781202053604.55	4.41	3.66	4.41	4.95	3.91	21.70	4.90	15.63	96.70	LQ
11	781205234132.60	3.50	3.70	4.99	5.99	4.81	25.00	4.80	15.38	96.74	BS
12	781205234136.19	2.69	1.86	4.44	4.98	3.92	30.50	4.80	15.84	96.47	LQ
13	781205234132.98	2.69	3.00	4.73	5.44	4.25	11.71	4.70	15.83	96.83	MR
14	781208105143.40	7.96	6.88	10.2	10.8	9.25	19.00	4.70	15.79	96.78	BS
15	781208105146.02	5.29	3.88	7.38	7.94	6.47	36.90	4.70	15.76	96.67	LQ
16	781208105143.33	6.27	5.51	8.53	9.20	7.65	12.54	4.20	15.70	96.80	MR
17	781228085245.50	3.17	2.67	7.44	9.72	8.95	33.00	4.60	15.40	96.44	BS
18	781228085249.86	4.10	2.89	8.17	10.3	9.88	32.50	4.60	15.81	96.68	LQ

BS Localización, profundidad, magnitud y tpo. de origen. Boletín Sismológico (1978).

LQ Localización, profundidad, magnitud y tpo. de origen. Quintanar et al., 1984.

MR Localización, profundidad, magnitud y tpo. de origen. Rodríguez (1980).

Los residuales para este temblor presentan gran variación para una misma

replica. Esto puede ser provocado por la primera causa descrita en el temblor de 1982, ya que las magnitudes para las replicas 1, 2, 3, 7 y 8 son menores que los restantes, esto puede ocasionar que sus residuales sean mayores. A esto se le puede incluir la incertidumbre del epicentro en las localizaciones reportadas por Quintanar et al., 1984 y el Boletin. Sin embargo, de acuerdo a la observacion de las replicas 6 y 7 las localizaciones del Boletin estan mas acorde con las de Rodriguez (1980), tanto en el tiempo de origen como en la localizacion epicentral. Por esta razon y sobre todo por los residuales mas consistentes de las replicas mayores (4, 5, 6), se decidio usar las reportadas por el Boletin Sismologico del CGN.

Estos residuales se resumen en la TABLA 9, junto con las otras estaciones que tuvieron registros. La desviacion estandar tipica, fue de 0.3 segundos para la mayoria de las estaciones.

TABLA 9

	RESIDUALES DEL PRIMER ARRIBO (*)									
	IIT	III	IIP	IIM	IIC	CSN	VHO	PEJ	OXM	COM
7	4.03	3.54	4.68	5.16	4.09	-	0.88	0.30	4.23	2.26
9	3.96	3.76	4.48	5.07	4.08	-	-	-	4.70	2.96
11	3.50	3.70	4.89	5.99	4.81	1.93	0.27	0.53	4.58	2.32
$\mu$	3.83	3.66	4.71	5.40	4.38	1.93	0.57	0.42	4.50	2.52
$\sigma$	0.24	0.09	0.22	0.41	0.34	-	0.30	0.12	0.20	0.31

Una vez mas se puede apreciar en la fig. 12 las tendencias mencionadas en el temblor de 1982, donde, partiendo de las estaciones VHO y PEJ se puede apreciar el aumento del residual a medida que las estaciones de SISMEX y OXM se alejan de la linea de costa, resaltando como siempre la estacion IIM por un ligero aumento en sus residuales. Si se comparan los residuales en las estaciones del sureste del Pais para los diferentes temblores (observece CSN y COM para este temblor), se nota que estos solamente reflejan la variacion del residual con la distancia.

La figura 13 muestra que las distancias similares y variaciones azimutales entre los 310 y 340 grados no hay cambios significativos en los residuales asignadas a la pareja III e II, esto mismo se puede observar en la fig. 7 para el temblor de 1982 en las mismas estaciones.

Al igual que al temblor de 1982, para mejorar estos residuales se necesita un modelo de capas planas mas "LENTO".

Finalmente, se obtuvieron 18 replicas para los cuatro temblores estudiados (ver TABLA 10 y fig. 14).

TABLA 10

FECHA	T. ORIGEN h m s	LAT N	LONG W	PROF (km)	Mo	RMS (s)	ERH (s)	ERZ (s)	Q	ML	MB
820613	012 59.97	16° 9.56	98-26.39	20.16	4.89	0.16	2.8	2.6	D		
820613	11 7 52.69	16-30.58	98-24.20	25.57	5.13	0.17	1.6	2.3	E		
820613	14 3 10.94	16-29.69	98-24.64	24.93	4.72	0.12	1.1	1.8	B		
820614	2242 26.75	16-21.32	98-18.19	25.85	5.32	0.18	0.8	1.1	C		
820615	1724 16.88	16-27.65	98-28.14	30.07	5.83	0.15	1.4	1.2	B		
831024	1325 48.20	17-55.80	98- 7.80	55.00	3.65					3.3	
831025	837 46.10	17-53.40	98- 4.20	55.00	3.90					3.5	
831026	1554 15.40	17-55.80	98- 9.00	51.00	4.49					4.3	
831030	11 0 7.80	17-56.40	98- 6.00	49.00	3.83					3.3	
831103	1322 12.30	17-56.40	98- 7.80	57.00	4.06					3.5	
790314	22 5 3.94	17-23.75	101-23.75	15.91	3.71	0.03	1.5	2.3	C		
790316	1352 4.90	17-16.41	101-15.98	21.77	3.67	0.11	1.3	1.2	C		
790318	2012 30.68	17-25.28	101- 6.14	24.68	4.57	0.38	2.2	1.9	B		
790320	0.27 51.66	17-20.17	101-28.55	30.00	4.38	0.21	1.8	2.1	C		
790327	1732 46.80	17-27.51	101-29.60	12.94	4.11	0.17	1.1	3.4	C		
791202	524 15.30	15-31.80	96-42.00	13.00						4.7	
791202	536 1.70	15-29.40	96-43.80	9.00						4.9	
791205	2341 32.60	15-34.80	96-45.60	25.00						4.8	

Estas 18 replicas se analizaron en conjunto, comparando residuales obtenidos a distancias similares entre diferentes temblores, (ver fig 15). Los residuales obtenidos en direcciones paralelas y cercanas a la linea de costa, presentan valores menores que aquellos obtenidos para otras direcciones alejadas de la costa. Por ejemplo, a la distancia hipocentral de 164+10 Km tenemos PBJ y ACX comparado con III e IIP; para 348+10 Km tenemos a ZIH comparado con IIP y IIC; y para 520+10 Km tenemos a P00 comparado con OXM. Una anomalía que se puede observar en la figura es a la distancia hipocentral de 228+10 Km, donde ACX se compara contra III y CC4; existiendo entre ellas una diferencia en residual de casi 4 segundos. Otra más que muestra la dependencia azimutal, se puede observar a las distancias hipocentrales de 348+10 Km, 380+10 Km y 500+10 Km para las estaciones del temblor de 1977 comparadas con las de 1982 y 1978, donde IIP e IIC se compara con CRX Y IIM; IIT con IIC; y VHO con IIM respectivamente. Como se observa, sistemáticamente los residuales del temblor de 1977 son menores que los temblor de 1982 y 1978, (recordando que estos se registraron a distancias similares). Esta situación indica que si se analizan los residuales obtenidos en dirección SW desde SISMEX hacia el temblor de 1979, vemos que estos son menores que aquellos en dirección SE hacia los temblores de 1982 y 1978, (ver fig 4).

Por ultimo, las dos anomalías anteriores, así como la dependencia azimutal, pueden asociarse a dos causas fundamentales : 1. Capas inclinadas y 2. Variaciones de velocidad horizontal. (Nuttli y Bolt, 1969).

## B. ANALISIS E INTERPRETACION DE DATOS

---

Con los residuales que se estimaron en el capitulo anterior, se cumple con el primer objetivo de este estudio. En la primera parte de este capitulo, vamos a utilizarlos para corregir los tiempos de viaje calculados, a cada una de las estaciones a las que se le estimó su residual; y así, relocalizar el temblor principal y las replicas seleccionadas para cada uno de los temblores estudiados.

### 3.1 Localización Utilizando Residuales

---

Utilizando el programa HYPO71 para la localización, se procesaron varias veces el temblor principal y las replicas seleccionadas para cada uno de los temblores estudiados. Con el propósito de hacer resaltar algunas características que se presentaron en el proceso de relocalización.

Para observar estas características, después de cada corrida, se graficó el azimut y la distancia de cada localización, con respecto a uno de referencia. Siendo para los temblores principales, las localizaciones publicadas en el catálogo de Singh et al., 1984, Toledo y Nava (1983) y Nava (1984), mientras que para las replicas se tomó su localización seleccionada en el capítulo anterior. (figs 16-19).

Todos los temblores y sus replicas fueron procesados con una profundidad de prueba, que en este caso fue la profundidad del temblor o replica de referencia. Esto se hizo con el objeto de disminuir una variable.

#### 3.1.1 Localización en la Región de Oaxaca

---

Esta región se procesó cuatro veces:

- a) Sin residuales y con epicentro de prueba a la estación mas cercana, que en este caso son VHO o PBJ según la localización del temblor o replica. (ver fig 16a)

En esta se observa que tanto el temblor principal como las replicas tuvieron un corrimiento de mas de 20 Km hacia el NE. Esto se debe primordialmente a las estaciones cercanas (VHO, PBJ), que al no tener una cobertura azimutal de estaciones cercanas, desplaza la localización hacia estas dos únicas estaciones (ver fig 16).

- b) Sin residuales, con epicentro de prueba a la estación mas cercana. Para

ahora sin VHO o PBJ, (ver fig 16b).

Mejora notablemente la localización cuando se quita la lectura de la estación VHO o PBJ; sin embargo, aun se tiene algo de dispersión.

c) Con residuales y con epicentro de prueba a la estación mas cercana, pero con las lecturas de VHO o PBJ, (ver fig 16c).

Nuevamente se observa un corrimiento mucho mayor que el primero hacia el NNE, esto se explica de la misma forma que el primero, con la diferencia que ahora es mayor por el aumento del residual. Esto muestra la influencia de la distribución de las estaciones, y la falta de estas a lo largo de la costa.

d) Con residuales, con epicentro de prueba a la estación mas cercana y sin las lecturas de VHO o PBJ, (ver fig 16d).

Al igual que en el segundo caso, las localizaciones mejoraron, pero con la diferencia que ahora se corrigió el tiempo de viaje calculado con los residuales, como se puede ver en el temblor Principal y en las replicas 3 y 1. La diferencia en promedio de la distancia epicentral es de 8 kilómetros y no existe azimut preferencial.

### 3.1.2 Localización en la Región de Petatán

Esta region se proceso tres veces:

a) Sin residuales, con epicentro de prueba a la estación mas cercana, que en este caso son III o ACX, ver fig 17a.

Nuevamente se observa la influencia de la estación cercana. Por ejemplo, las réplicas 2 y 4 se apartaron de las demás, porque tienen lectura de la estación ACX, mientras que las otras tres tienen lecturas de la estación III (ver fig 17).

b) Con residuales y con epicentro de prueba a la estación más cercana (ACX, III), fig 17b.

Mejora la localización para la 2, 4 y para el temblor principal, por la corrección del residual al tiempo de viaje calculado, mientras que para las otras tres réplicas mantienen su corrimiento y distancia.

c) Con residuales y con epicentro de prueba cercana al área de réplicas, fig 17c.

Con esta técnica se pudo controlar mejor la localización de las réplicas 1, 3 y 5, que no tienen la estación ACX de la costa, mientras que las otras se mantienen sin cambios apreciables. El epicentro de prueba se fijo en las cuatro direcciones geográficas, y a distancias de  $1/2$  y un grado del centro del área de réplicas, sin observar variaciones importantes en los epicentros.

### 3.1.3 Localización en la Región de Ometepac

Esta región se procesó tres veces:

a) Sin residuales y con epicentro de prueba a la estación más cercana, en este caso es la estación ACX o VHO, (ver figs 18 y 18a).

En este caso, las dos estaciones mencionadas están provocando el corrimiento hacia el SW, pero como ahora se tiene una mejor cobertura de estaciones, este corrimiento se puede mejorar usando PESO AZIMUTAL, que es otra de las alternativas.

para la localización de un temblor.

b) Sin residuales, con epicentro de prueba a la estación mas cercana y con peso azimutal, (ver fig 18b).

Mejoro un poco las localizaciones, sobre todo el primer temblor principal (P1).

c) Con residuales y epicentro de prueba a la estación mas cercana , (ver fig 18c).

Nuevamente se observa la mejoría de las localizaciones si utilizar residuales, siendo notable la diferencia con respecto a la anterior. Se proceso tambien con peso azimutal, sin embargo no cambiaron las localizaciones.

#### 4.4 Localización en la Región de Huajuapan de León

---

Esta region se proceso dos veces:

a) Sin residuales y con epicentro de prueba a la estación mas cercana (IIT), (ver fig 19a).

Como se puede observar este temblor presenta menor dispersion en sus localizaciones, y no se distinguen ninguna dirección preferencial como las anteriores, esto se debe a la buena distribucion de estaciones alrededor del area de replicas, (ver fig 19).

b) Con residuales y con epicentro de prueba a la estación mas cercana (IIT), (ver fig 19b).

Esta figura muestra que es importante la distribución de estaciones, ya que contando con una buena distribución, los residuales parecen no influir (en el rango de confianza aquí mostrado); sin embargo, si observamos con detenimiento, el temblor principal no tiene cambio apreciable en los dos procesos; ver figs 19a, 19b. Esto se debe al hecho de no utilizar la lectura de la onda de cuerpo S (una de las restricciones del estudio), ya que el tiempo de S menos P es fundamental en el ajuste del tiempo de origen de un temblor; entonces, el algoritmo simplemente corrige el tiempo de origen sin modificar sustancialmente las coordenadas del temblor.

### 3.2 Determinación de Modelos Cónicos Utilizando Residuales

---

#### 3.2.1 Procesado de Modelos

---

Se ha visto que existen diferentes métodos y técnicas que pueden ayudar a inferir la estructura de la corteza. Aquí se usará los residuales encontrados para poder ajustar un modelo o varios según lo permitan las observaciones.

El proceso comienza con el modelo standar de SISMEX (fig 8), ya que fue utilizado en todo el análisis anterior de los datos. Este se modificará tomando en cuenta por un lado, el análisis de las relaciones encontradas (residuales vs distancia hipocentral y azimut), y por otro, el resumen de los diferentes modelos obtenidos en México. Estos criterios sugieren dos modelos por separado: Uno para el continente y otro para la costa, en atención a la diferencia notable en la profundidad del Moho. Para después, y por medio de un modelo de capas inclinadas, unir estos dos, en uno híbrido que satisfaga la región de estudio.

Este proceso se realizó utilizando el programa TVP.FTN, el cual encuentra el tiempo mínimo de viaje de un rayo directo o refractado (TF), el ángulo de salida (AF), el nuevo residual (PR) y el RMS (error cuadrático medio) de los residuales encontrados con el modelo standar (RMSP) y con el modelo propuesto (RMSP). Además, da información sobre la capa donde se encuentra la fuente (UL), los ángulos aparentes de las dos últimas capas (TET1,TET2), así como, los espesores debajo de la fuente

(D(2), D(3)), y de la estación (D2, D3). Por ultimo, especifica si calculo el tiempo de viaje de subida (M=7) o de bajada (M=6). Esta informacion se encuentra en un archivo que genera el programa con un nombre dado por el usuario. (ver Apendice B).

En el Apendice A, se desarrollan las ecuaciones del tiempo de viaje para un rayo directo y refractado en un modelo cortical de capas inclinadas.

Los promedios de los residuales calculados con un nuevo modelo, se grafican en las mismas figuras de residual vs distancia hipocentral (con la diferencia que ahora se tiene el promedio del residual para cada estación, con su respectiva barra de error ), esto es con la finalidad de observar las curvas que mejor ajusten a la mayoria de los residuales del modelo standar. El analisis de estos datos se discute a continuacion:

### 3.2.1.1 Modelo para el continente

---

Para el continente, se tomo como base al temblor de Huajuapan de Leon de 1980, por cumplir con los siguientes requisitos: localizacion dentro del continente y fuente profunda (55 Km), en comparacion con los de la costa. Esta caracteristica es muy importante, ya que los rayos del primer arriba llegan a las estaciones como directos. Estos rayos serviran para fijar los espesores de las diferentes capas sobre la discontinuidad del Moho.

De la figura 7, se puede observar que existe una tendencia en aumentar la capa intermedia de los modelos continentales, ademas de asignarle una velocidad de 6.1 Km/seg en promedio. Hacia arriba de ésta, se tiene una o dos capas delgadas que no exceden los 8 Km, con una velocidad promedio de 4 Km/seg; mientras que hacia abajo tambien tenemos una o dos capas con velocidades entre 6.4 y 7.6 Km/seg, siendo sus espesores menores que la intermedia. Con respecto a la velocidad del semiespacio, existe una variacion entre 3.0 y 8.3 Km/seg, tanto para los modelos de la costa como del continente.

En base a las características mencionadas, y recordando que se requería de un modelo mas lento, se simplificó el modelo estandar de la siguiente manera: se quite la capa de 7.6 Km/seg, se redujo la velocidad de 5, a 4 Km/seg y, la del semiespacio a 9.0 Km/seg; también se aumento la profundidad del Moho a 40 Km. Los espesores de la segunda y tercera capa se variaron de tal manera que minimicen los residuales; estos cálculos se pueden observar en la figura 20 y en la TABLA 11, donde se identifican los diferentes espesores propuestos. De todas estas curvas, la que mejor se ajusta a las observaciones es aquella que representa el modelo continental con los espesores de 20 y 18 km. (curva 5).

TABLA 11

## MODELOS CORTICIALES CON CAPAS PLANAS

## PRUEBAS CON EL TEMBLOR DE 1960

MODELO 1		MODELO 2		MODELO 3		MODELO 4		MODELO 5		MODELO 6	
E	Vp										
5	4.0	5	4.0	5	4.0	5	4.0	5	4.0	5	4.0
34	6.1	30	6.1	28	6.1	25	6.1	20	6.1	18	6.1
4	6.9	8	6.9	10	6.9	10	6.9	10	6.9	20	6.9
~	8.0	~	8.0	~	8.0	~	8.0	~	8.0	~	8.0

$$\text{RMSP(80)=1.8825} \quad \text{RMSP(79)=3.0094}$$

$$\text{RMST=1.2750} \quad \text{RMSI=1.2293} \quad \text{RMSI=1.2099} \quad \text{RMSI=1.1661} \quad \text{RMSI(80)=1.1652} \quad \text{RMSI=1.1673}$$

$$\text{RMSI(79)=0.7768}$$

## PRUEBAS CON EL TEMBLOR DE 1962

$$\text{RMSP(82)=4.0536} \quad \text{RMSP(78)=3.8283}$$

MODELO 5		MODELO 7		MODELO 8		MODELO 9	
E	Vp	E	Vp	E	Vp	E	Vp
5	4.0	5	4.0	5	4.0	5	4.0
20	6.1	22	6.1	24	6.1	27	6.1
18	6.9	18	6.9	10	6.9	18	6.9
~	8.0	~	8.0	~	8.0	~	8.0

$$\text{RMSI=2.1891} \quad \text{RMSI=2.0690} \quad \text{RMSI(82)=2.0198} \quad \text{RMSI=2.0924}$$

$$\text{RMSI(78)=1.3412}$$

## PRUEBAS CON LOS TEMBLORES DE 1982 Y 1979

MODELO 10		MODELO 11	
E	V <sub>P</sub>	E	V <sub>P</sub>
5	4.0	5	4.0
20	6.1	20	6.1
10	6.9	11	6.9
"	8.0	"	8.0

Donde:

E = espesor de las capas en kilómetros.

V<sub>P</sub>= velocidad de la onda P en Km/seg.

RMSI= RMS del residual obtenido con el modelo propuesto para todas las estaciones.

RMSP= RMS del residual obtenido con el modelo estandar para todas las estaciones

Para observaciones cuando se tiene un temblor en la costa, como el de 1982, este modelo resulta ser lento, como se observa en la figura 21. Por tal razón se tiene que modificar, bajando la profundidad del Moho, ya que variaciones de los espesores no dio resultado. Para encontrar la profundidad óptima del Moho, se ensancho el espesor de la segunda capa cada dos kilómetros, hasta llegar a los 50 (ver TABLA 11 y fig 21), obteniéndose un resultado satisfactorio con el modelo representado por la curva 6 (ver su RMSI).

Utilizando el primer modelo obtenido (curva 5, fig 20), se analizaron los residuales correspondientes al temblor de 1979. La figura 22 muestra que mediante el modelo anterior tambien se puede minimizar estos residuales. Igualmente, utilizando el segundo modelo (curva 6, fig 21), las observaciones del temblor de 1979 se satisfacen.

El hecho de que modelos diferentes, resulten del análisis de temblores con diferente localización, es una evidencia mas de que hay variaciones laterales en la estructura de la velocidad.

### 3.2.1.2 Modelo para la costa

---

Para encontrar el modelo para esta parte del continente, se utilizaron los temblores de 1979 y 1982, por tener registros de algunas estaciones en la costa, como son: ACX, ZIH, POU y SXO. (ver fig 4).

Siguiendo el procedimiento anterior, se calcularon los tiempos de viaje para el temblor de 1982, a un modelo que tiene las mismas velocidades que el del continente (modelo 5, TABLA 11), pero con una profundidad del Moho a 35 Km (modelo 10; TABLA 11), ya que los residuales de las estaciones en la linea de costa (ACX, ZIH), requieren de un modelo mas rapido. Sin embargo, es necesario bajar a 36 Km la profundidad del Moho, para encontrar un promedio entre los residuales de las dos estaciones. (ver fig 21, curva 10 y 11).

Este modelo (Moho 36 Km) tambien mejora los residuales de las estaciones ACX, POU y SXO en el temblor de 1979 (ver fig 22, modelo costa).

### 3.2.2 Modelo Final

---

La diferencia de profundidades del Moho en la costa y en el continente, asi como, las discrepancias entre los modelos encontrados para 1979 en comparacion con aquellos de 1978 y 1982, sugieren la necesidad de unificar todos ellos mediante modelos hibridos de capas inclinadas.

El programa TVP.FTN utiliza el modelo de la costa en una linea paralela a ella, los echados de las dos ultimas capas y el azimut  $\gamma$  (ver fig 4). A continuacion calcula para cada epicentro o estacion los espesores correspondientes. El azimut utilizado es de 21.5 grados, ya que este corresponde a la direccion promedio perpendicular a la linea de costa.

Para cada echado que se prueba, se compara si los espesores bajo la estación IIM, son los mismos que aquellos de los modelos encontrados para el continente. Los echados encontrados para las dos ultimas capas, en las regiones de Petztlan y Huajuapan de Leon, son 0.0 y 1.6; y para las regiones de Oaxaca y Ometepec son 1.0 y 2.7, (ver TABLA 12). Los residuales obtenidos se muestran en las figs 22 a 25. El modelo híbrido resulta ser un promedio entre aquellos del continente y de la costa.

TABLA 12

## MODELOS CORTICIALES CON CAPAS INCLINADAS

## MODELOS HIBRIDOS

OAXACA	OMETEPEC	HUAJUAPAN	PETATLAN
E Vp	E Vp	E Vp	E Vp
5 4.0	5 4.0	5 4.0	5 4.0
20 6.1	20 6.1	20 6.1	20 6.1
11 8.9	11 8.9	11 8.9	11 8.9
" 8.0	" 8.0	" 8.0	" 8.0
TETP1=1.0	TETP1=1.0	TETP1=0.0	TETP1=0.0
TETP2=2.7	TETP2=2.7	TETP2=1.6	TETP2=1.6
RMSI=1.5049	RMSI=2.1567	RMSI=1.0691	RMSI=1.0517
RMSP=3.8283	RMSP=4.0536	RMSP=1.8825	RMSP=3.0094

## MODELOS FINALES

OAXACA	OMETEPEC	HUAJUAPAN	PETATLAN
E Vp	E Vp	E Vp	E Vp
5 4.0	5 4.0	5 4.0	5 4.0
20 6.1	20 6.1	20 6.1	20 6.1
11 8.9	11 8.9	11 8.9	11 8.9
" 8.0	" 8.0	" 8.0	" 8.0
TETP1=3.1	TETP1=3.2	TETP1=0.0	TETP1=0.0
TETP2=6.2	TETP2=6.4	TETP2=2.6	TETP2=4.7
RMSI=1.0562	RMSI=1.7741	RMSI=1.0866	RMSI=0.7739
RMSP=3.8283	RMSP=4.0536	RMSP=1.8825	RMSP=3.0094

Donde:

$E$  = espesor de las capas en kilómetros

$V_p$ = velocidad de la onda P en Km/seg.

RMSI= RMS del residual obtenido con el modelo propuesto para todas las estaciones

RMSF= RMS del residual obtenido con el modelo standar para todas las estaciones

TETP1= echado de la segunda capa del modelo propuesto

TETP2= echado de la tercera capa del modelo propuesto

Una manera de minimizar aun mas estos residuales, es incrementando los echados encontrados, hasta lograr un RMSI menor, sin considerar la profundidad que alcanza el Moho. Los echados encontrados para las regiones de Oaxaca, Petatlan, Huajuapan de Leon y Ometepec son respectivamente: 3.1, 6.2; 0.0, 4.7; 0.0, 2.6 y 3.6, 6.4 (ver modelos finales en los figs 22 a 25 y TABLA 12). Estos modelos representan el mejor ajuste a las observaciones (ver RMSI).

## 4 DISCUSION Y CONCLUSIONES

---

### 4.1 Localizaciones

---

En el capitulo anterior se analizo el uso de los residuales para la localizacion de temblores, resultando optimo para las cuatro regiones estudiadas; sin embargo, la distribucion y densidad de estaciones sismologicas bajo el paralelo 21 de Mexico, es el factor principal a tomar en cuenta para localizar un temblor con esta tecnica, ya que, si no se cuenta con registros de estaciones cercanas a la costa, la localizacion puede tener corrimientos preferenciales, hacia las estaciones continentales cercanas a estas cuatro regiones. Una manera de resolver este problema en la region de Oaxaca, fue excluyendo temporalmente la estacion cercana (VHO o PBJ), mientras que para la region de Petatlan se fijo un epicentro de prueba cercano al area de replicas.

debe resaltar que no se tomo en cuenta la profundidad de los temblores en todo este análisis.

#### 4.2 Modelos Técnicos

---

En base a las inferencias tectónicas y a los modelos de velocidad de la corteza superior consignados para México, se determinaron las velocidades que se asignan a los modelos continentales y a la costa. Los espesores de ellos se ajustaron de tal manera que minimizaran los residuales observados, para después, unir estos, en dos modelos híbridos con echados, en las dos últimas capas, de 0.0, 1.6 y 1.0, 2.7 para las regiones de Petatlán, Huajuapan de León y Ometepec respectivamente.

Incrementando los echados se logró minimizar aun más los residuales, sacrificando la profundidad del Moho. Los echados óptimos (RMSI mínimo) fueron: 0.0, 2.6; 0.0, 4.7; 3.1, 6.2 y 3.2, 6.4 para las regiones de Huajuapan de León, Petatlán, Oaxaca y Ometepec respectivamente.

Hay que resaltar que fueron los espesores y los echados los que se variaron. En estudios posteriores se pretende variar horizontalmente la velocidad, con lo que se lograría controlar mejor la profundidad del Moho.

Con respecto a la unicidad de estos modelos, se puede comentar lo siguiente: Hay una gran variedad de combinaciones entre las velocidades, espesores y echados que se ajustan a las observaciones de los residuales; sin embargo, estos se restringen a medida que se obtenga mayor información geológica y geofísica del área en estudio.

- Fig. 1. Batimetría, tectónica del fondo Oceanico y distribución de volcanes activos (representados con triángulos oscuros).
- Fig. 2. Esbozo esquemático de la segmentación de la placa de Cocos en la subducción bajo la placa Americana.
- Fig. 3. Actividad sismica entre 1981-1987, con datos obtenidos del Boletín Información Sísmica Preliminar del Instituto de Ingeniería.
- Fig. 4. Distribución de estaciones sísmicas que operan en Mexico y su relación con los temblores estudiados. El azimut  $\chi$  es el de una linea perpendicular a la costa.
- Fig. 5. Modelos propuestos para la estructura de velocidades de propagación de ondas P, en diferentes regiones del país.
- Fig. 6. Relación entre los residuales obtenidos y la distancia hipocentral en la región de Oaxtepec.
- Fig. 7. Relación entre los residuales obtenidos y el azimut en la región de Oaxtepec.
- Fig. 8. Lo mismo que la fig 6 pero para la region de Huajuapan de Leon.
- Fig. 9. Lo mismo que la fig 7 pero para la region de Huajuapan de Leon.
- Fig. 10. Lo mismo que la fig 6 pero para la region de Petatlán.

Fig. 11. Lo mismo que la fig 7 pero para la region de Petatlan.

Fig. 12. Lo mismo que la fig 6 pero para la region de Oaxaca.

Fig. 13. Lo mismo que la fig 7 pero para la region de Oaxaca.

Fig. 14. Sismogramas tipicos de las replicas utilizadas, registradas en diferentes estaciones de la Red de SISMEZ. La claridad de los primeros arribos fue uno de los criterios de seleccion.

Fig. 15. Comparacion de residuales obtenidos en distancias iguales. Las distancias hipocentrales asignadas se encuentran con la tolerancia de 10 Km. (ver texto).

Fig. 16. Relacion espacial entre los epicentros de los temblores analizados y las estaciones utilizadas para las relocalizaciones.

Figs. 16a-16d. Diferencias de azimut y distancias epicentrales del temblor principal y las replicas para la region de Oaxaca.

Fig. 17. Lo mismo que la fig 16.

Figs. 17a-17c. Diferencias de azimut y distancias epicentrales del temblor principal y las replicas para la region de Petatlan.

Fig. 18. Lo mismo que la fig 16.

Figs. 18a-18c. Diferencias de azimut y distancias epicentrales del temblor principal y las replicas para la region de Ometepec.

Fig. 19. Lo mismo que la fig 16.

Figs. 19a-19c. Diferencias de azimut y distancias epicentrales del temblor principal y las replicas para la region de Huajuapan de Leon.

Fig. 20. Reducción de los residuales en la region de Huajuapan de Leon, probando diferentes espesores para la segunda y tercera capa (sin cambiar la suma de estos), con las velocidades propuestas (ver texto). Las curvas de la 1 a la 6 representan cada una de las pruebas, sobresaliendo la 5 con espesores de 20 y 18 Km (modelo 5, TABLA 11).

Fig. 21. Reducción de los residuales en la region de Ometepec, probando diferentes profundidades en el modelo 5 (ver TABLA 11), variando el espesor de la segunda capa y conservando los espesores de la primera y tercera (curvas 5, 7, 8 y 9; TABLA 11). La curva 6 representa aquél con espesor de 21 Km. Así mismo, mediante las curvas 10 y 11, se representan los modelos que se ajustan mejor a las observaciones de la costa, sobresaliendo la 11, con espesores de 5, 20 y 11 Km en la primera, segunda y tercera capa, respectivamente (modelos 10 y 11, TABLA 11).

Fig. 22. Comparacion de los residuales, para diferentes modelos en la region de Patlan. Los modelos de la costa y del continente, son aquellos representados con los numeros 5 y 11 en la TABLA 11; mientras que el modelo hibrido y el final, fueron obtenidos variando los echados de las dos ultimas capas del modelo de la costa (ver TETP1, TETP2; TABLA 12).

Fig. 23. Comparacion de los residuales, para diferentes modelos en la region de Oaxaca. Los modelos de la costa y del continente, son aquellos representados con los numeros 11 y 8 en la TABLA 11; mientras que el modelo hibrido y el final, fueron obtenidos variando los echados de las dos ultimas capas del modelo de la costa (ver TETP1, TETP2; TABLA 12).

Fig. 24. Lo mismo que la fig 23 pero para la region de Ometepec.

Fig. 25. Lo mismo que la fig 22 pero para la region de Huajuapan de Leon.

## BIBLIOGRAFIA

- Boletin Sismologico  
Publicado por el Instituto de Geofisica, a traves del Servicio Sismologico Nacional (SSN).  
V. 64, No 4, 1980.  
V. 62, No 4, 1978.
- Boletin Sismologico Preliminar  
Publicado por el Instituto de Investigaciones en Matematicas Aplicadas y Sistemas (IIMAS), a traves de la Red Sismologica Mexicana de Apertura Continental (RESMAC).
- Burbach,G.V., C. Erdilich, W.B. Pennington, y T. Matumoto (1994)  
Seismicity and Tectonics of the subducted Cocos Plate,  
J. Geophys. Res., enviado.
- Castro,R. (1980)  
Un modelo de la corteza terrestre para el Sur de Mexico mediante el uso de sismos profundos,  
Tesis Profesional, Facultad de Ingenieria, U.N.A.M.
- Dean,B.W. y CH.H. Drake (1978)  
Focal mechanism solutions and tectonics of The Middle America Arc,  
J. Geol., V.86, pp. 111-126.
- Demant,A. (1979)  
Geodinamica del vulcanismo del Eje Neovolcanico Transmexicano,  
Resumen del Symposium sobre Evolucion Tectonica de Mexico, Mexicali B.C.N.
- Dobrin,M.B. (1976)  
Introduction to Geophysical Prospecting,

Mc Graw-Hill, Inc., U.S.A.

-Eaton,J.P. (1969)

HYPOLAYR, a computer program for determining hypocenters of local earthquakes in an earth consisting of uniform flat layers over a half-space,

Open file report, U.S. Geological Survey, pp. 153.

-Fix,J.E. (1975)

The crust and upper mantle of central Mexico.  
Geophys. J. R. Astr. Soc., V.43, pp. 453-499.

-Hales,A.L. (1971)

Crustal and upper mantle structure in the region of the Gulf of Mexico,  
Bol. Soc. Mexicana, V.32, No 1.

-Manus,V. y J. Vanek (1978)

Subduction of The Cocos Plate and deep active fracture zone of Mexico,  
Geof. Intern., V.17, pp. 14-53.

-Havskov,J., S.K. Singh y D. Novelo (1982)

Geometry of the Benioff zone in the Tehuantepec area in Southern Mexico,  
Geof. Intern., V.21, pp. 325-330.

-Havskov,J., S.K. Singh, E. Nava, T. Dominguez y M. Rodriguez (1983)

Playa Azul, Michoacan, Mexico, earthquake of 25 October, 1981 ( $M_s=7.3$ ),  
Bull. Seism. Soc. Am., V.73, No 2, pp. 449-457.

-Helsley,C.E., J.B. Nation y R.F. Meyer (1975)

Seismic refraction observations in southern Mexico,  
EOS, V.56, No 8, pp. 452.

-Informacion Sismica Preliminar

- Publicada por el Instituto de Ingenieria (I. de I.), a traves del Sistema de Informacion Sismotelemetrica de Mexico (SISMEX).
- Jacob, K.H. (1970)  
Three-dimensional seismic ray tracing in a laterally heterogeneous spherical earth.  
*J. Geophys. Res.*, V.75, No. 32, pp. 6675-6689.
- Jimenez, Z. (1981)  
Informes Internos, Instituto de Ingenieria, U.N.A.M.
- Lee, W.H.K. y J.C. Lahr (1975)  
HYPO71 (Revised): A program for determining hypocenter, magnitud and first motion pattern of local earthquakes,  
Open-file report 75-311, U.S. Geological Survey, pp. 114.
- Le Feuvre, L.V. y K.C. McNally (1984)  
Stress distribution and subduction of aseismic and ridges in the middle America subduction zone.  
*J. Geophys. Res.*, enviado.
- Meyer, R.P., J.S. Steinhart y G.P. Woillard (1957)  
Seismic determination of crustal structure in the central plateau of Mexico,  
*Trans. Am. Geophys. Un.*, V.39, pp. 525.
- Minster, J.B. y T.H. Jordan (1978)  
Present day plate motions,  
*J. Geophys. Res.*, V.83, pp. 5331-5354.
- Molnar, P. y L. Sykes (1969)  
Tectonics of the Caribbean and Middle America regions from focal mechanisms and Seismicity,  
*Geol. Soc. Am. Bull.*, V.80, pp. 1639-1654.

- Mooney, W.M., R.P. Meyer, C.R. Heisley, C. Lomnitz y B.T.R. Lewis (1975)  
Refracted Waves across a leading edge: Observations of Pacific shots in  
Southern Mexico.  
EOS, V.56, No. 6, pp. 452.
- Mooser, F. (1972)  
The Mexican volcanic belt: Structure and tectonics,  
Geof. Intern., V.12, pp. 55-68.
- Nava, E.A. (1984)  
Estudio de los temblores de Ometepec del 7 de Junio de 1982 y sus  
replicas,  
Tesis Profesional, Facultad de Ingenieria, U.N.A.M.
- Novelo, B.A. (1980)  
Sismicidad profunda en el sur de Mexico.  
Tesis Profesional, Facultad de Ingenieria, U.N.A.M.
- Nutti, O.W., B.A. Bolt (1969)  
P wave residuals as a function of azimuth,  
J. Geophys. Res., V.74, No. 27, pp. 6594-6602.
- Ponce, L., K.C. McNally, J. Gonzalez, A. Del Castillo y E. Chael (1978)  
The 29 November, 1978, Oaxaca Earthquake: Foreshock activity,  
Geof. Intern., V. 17, pp. 267-280.
- Quiñanar, L., L. Ponce y J. Yamamoto (1984)  
Variaciones espacio temporales de la sismicidad en la region costera  
de Oaxaca de 1950 a 1982 ( $mb > 4.3$ ),  
En preparacion.
- Reyes, A., J. Gonzales, L. Munguia, A. Nava, F. Vernon y J.N. Brune (1978)

- Locations of aftershocks of the Oaxaca earthquake using smoked paper recorders and digital event recorders.  
Geol. Intern., V.17, pp. 341-349.
- Reyes,A., J.N. Brune y C. Lunnitz (1979)  
Source mechanism and aftershock study of the Colima, Mexico earthquake of January 30, 1973.  
Bull. Seism. Soc. Am., V.69, No 6, pp. 1819-1840.
- Rodriguez,M., J. Lerma y E. Nava (1983)  
Sismicidad en México durante 1981 y 1982.  
Memorias del VI Congreso Nacional de Ingeniería Sísmica, pp. 39-48.
- Rodriguez,M. (1980)  
Análisis Preliminar de las replicas del terremoto de Oaxaca, ocurrido el 29 de Noviembre de 1978. Usando la coda,  
Tesis de Maestría en Ciencias, CICESE, Ensenada Baja California, México.
- Singh,S.K. (1974)  
Informes internos, Instituto de Geofísica, U.N.A.M.
- Singh,S.K. y M. Rodriguez (1984)  
A catalog of shallow earthquakes of Mexico from 1900 to 1981,  
Bull. Seism. Soc. Am., V.74, pp. 267-279.
- Singh,S.K. y J. Lerma (1984)  
Mislocation of mexican earthquakes as reported in international bulletins,  
Geol. Intern., enviado.
- Shor,G.G. y R.L. Fisher (1961)  
Middle America trench: Seismic-refraction studies,  
Geol. Soc. Am. Bull., V.72, pp. 721-730.

- Thatcher, W. y J.N. Brune (1973)  
Surface wave and crustal structure in the Gulf of California region.  
Bull. Seism. Soc. Am., V.63, No 5.
- Toledo, V.R. y A. Nova (1983)  
Ondas de placas y el sismo de Huajuapan de Leon de 1980,  
Comunicaciones Técnicas IIMAS, U.N.A.M., Serie Naranja No 330, pp. 65.
- Valdes, C., R.P. Meyer, R. Zuniga, J. Havskov, y S.K. Singh (1982)  
Analysis of the Pecatlan aftershocks: numbers, energy release and  
asperities,  
J. Geophys. Res., V.87, No. 510, pp. 6519-6527.
- Zuniga, F.R. y C.M. Valdez (1980)  
Analisis de las replicas del temblor de Pecatlan del 14 de Marzo de 1979,  
Tesis Profesional, Facultad de Ingenieria, U.N.A.M.

## APENDICE A

---

Calculo del tiempo de viaje para un rayo refractado y directo en un modelo

---

cortical de capas inclinadas

---

El programa TVP.FTN desarrollada para este estudio, se inicio con los algoritmos propuestos por Eaton (1969), los cuales fueron modificados segun las necesidades del estudio. A continuacion, se muestran las ecuaciones para el tiempo de viaje de un rayo directo y refractado, con fuente en la tercera capa, para un modelo cortical de tres capas sobre un semiespacio, estando las dos ultimas inclinadas. (ver fig A1).

De la fig A1, se conocen los siguientes datos: D<sub>x</sub>, H, E<sub>1</sub>, E<sub>2</sub>, E<sub>3</sub>, V<sub>1</sub>, V<sub>2</sub>, V<sub>3</sub>, V<sub>4</sub>,  $\theta_1$  y  $\theta_2$ .

Las incognitas son: tiempo de viaje del rayo refractado (TVR) y tiempo de viaje del rayo directo (TVD).

Condicionas: V<sub>1</sub> > V<sub>2</sub> > V<sub>3</sub> > V<sub>4</sub>

1. Desarrollando el TVR (línea continua en la fig A1)

---

a) Determinación de los angulos de incidencia y refractados

Usando la Ley de Snell y el concepto de angulo critico, de la fig A1 se tiene:

$$\alpha_c = \sin^{-1}(V_3/V_4)$$

$$\alpha_s = \alpha_c - \theta_2$$

$$\alpha_i = \alpha_c + \theta_3 \quad \text{donde} \quad \theta_3 = \theta_1 + \theta_2$$

Ahora si  $\sin(\alpha_i)/V_3 = \sin(\theta_1)/V_2$  entonces:

$$\alpha_{r0} = \sin^{-1}[V_2/V_3 \sin(\alpha_i)]$$

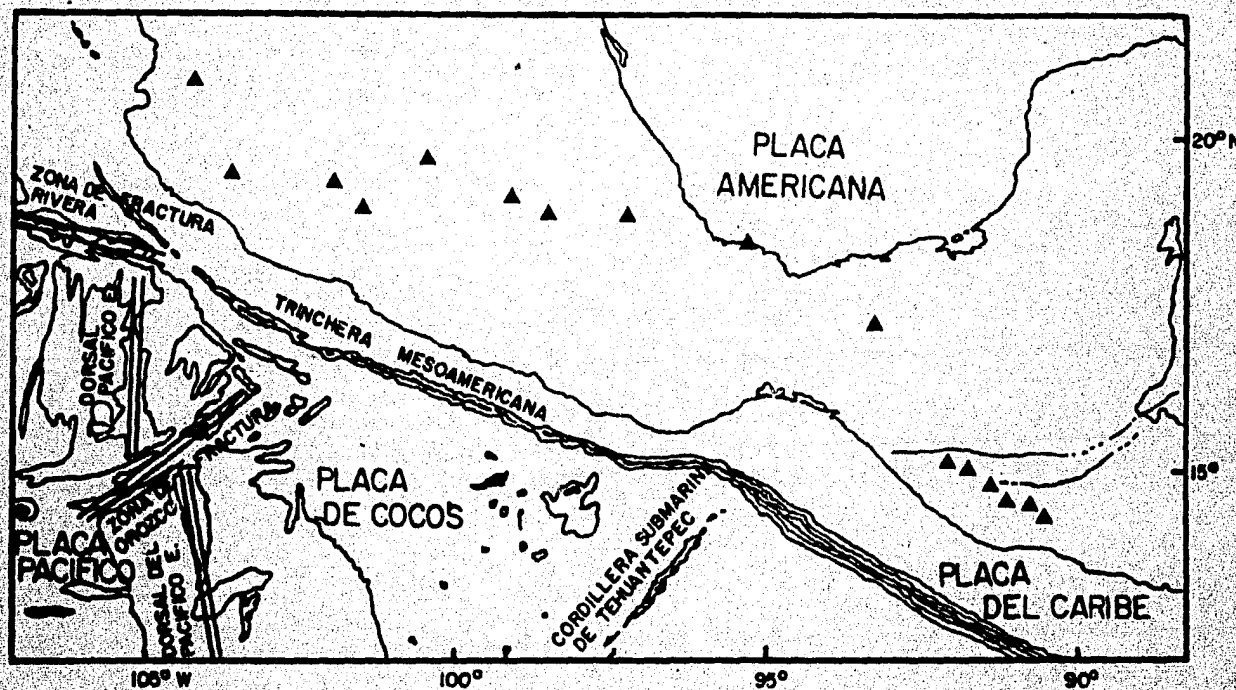


Fig 1

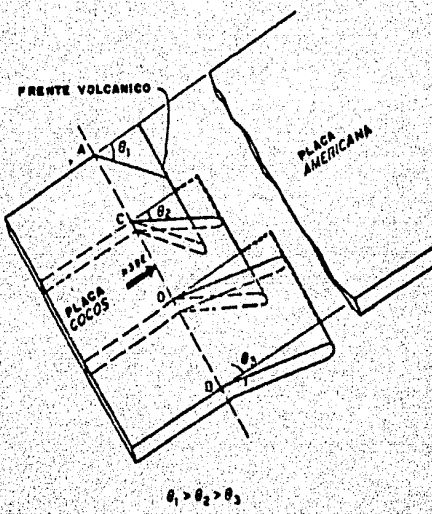
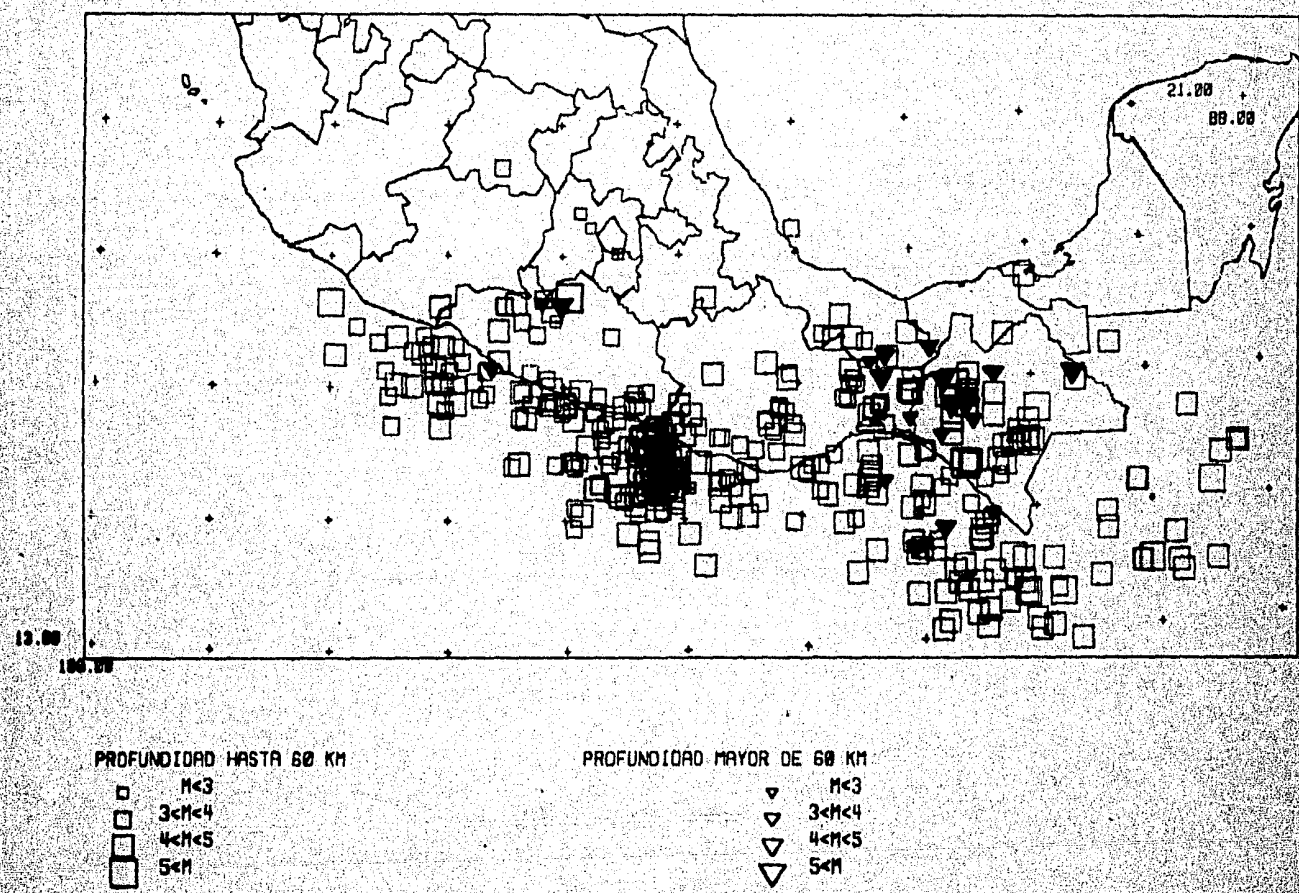


Fig 2

Fig 3



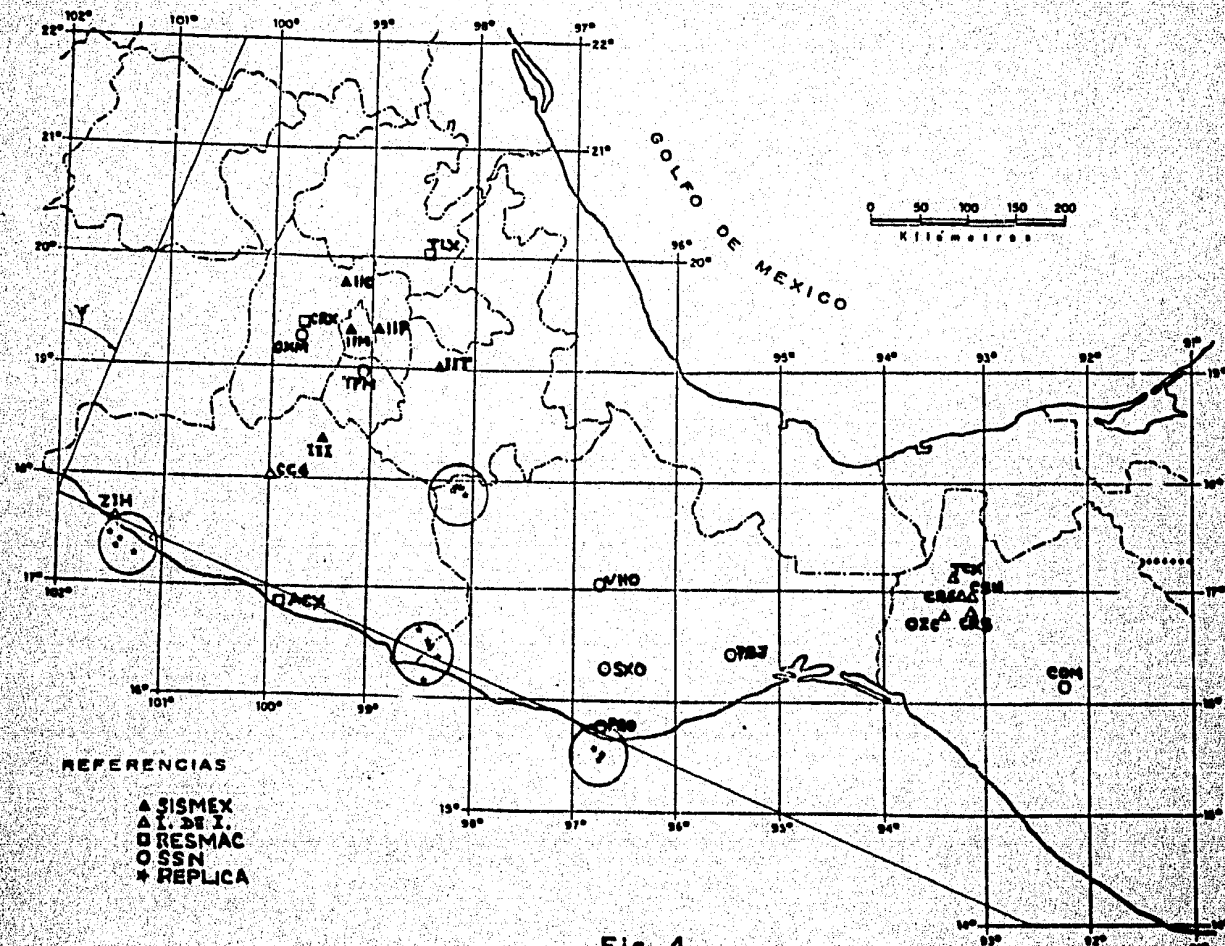


Fig. 4

Fig 5

SISMEX

5      5

15      6.1

5      6.95

10      7.6

35 Km  
8.1 Km/s

RESMAC

2      4.9

25      6.1

10      7.6

40 Km  
8.1 Km/s

MEYER

DURANGO

1      4.85

M.S.      6.01

M.      6.44

M.      7.63

0.38 Km/s

ASTIZ

ACAMBAY

8      5.4

6      4.7

20      6.1

12      7.2

40 Km  
8.1 Km/s

FIX

MEXICO CENTRAL

3      5

29      6

20      6

10      7.63

43 Km  
8.35 Km/s

NOVELO

SURESTE DE MEXICO

3      4

5      5

20      6

10      7.6

38 Km  
8.3 Km/s

CASTRO

SURESTE DE MEXICO

4      5

M.      6.1

II      6.98

12      7.6

6.2 Km/s

HAVSKOV  
PLAYA AZUL

6      5.6

6      5.95

6      6.15

6      6.40

16      7.05

40 Km  
8.1 Km/s

VALDES  
PETATLAN

6      5.8

6      5.95

6      6.15

6      6.40

10      7.05

34 Km  
8.0 Km/s

PONCE  
OMETEPEC-OAXACA

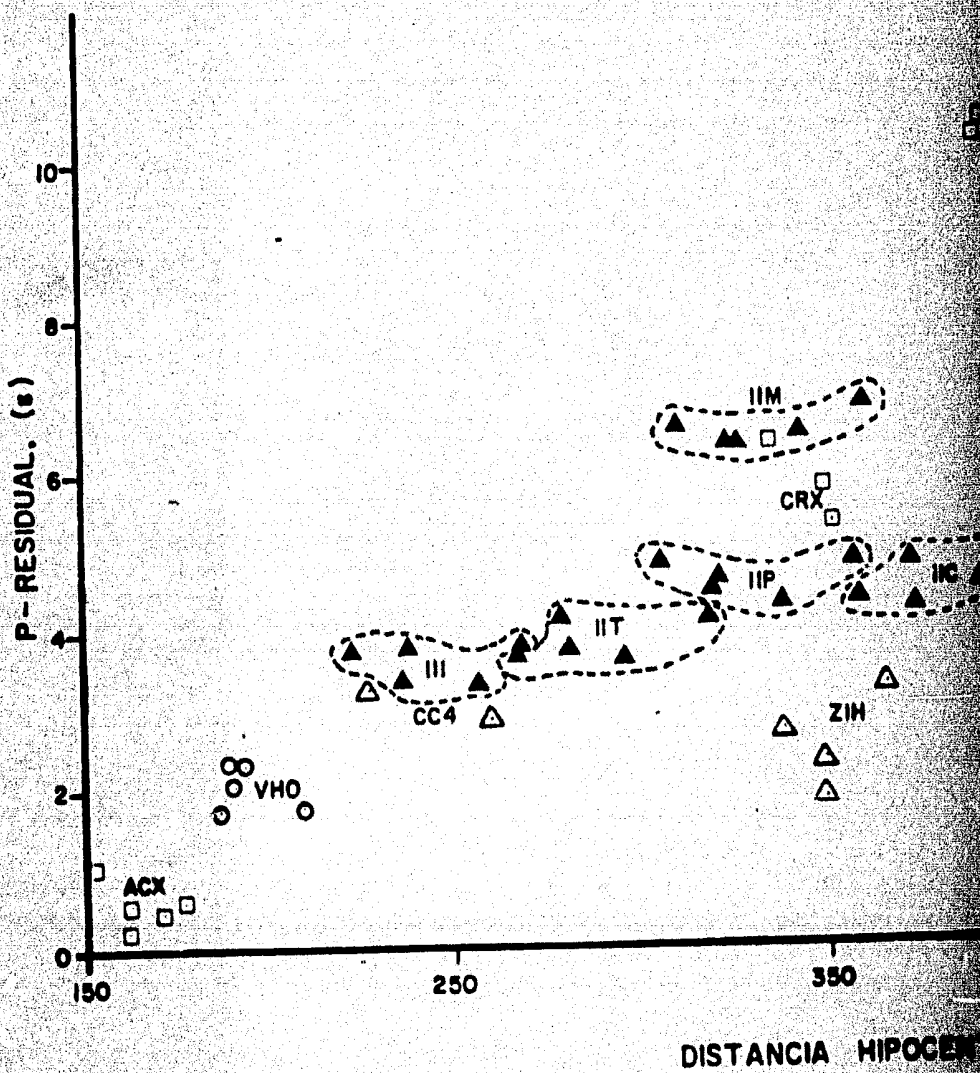
5      4.4

7      5.6

10      6.4

22 Km  
8.2 Km/s

OMET

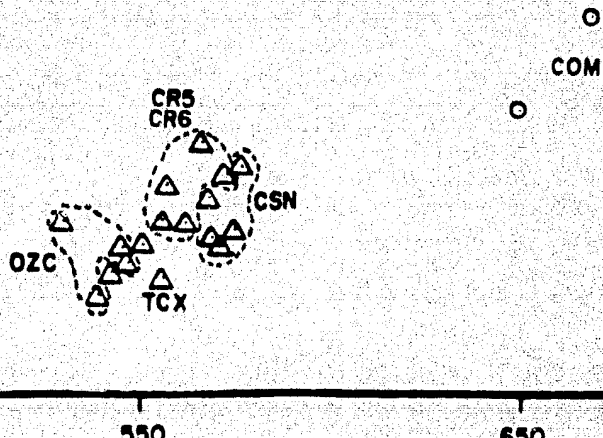


DISTANCIA HIPOCAMPAL

FIG

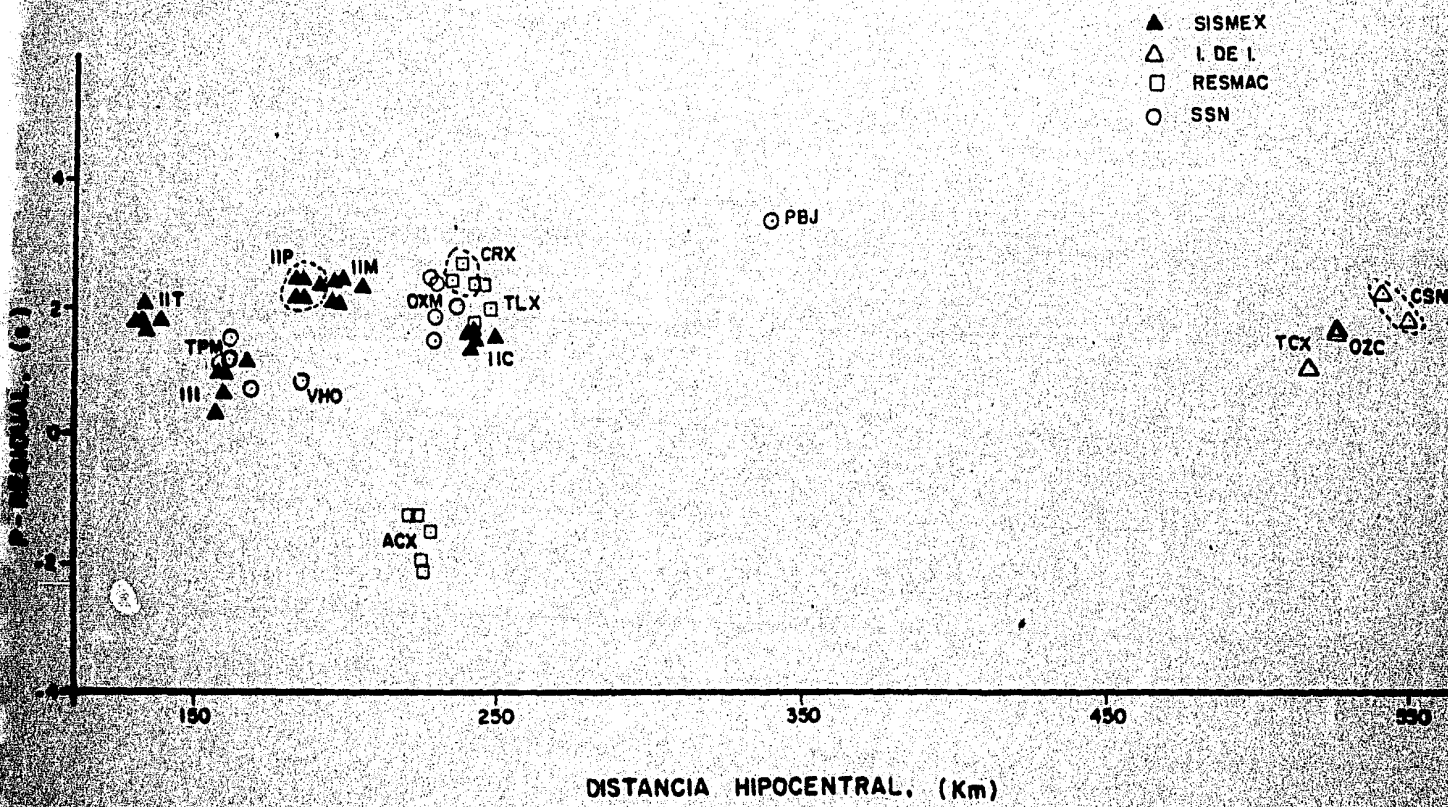
DEC. 1982

- ▲ SISMEX
- △ IDEI.
- RESMAC
- SSN



(Km)

HUAJUAPAN DE LEON, 1980



DISTANCIA HIPOCENTRAL. (Km)

Fig 8

# OMETEPEC, 1982

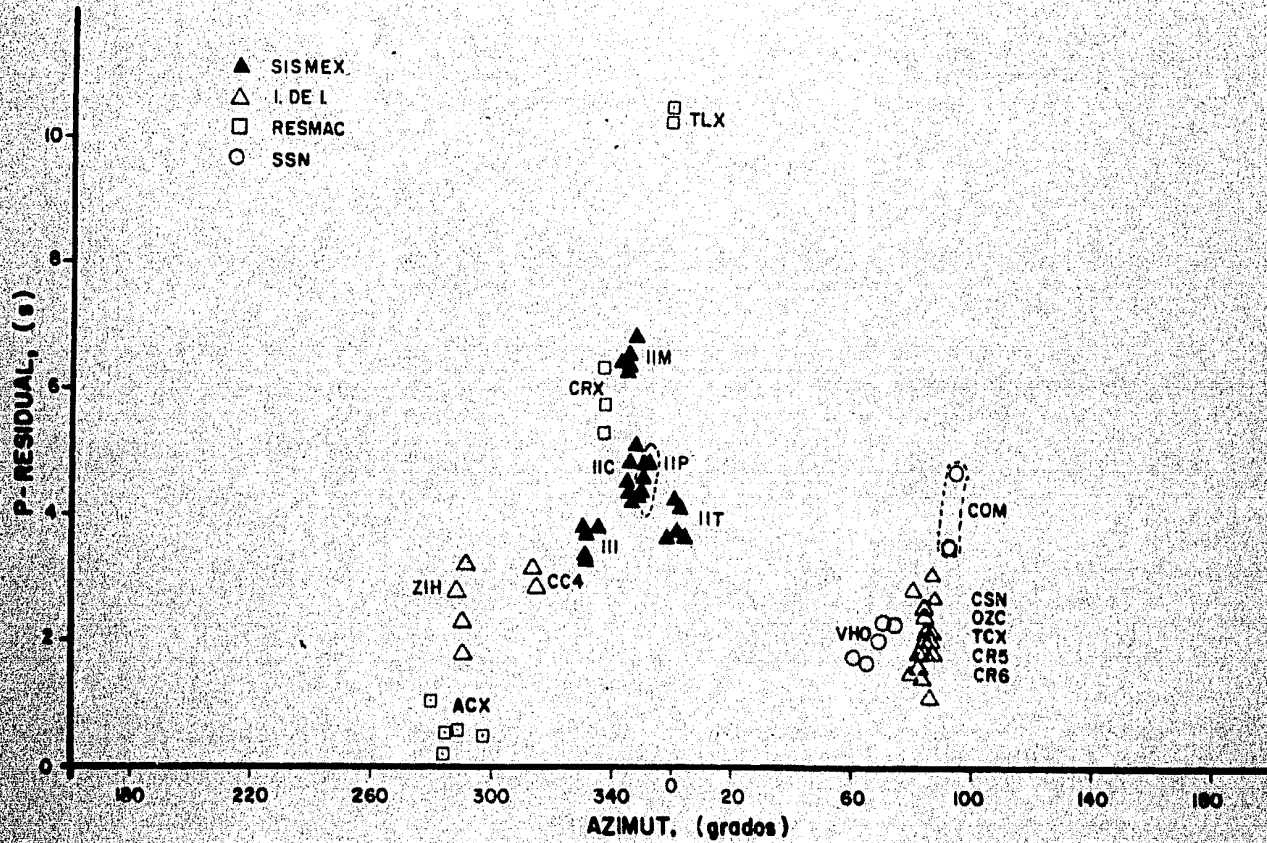


Fig 7

### HUAJUAPAN DE LEON, 1980

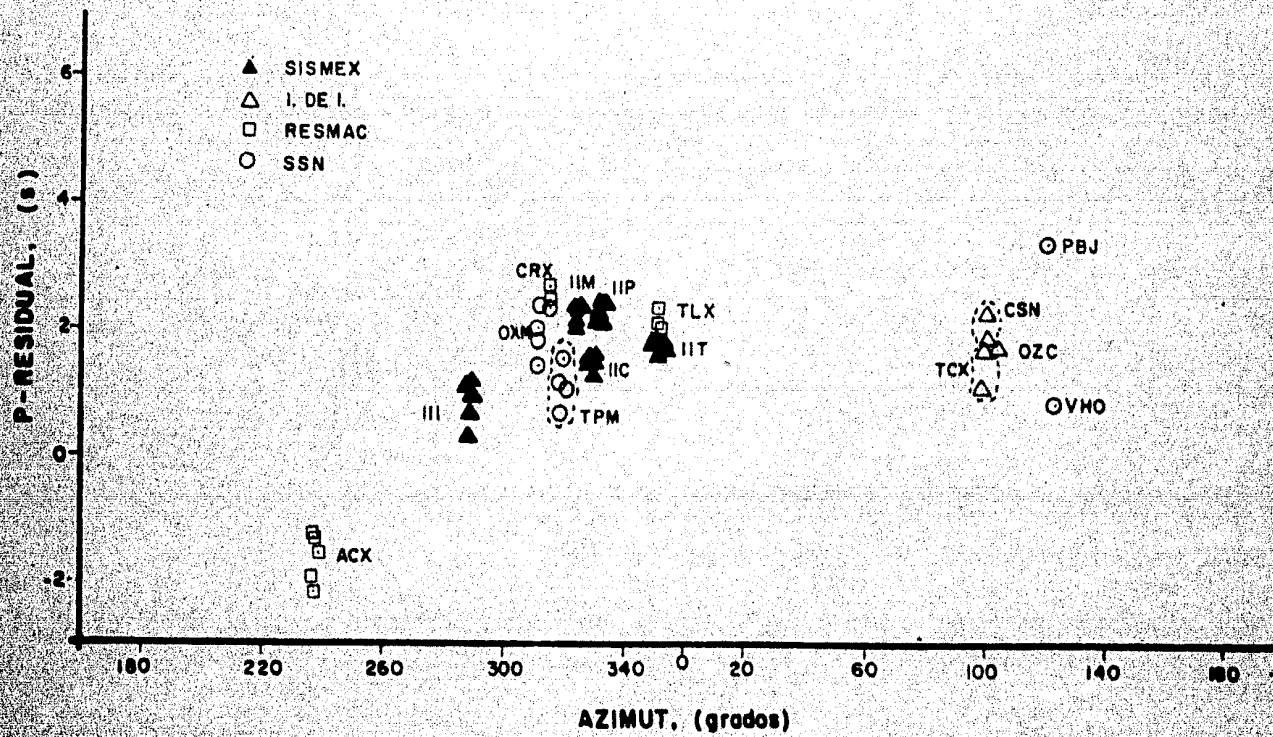


Fig. 9

PETATLAN, 1979

▲ USNER  
△ INEL  
□ RESMAC  
○ SSM

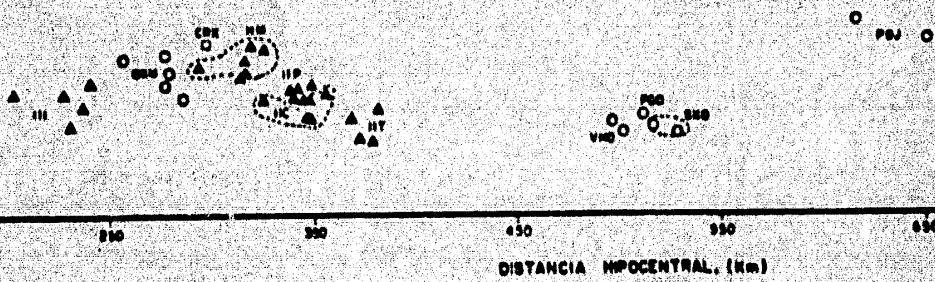


Fig. 10

100  
80  
60  
40  
20

100  
80  
60  
40  
20  
0

$\Delta_{\text{cm}}$

100  
80  
60  
40  
20

PE TATLAN, 1979

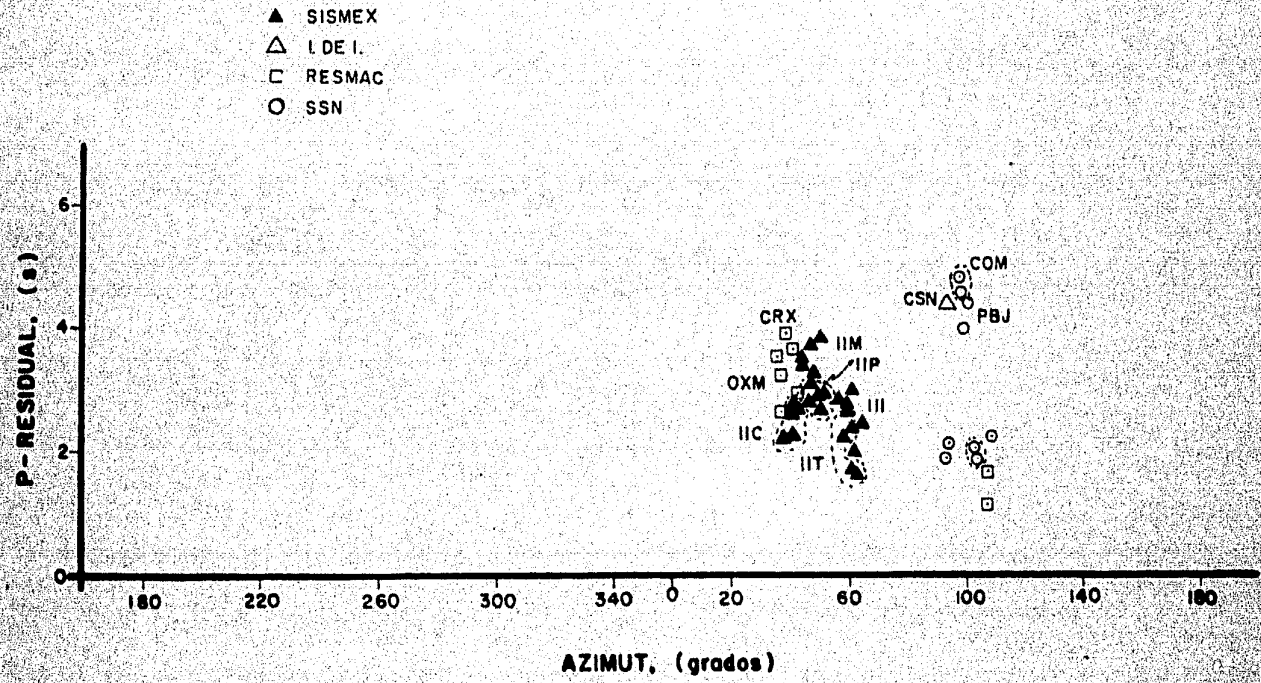


Fig 11

OAXACA, 1978

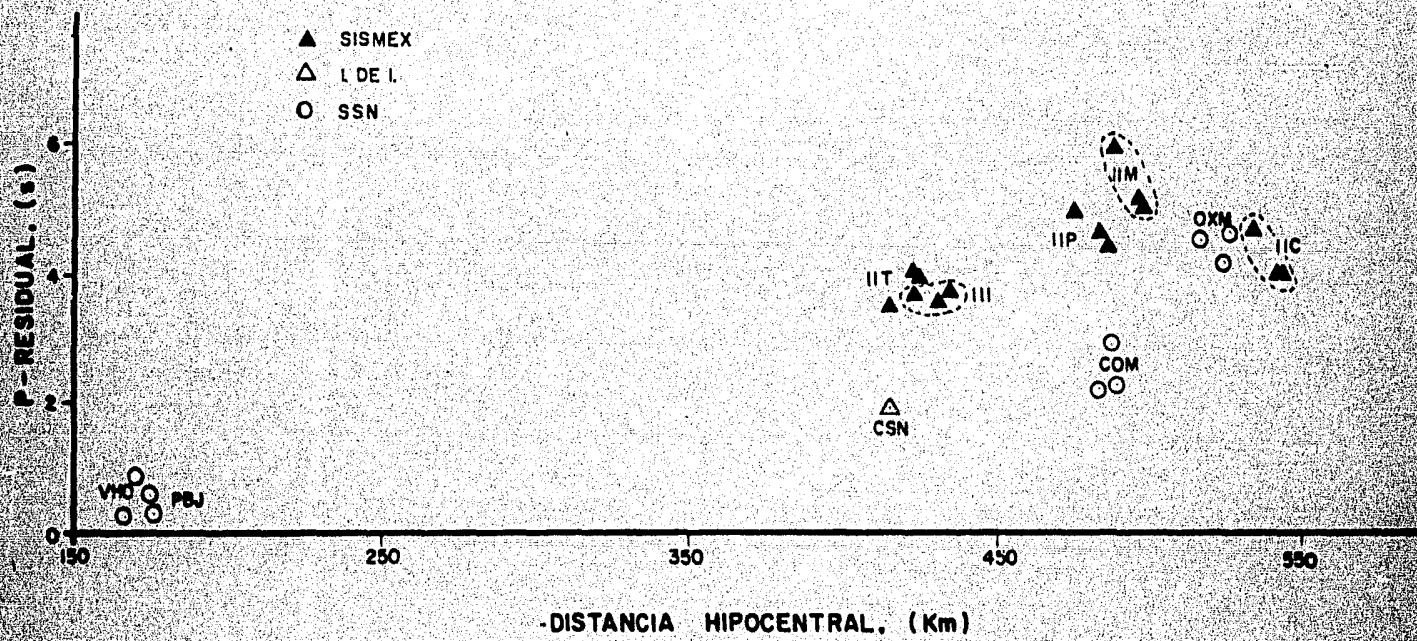


Fig 12

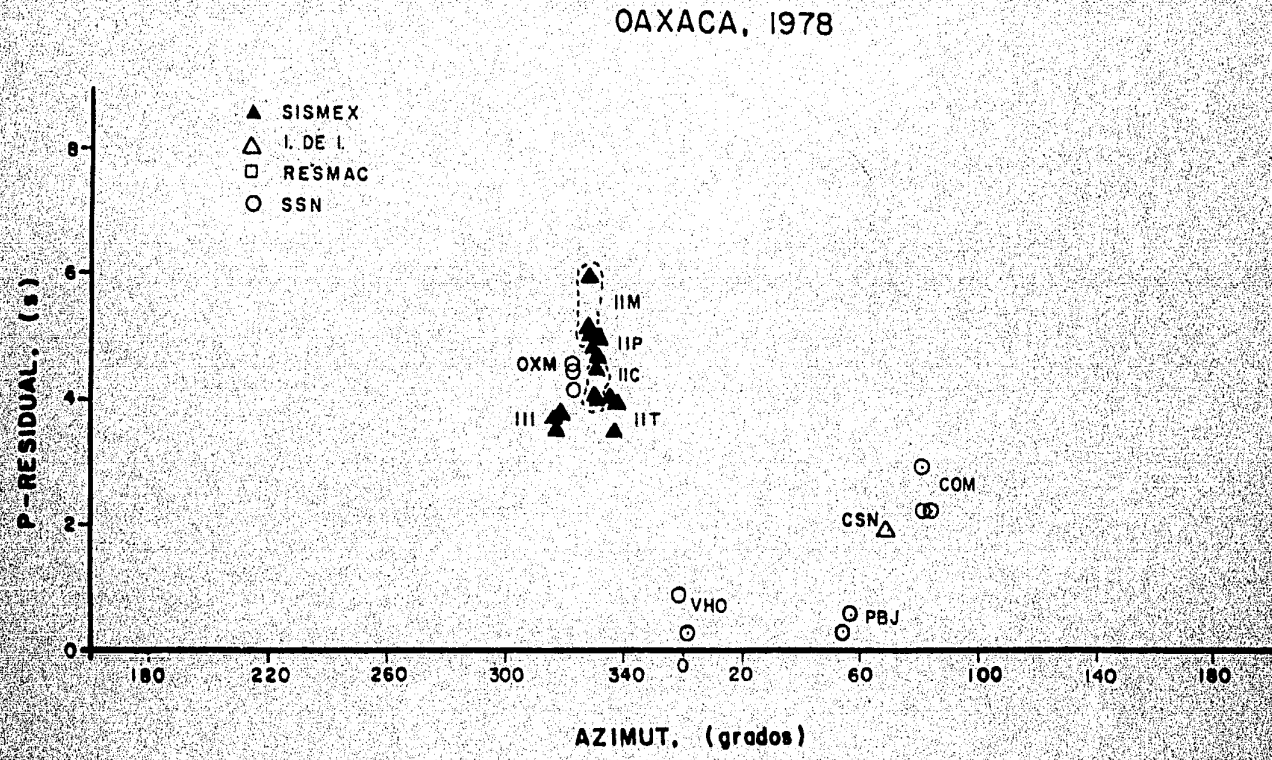


Fig 13

HUAJUAPAN DE LEON  
Estación IIT

PETATLAN  
Estación III

OMETEPEC  
Estación IIP

OAXACA  
Estación IIC

Fig 14

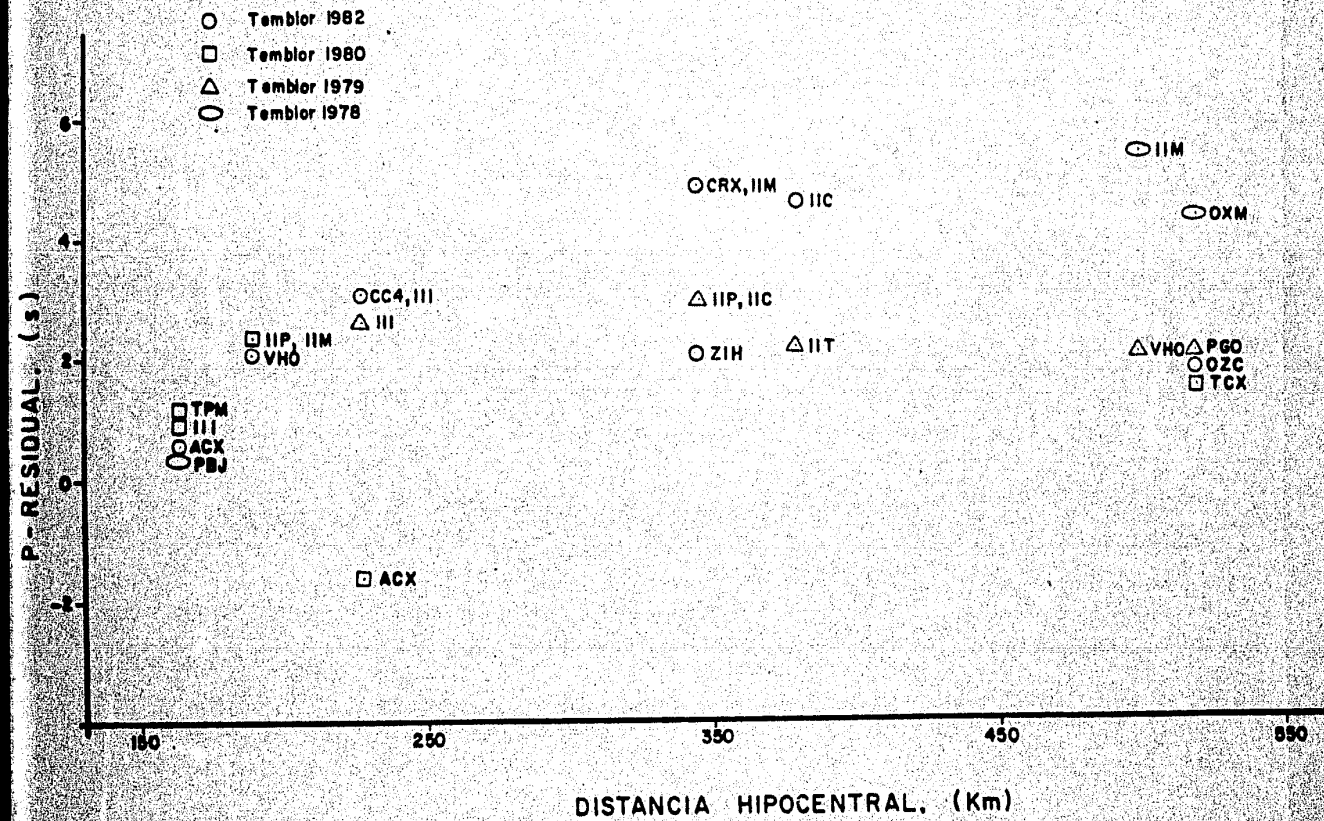


Fig 15

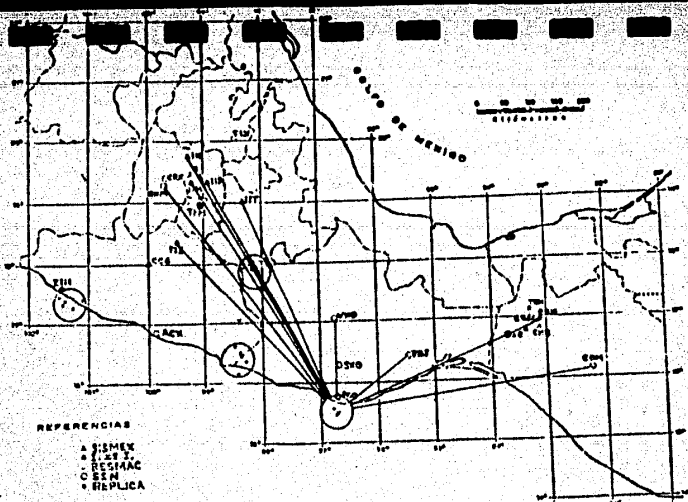


Fig 16

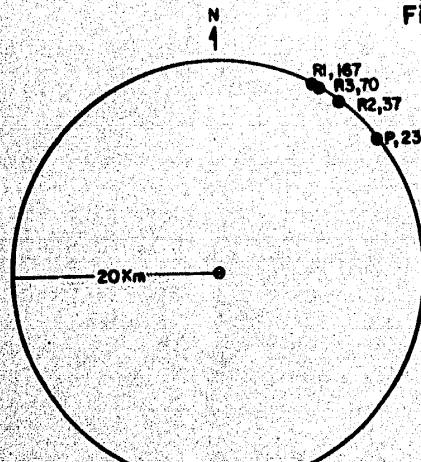


Fig 16a

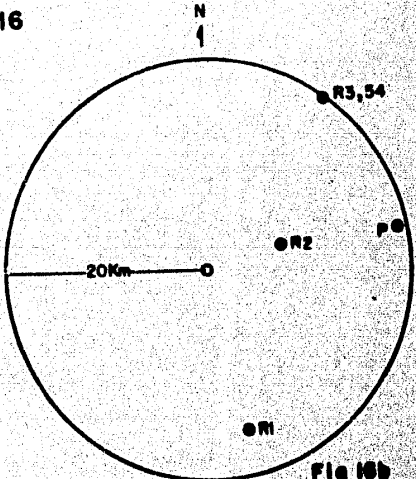


Fig 16b

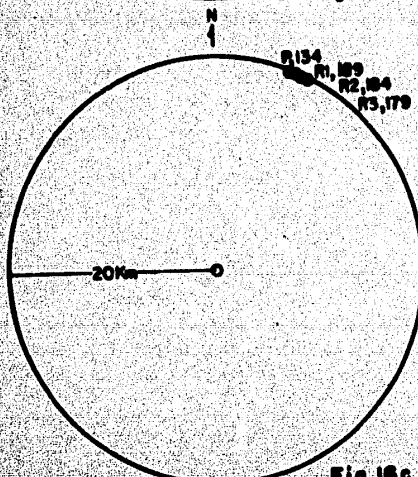


Fig 16c

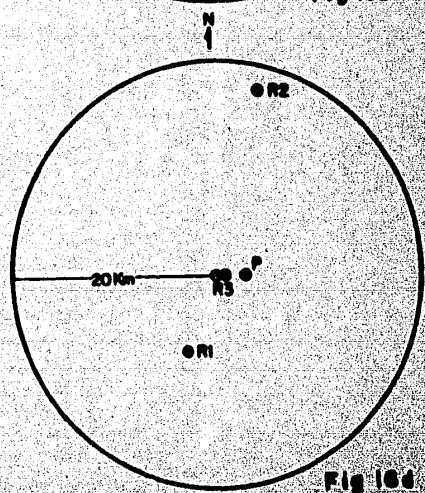


Fig 16d

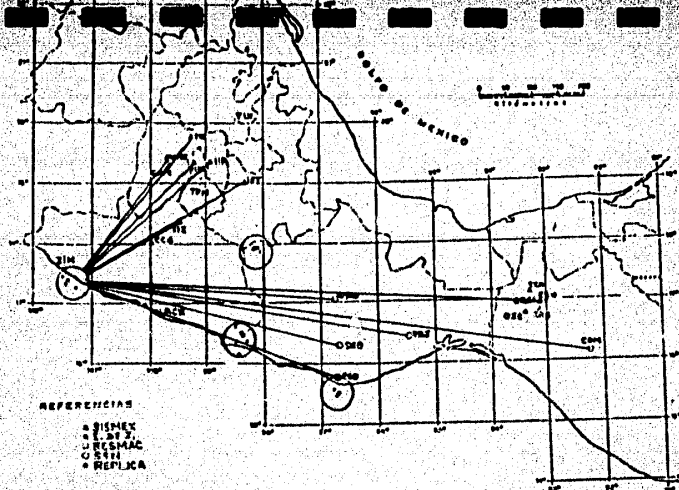


Fig 17

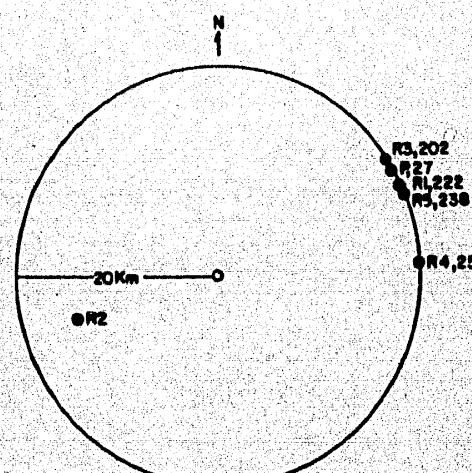


Fig 17a

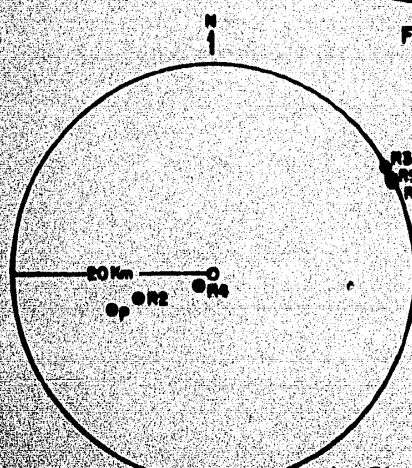


Fig 17b

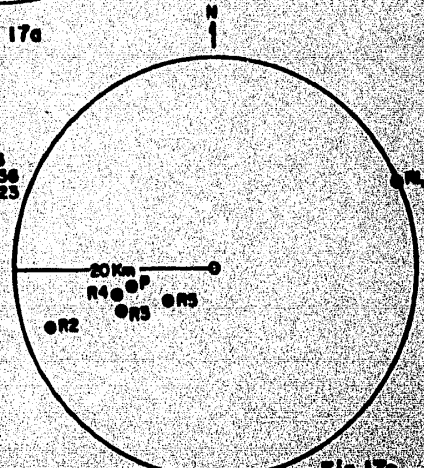


Fig 17c

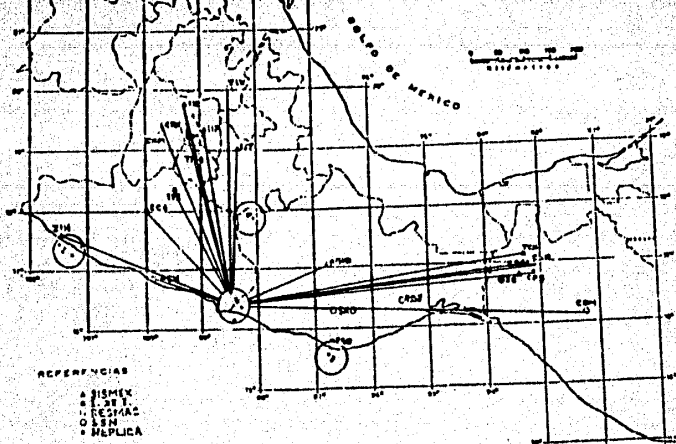


Fig 18

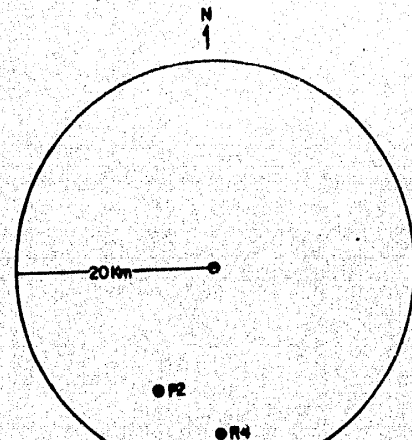


Fig 18a

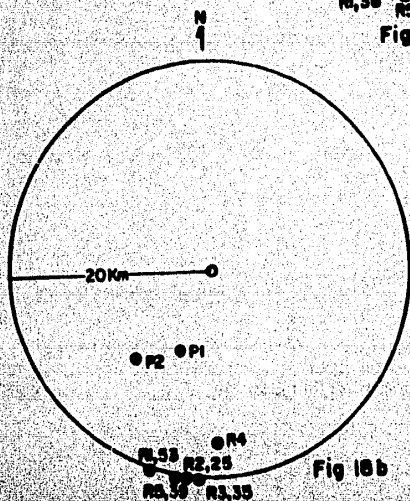


Fig 18b

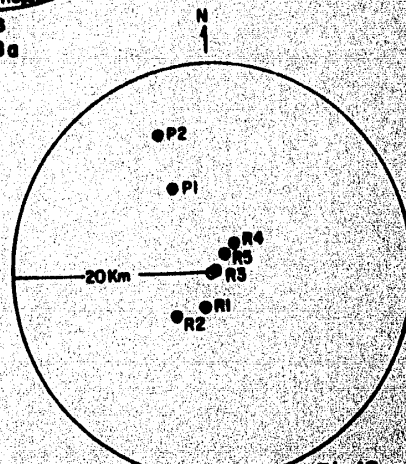


Fig 18c

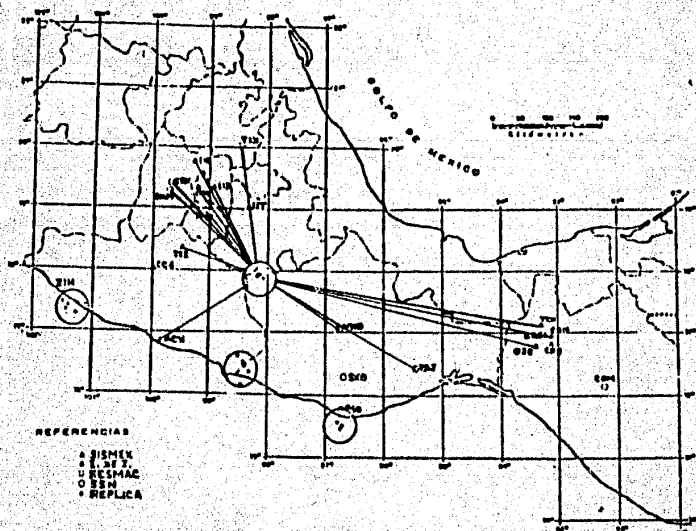
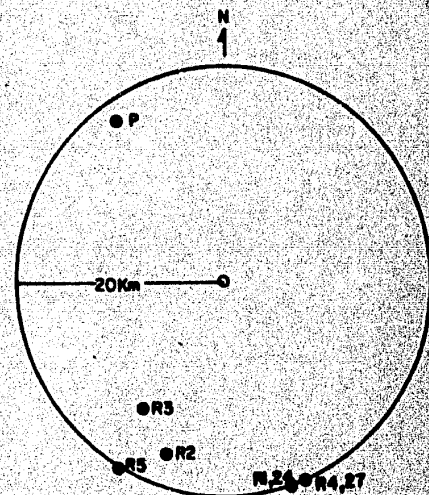
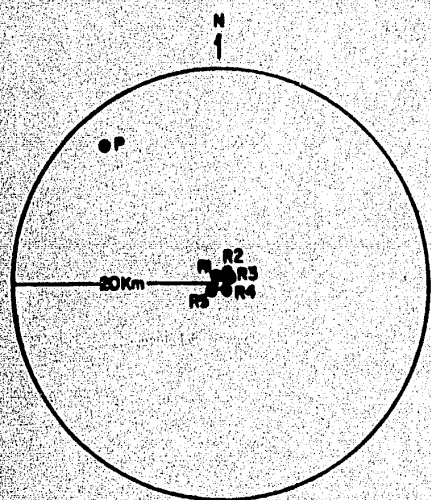
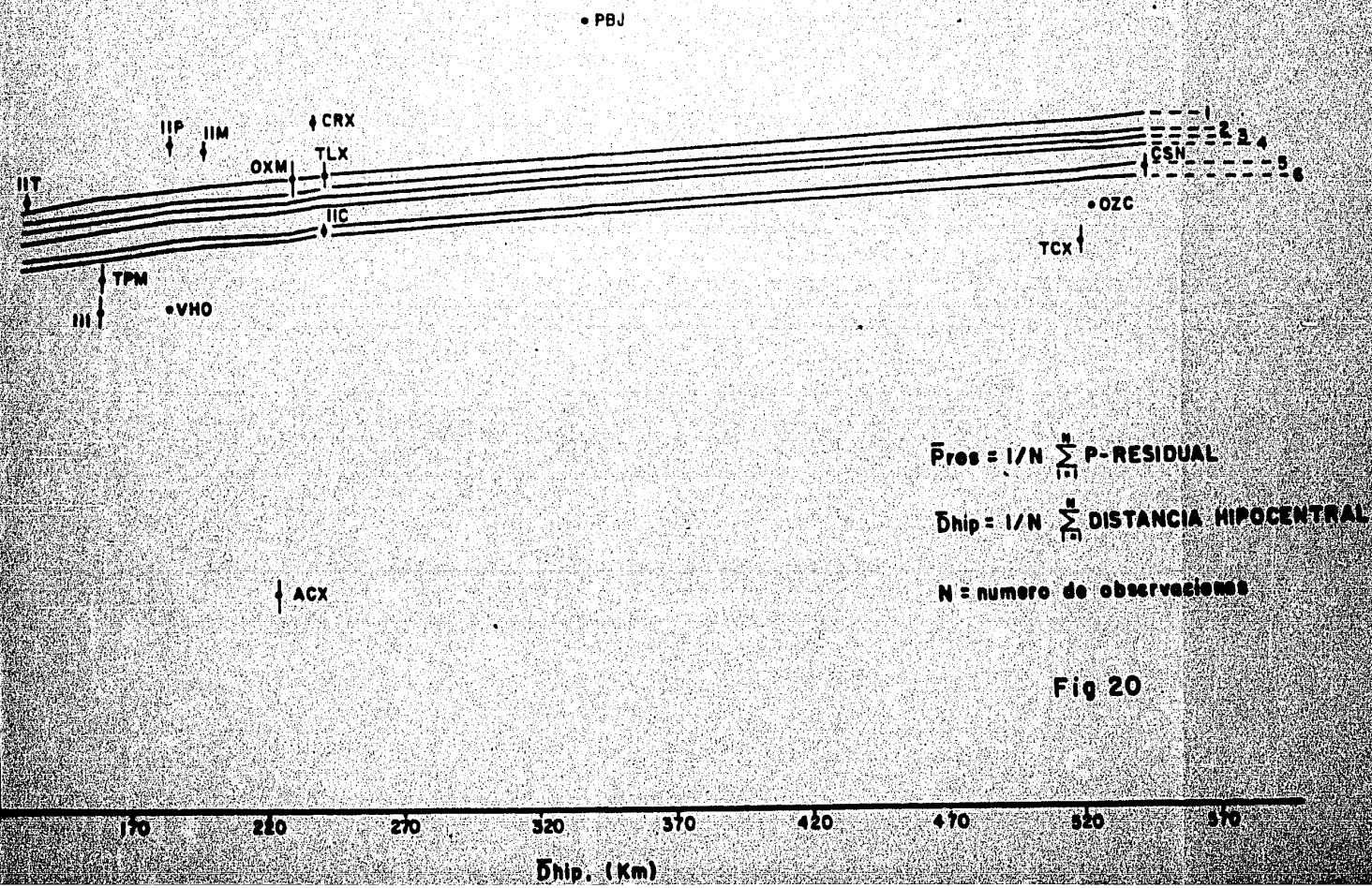


Fig 19



# HUAJUAPAN DE LEON, 1980



OMOTEPEC, 1982

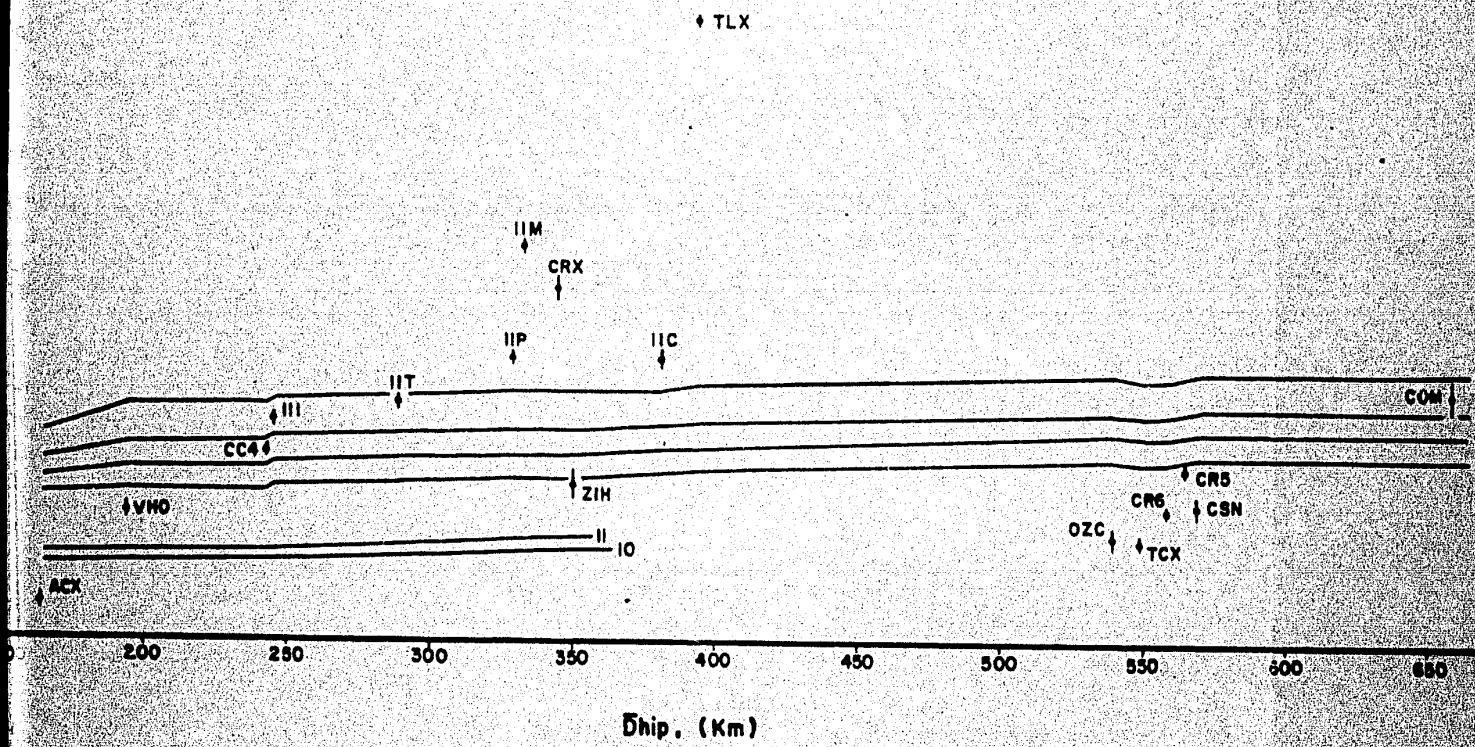


Fig 21

PETATLAN, 1979

M. COTINENTE    -----  
 M. COSTA        - - - - -  
 M. HIBRIDO      \_\_\_\_\_  
 M. FINAL        \_\_\_\_\_

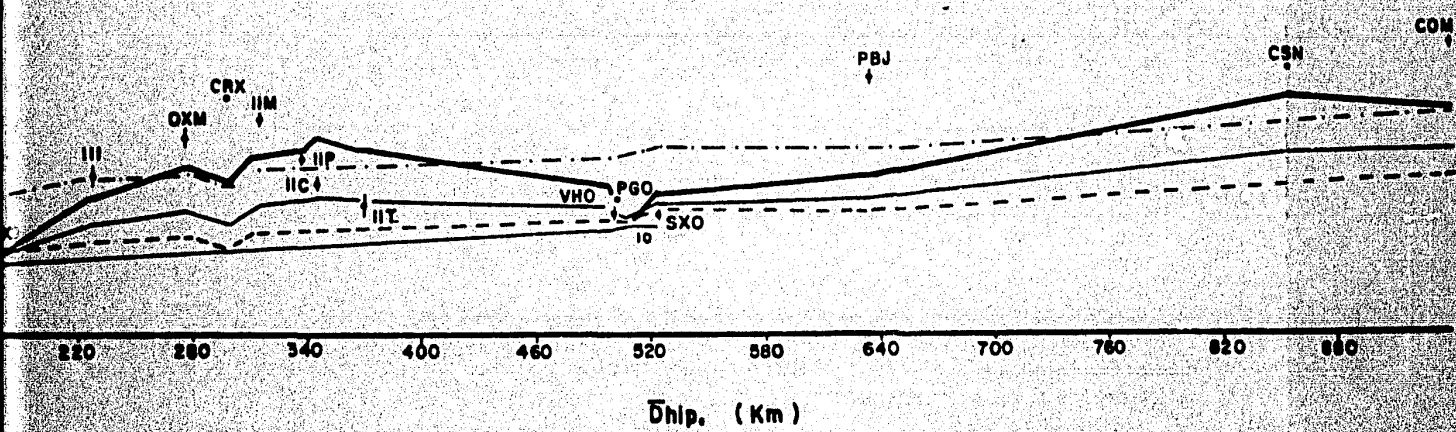


Fig 22

OAXACA, 1978

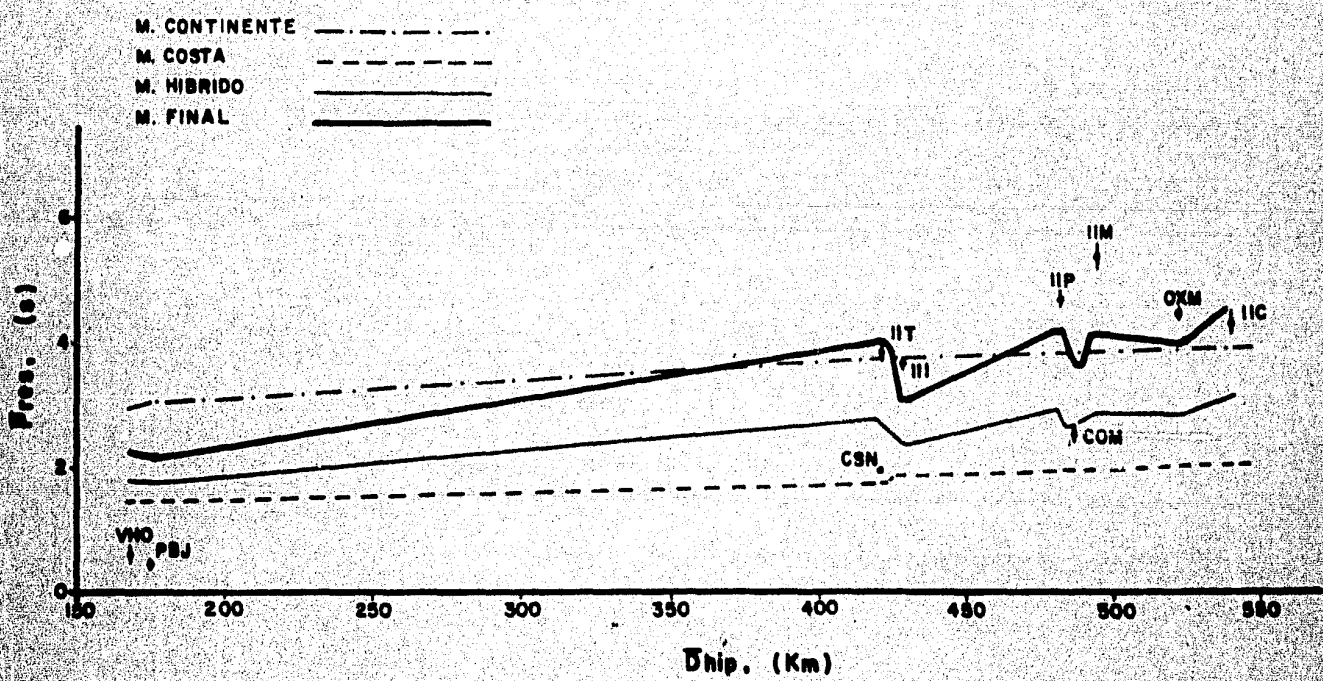


Fig 23

# OMETEPEC, 1982

M. CONTINENTAL  
M. COSTA  
M. HIBRIDO  
M. FINAL

TLX

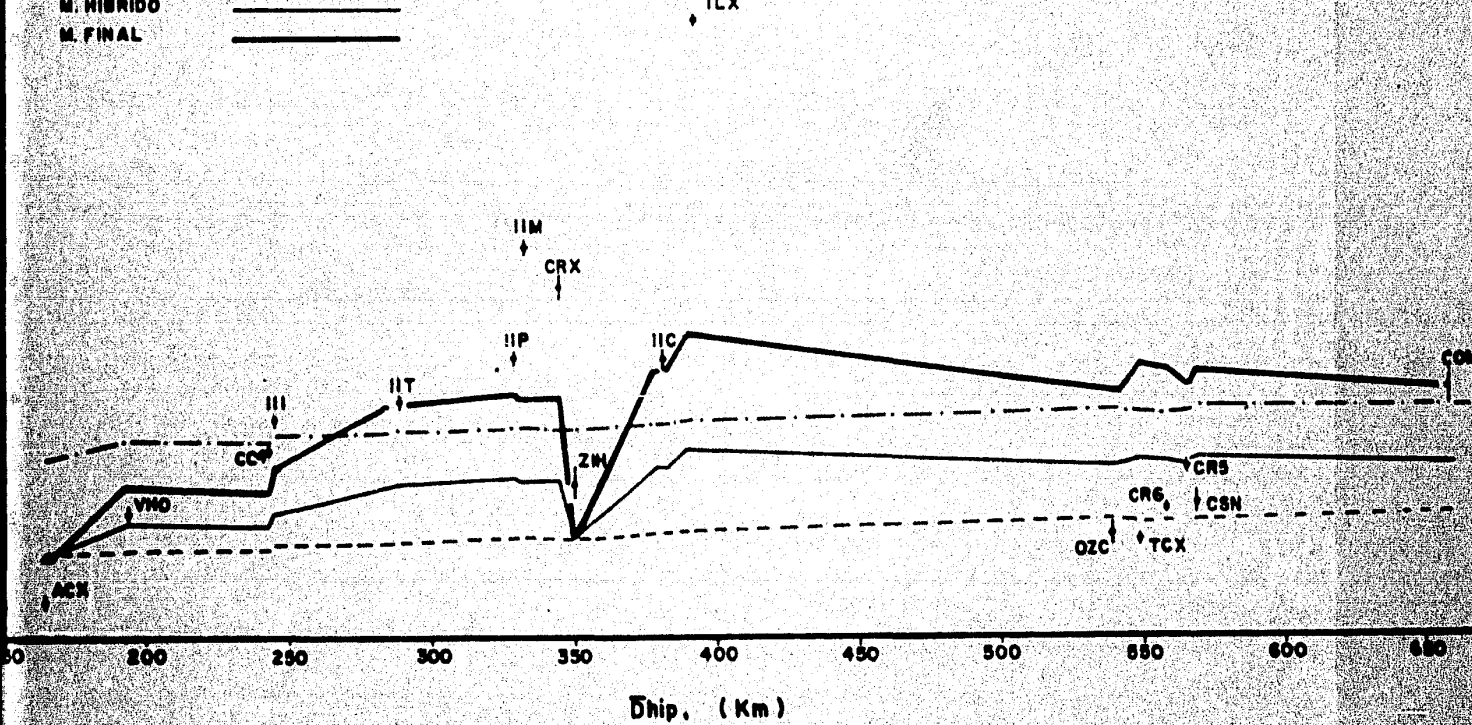


Fig 24

## HUAJUAPAN DE LEON, 1980

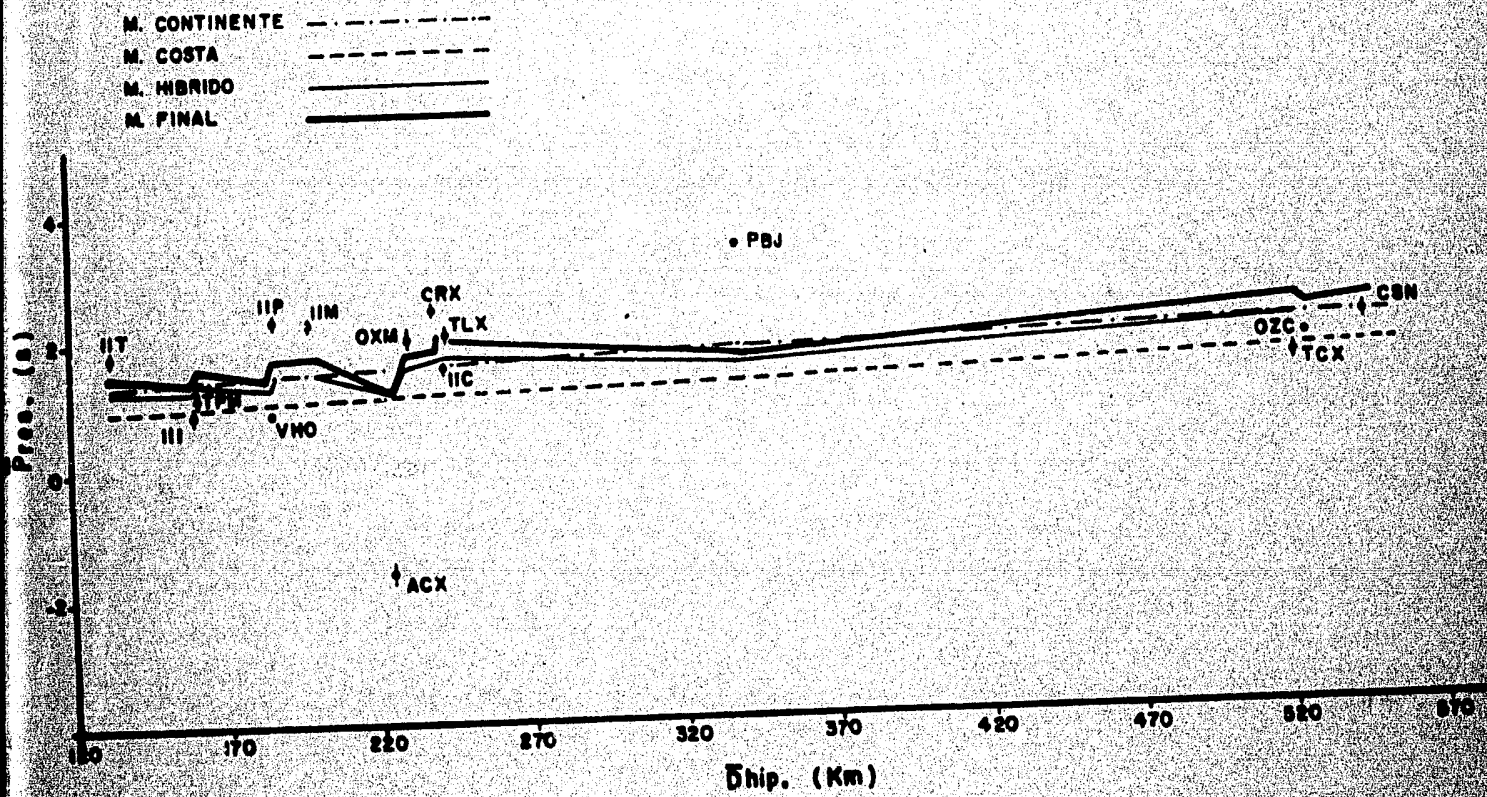


Fig 25

$$\alpha_i = \alpha_{r_0} + \theta_i$$

Igualmente si  $\operatorname{Sen}(\alpha_{r_1}/V_2) = \operatorname{Sen}(\alpha_{r_1}/V_1)$  entonces:

$$\alpha_{r_1} = \operatorname{Sen}([V_1/V_2 \operatorname{Sen}(\alpha_{r_1})])$$

b) Determinación de los espesores E4, E5, h1, h2, h3, h4 y h5

$$E4 = E2 + Dx \operatorname{Tan}(\theta_1)$$

$$E5 = [E2 + E3 + Dx \operatorname{Tan}(\theta_2)] - E4$$

$$h1 = [(E1 + E2 + E3) - H] \operatorname{Cos}(\theta_2)$$

$$h2 = E5 \operatorname{Cos}(\theta_2)$$

$$h3 = E4 \operatorname{Cos}(\theta_1)$$

$$h4 = h3 - [E1 \operatorname{Tan}(\alpha_{r_1}) \operatorname{Sen}(\theta_1)]$$

$$h5 = h2 + C1 \operatorname{Sen}(\theta_2)$$

dónde  $C1 = h4 \operatorname{Tan}(\alpha_{r_0}) + E1 \operatorname{Tan}(\alpha_{r_1}) \operatorname{Cos}(\theta_1) + E4 \operatorname{Sen}(\theta_1)$

c) Determinación de las distancias AB, BC, CD, DE y EF

$$AB = h1 / \operatorname{Cos}(\alpha_c)$$

$$CD = h5 / \operatorname{Cos}(\alpha_c)$$

$$DE = h4 / \operatorname{Cos}(\alpha_{r_0})$$

$$EF = E1 / \operatorname{Cos}(\alpha_{r_1})$$

$$BC = Dx / \operatorname{Cos}(\theta_2) - C2$$

dónde  $C2 = h1 \operatorname{Tan}(\alpha_c) - h1 \operatorname{Tan}(\theta_2) + h5 \operatorname{Tan}(\alpha_c) + C1 \operatorname{Cos}(\theta_2) + E5 \operatorname{Sen}(\theta_2)$

Finalmente el valor de TVR sera :

$$\begin{aligned} TVR &= t_{AB} + t_{BC} + t_{CD} + t_{DE} + t_{EF} \quad \text{donde } t = \text{tiempo} \\ &= AB/V_3 + BC/V_4 + CD/V_3 + DE/V_2 + EF/V_1 \end{aligned}$$

## 2. Desarrollando el TVD (línea discontinua en la fig A1)

El método que se siguió para encontrar el valor del TVD es el de iteraciones. Se aumenta en cada iteración un ángulo pequeño ( $\Delta\theta = 0.5$  grados) al de salida del rayo directo, hasta que la diferencia entre la distancia calculada  $D_S$  y la distancia epicentral  $D_X$  sea menor a 0.1.

Para el cálculo de  $D_S$  y TVD se procede de la siguiente manera:

### a) Determinación de los ángulos de incidencia y refractados

$$d_i = \Delta\theta + \theta_i$$

$$\alpha_{i_0} = \Delta\theta$$

$$\alpha_{r_0} = \operatorname{Sen} [V_2/V_3 \operatorname{Sen}(\alpha_{i_0})]$$

$$d_{i_0} = \alpha_{r_0} + \theta_i$$

$$d_{r_1} = \operatorname{Sen} [V_1/V_2 \operatorname{Sen}(\alpha_{i_1})]$$

### b) Determinación de los parámetros $h_6$ , $h_7$ , $h_8$ , $D_{S0}$ , $D_{S1}$ , $D_{S2}$ , $D_{S3}$ y $D_{S4}$

$$h_6 = H - (E_1 + E_2)$$

$$h_7 = h_6 \operatorname{Cos}(\theta_i)$$

$$D_{S0} = h_6 \operatorname{Sen}(\theta_i)$$

$$D_{S1} = h_7 \operatorname{Tan}(\Delta\theta)$$

$$D_{S2} = (D_{S0} + D_{S1}) \operatorname{Cos}(\theta_i)$$

$$h_8 = (D_{S0} + D_{S1}) \operatorname{Sen}(\theta_i)$$

$$DS3 = (h_0 + E2) \operatorname{Tan}(\theta_i + \alpha_{r_0})$$

$$DS4 = E1 \operatorname{Tan}(\alpha_{r_1})$$

Por lo tanto

$$DS = DS2 + DS3 + DS4$$

$$\text{Ahora si } (DX - DS) > 0.1$$

entonces se calcula nuevamente los angulos y los parametros, pero ahora con:

$$\Delta\theta = \Delta\theta + \Delta\theta/2$$

$$\text{hasta que } (DX - DS) < 0.1$$

Una vez cumplida esta condicion, ya se puede calcular el valor de TVD

$$TVD = tAG + tGH + tHI \quad \text{donde } t = \text{tiempo}$$

$$= AG/V3 + GH/V2 + HI/V1 \quad \text{donde: } AG = DS2/\operatorname{Sen}(\alpha_{r_0})$$

$$GH = DS3/\operatorname{Sen}(\theta_i + \alpha_{r_0})$$

$$HI = DS4/\operatorname{Sen}(\alpha_{r_1})$$

$$DS3 = (hS + E2) \operatorname{Tan}(\theta_1 + \alpha_{r_2})$$

$$DS4 = E1 \operatorname{Tan}(\alpha_{r_1})$$

Por lo tanto

$$DS = DS2 + DS3 + DS4$$

$$\text{Ahora si } (DX - DS) > 0.1$$

entonces se calcula nuevamente los angulos y los parametros, pero ahora con:

$$\Delta\theta = \delta\theta + \Delta\theta/2$$

$$\text{hasta que } (DX - DS) < 0.1$$

Una vez cumplida esta condicion, ya se puede calcular el valor de TVD

$$TVD = tAG + tGH + tHI \quad \text{donde} \quad t = \text{tiempo}$$

$$= AG/V3 + GH/V2 + HI/V1 \quad \text{donde:} \quad AG = DS2/\operatorname{Sen}(\alpha_{r_1})$$

$$GH = DS3/\operatorname{Sen}(\theta_1 + \alpha_{r_2})$$

$$HI = DS4/\operatorname{Sen}(\alpha_{r_1})$$

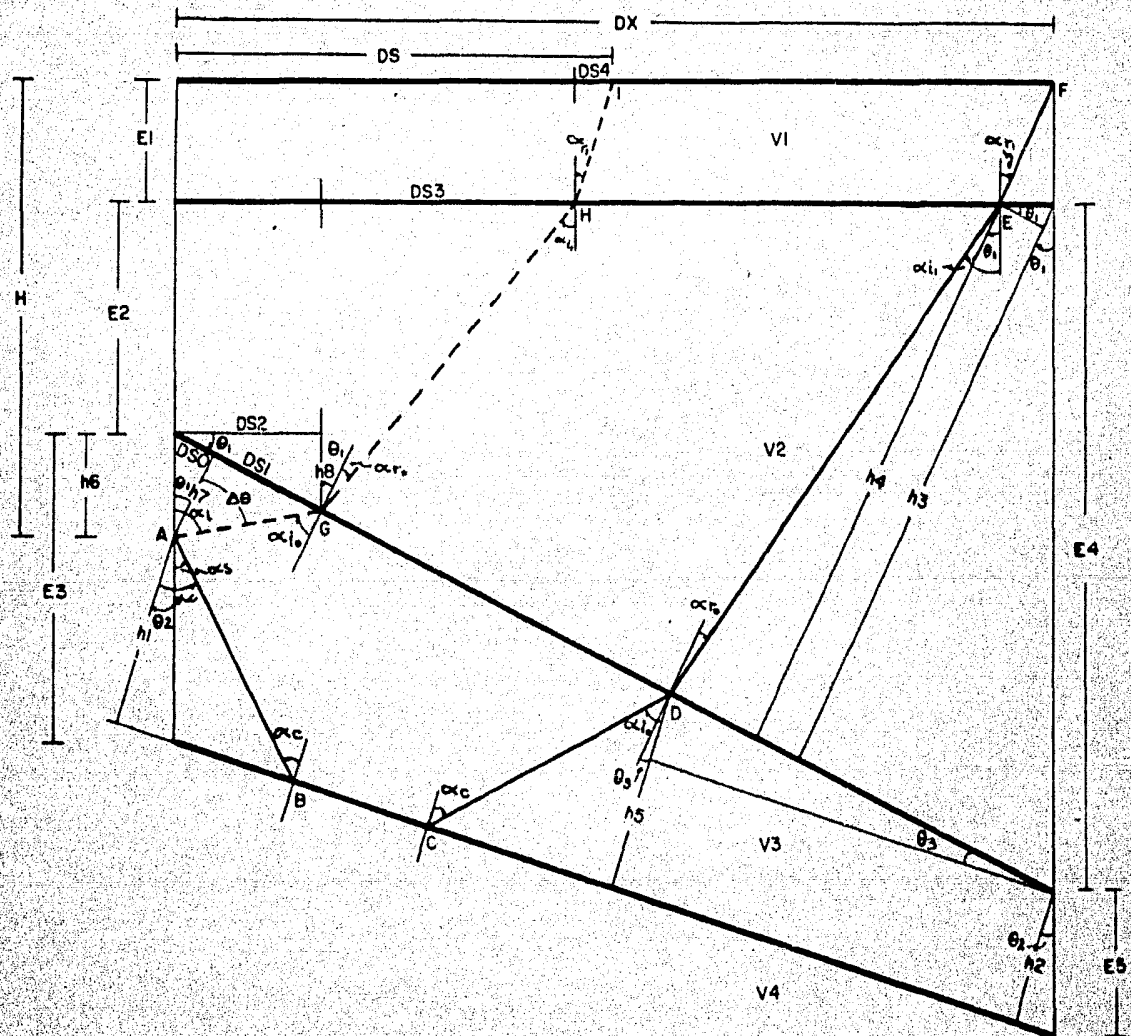


Fig A1

## APENDICE B

### Descripción del uso del programa TVP.FIN

Los datos de entrada al programa, se leen de dos formas: De un archivo en disco y por terminal remota. Los archivos contienen los siguientes datos: Datos de la fuente (coordenadas y profundidad), datos de la estación (coordenadas, distancia epicentral a la fuente, azimut con respecto a la fuente), datos calculados con el modelo standar (angulo de salida del rayo/tiempo de viaje calculado, residual del primer arribo), y tiempo de viaje observado del primer arribo. Todos estos datos se leen directamente de los archivos de salida, generados por el programa HYPO71 para cada uno de los temblores estudiados.

Los datos que lee por terminal remota son: Datos del modelo propuesto (numero de capas, espesores, velocidades de la onda P, echados de las capas) y datos del perfil propuesto (coordenadas, azimut).

A continuación se muestra un ejemplo del dialogo por terminal remota, un listado del archivo grabado en disco y un ejemplo de salida del programa.

OK, SEG #LTW

NUMERO DE CAPAS : N

4

ESPESOR DE LAS CAPAS Y VELOCIDADES: E,V  
5,4,0  
20,4,1  
11,6,9  
999,8,0

ECHADOS DE LAS CAPAS : TETP1,TETP2 (GRADOS)  
0,0,2,0

COORDENADAS DEL PERFILE: RRLAT,RRLON (GRADOS)

17.8,102.0

AZIMUTH DEL FERFIL: AZR (GRADOS)  
214.5CAMBIAR MODELO: TODO=1, NADA=2, PARTE=3, ECHADO=4, TERMINAR=5  
2MANUAL=0 Y POR ARCHIVOS=1  
1ARCHIVO DE SALIDA : (MAXIMO 12 CARACTERES)  
SAL/80/C1ARCHIVO DE DATOS : (MAXIMO 12 CARACTERES)  
LEC/80/REPCAMBIAR MODELO: TODO=1, NADA=2, PARTE=3, ECHADO=4, TERMINAR=5  
5

OK.

## LISTADO DEL ARCHIVO DE DATOS (LEC/80/REP)

DATE	ORIGIN	LAT N	LONG W	DEPTH	MAG	GAF	RMS	ERM	ERZ	Q		
301026	1554	15.40	17-55.80	96+ 9.00	51.00	4.49	118	2.01	5.9	52.0	D	
STA	DIST	AZM	AIN	P-SEC	TPOBS	TPCAL	P-RES	P-WT	S-SEC	TSOBS	S-RES	S-WT
IIT	121.9	352	103	35.70	20.30	18.51	1.79	1.00				
III	147.9	289	100	37.40	22.00	21.66	0.84	1.00				
TFM	150.9	321	99	36.50	23.10	22.02	1.08	1.00				
IIP	176.5	333	97	43.00	27.60	25.15	2.45	1.00	57.00	41.60	-3.17	0.00
IIM	189.1	325	97	44.50	29.10	26.89	2.41	1.00	58.00	42.60	-4.70	0.00
ACX	215.8	237	98	44.10	28.70	29.97	-1.27	1.00				
OKM	221.7	313	95	46.50	33.10	30.69	2.41	1.00				
CRX	229.7	315	95	49.50	34.10	31.68	2.42	1.00	65.70	50.30	-6.08	0.00
IIC	234.5	230	95	49.30	33.90	32.27	1.63	1.00				
TLX	235.3	353	95	49.50	34.10	32.36	1.74	1.00	57.40	52.00	-5.61	0.00
PBJ	335.4	120	93	48.50	48.10	44.70	3.40	1.00				

TCX	523.1	100	92	25.00	69.60	67.87	1.73	1.00
OZC	523.2	104	92	25.00	69.60	67.87	1.73	1.00
CSN	548.2	101	92	28.00	72.60	70.72	1.88	1.00
					63.00	127.60	1.72	0.00

**LISTADO DEL ARCHIVO DE SALIDA (SAL/80/CIV)**

**REPLICA(Fecha y T. Origen): 801026 155415.40 Prof(Km): 51.00 JL=4**

ESTA	DIST	AZ	AI	TOBS	TEAL	PRES	TF	AF	PR
	(Km)	(grados)		(s)	(s)	(h)	(s)	(grads)	(s)
IIT	121.9	352	103	20.30	18.51	1.72	19.99	95.32	0.51
				TET1= 0.00	TET2= 2.26				
	D(2),B2= 20.0	20.0	D(3),B3= 18.4	18.2	M= 6				
III	147.9	289	100	22.00	21.66	0.34	23.06	94.67	-1.06
				TET1= 0.00	TET2= 0.11				
	D(2),B2= 20.0	20.0	D(3),B3= 18.4	18.2	M= 7				
IPM	180.9	321	27	23.10	22.02	1.08	23.59	93.66	-0.49
				TET1= 0.00	TET2= 1.28				
	D(2),B2= 20.0	20.0	D(3),B3= 18.4	21.7	M= 6				
IIP	176.5	333	97	27.60	25.15	2.45	26.86	92.24	0.74
				TET1= 0.00	TET2= 1.72				
	D(2),B2= 20.0	20.0	D(3),B3= 18.4	23.7	M= 6				
IIM	189.1	325	97	29.10	26.67	2.41	29.42	92.09	0.63
				TET1= 0.00	TET2= 1.43				
	D(2),B2= 20.0	20.0	D(3),B3= 18.4	23.1	M= 6				
ACX	215.6	237	96	28.70	29.97	-1.27	31.14	94.64	-2.44
				TET1= 0.00	TET2= 2.12				
	D(2),B2= 20.0	20.0	D(3),B3= 18.4	10.5	M= 7				
OKM	221.7	313	95	33.10	30.69	2.41	32.47	91.81	0.63
				TET1= 0.00	TET2= 0.95				
	D(2),B2= 20.0	20.0	D(3),B3= 18.4	22.1	M= 6				

CRX	229.7	315	95	34.10	31.80	2.42	33.50	91.60	0.60
				TET1= 0.00	TET2= 1.04				
	D(2),D2=	20.0	20.0	D(3),D3=	18.4	22.6	M= 6		
IIC	234.5	330	95	33.90	32.27	1.63	34.21	91.01	-0.31
				TET1= 0.00	TET2= 1.62				
	D(2),D2=	20.0	20.0	D(3),D3=	18.4	25.0	M= 6		
TLA	235.3	353	95	34.10	32.36	1.74	34.44	90.41	-0.34
				TET1= 0.00	TET2= 2.38				
	D(2),D2=	20.0	20.0	D(3),D3=	18.4	27.7	M= 6		
PSJ	335.4	120	95	48.10	44.70	3.40	48.35	91.93	1.75
				TET1= 0.00	TET2= 0.38				
	D(2),D2=	20.0	20.0	D(3),D3=	18.4	18.8	M= 7		
TLX	523.1	160	92	69.60	67.87	1.73	70.25	90.43	-0.65
				TET1= 0.00	TET2= 0.52				
	D(2),D2=	20.0	20.0	D(3),D3=	18.4	23.3	M= 6		
GZC	523.2	104	92	69.60	67.87	1.73	70.15	90.61	-0.55
				TET1= 0.00	TET2= 0.34				
	D(2),D2=	20.0	20.0	D(3),D3=	18.4	21.5	M= 6		
CGN	546.2	101	92	72.60	70.72	1.88	73.12	90.43	-0.52
				TET1= 0.00	TET2= 0.47				
	D(2),D2=	20.0	20.0	D(3),D3=	18.4	22.9	M= 6		

## PARAMETROS DEL MODELO PROYECTADO

ESPESOR (KM)	VELOC. ONDA-P (Km/seg)
5	4.0
20	6.1
11	6.9
999	8.0

TETP1=0.0 TETP2=2.6

RMSI= 1.0386

## PARAMETROS DEL MODELO ESTANDAR

ESPESOR (KM)	VELOC. ONDA-P (Km/seg)
5	5.0
15	6.1
5	6.95
10	7.0
999	8.1

TETP1=0.0 TETP2=0.0

RMSF= 1.8825

### AGRADECIMIENTOS

---

Agradezco al M. en C. M. Rodriguez y al Dr. S. K. Singh por su dirección y críticas en la realización de este trabajo, así como por sus conocimientos y enseñanzas.

Al Ing. J. Figueroa por sus valiosas enseñanzas.

De igual manera a mis compañeros de sismología y amigos: T. Domínguez, E. Nava, C. Gutiérrez, C. Javier, A. Martínez, R. Castro, F. Chávez, C. Urbina, A. Valdés y M. Macías, por su compañerismo y apoyo.

A mis padres: Francisco e Hilda, por su apoyo moral y económico por siempre.

Este trabajo constituye el proyecto 3730 del Instituto de Ingeniería, UNAM, por lo que agradezco a las autoridades y personal del mismo su autorización y apoyo para presentarlo como tesis profesional.

UNIVERSIDAD NACIONAL AUTONOMA DE MEXICO

FACULTAD DE INGENIERIA

DONACIO POR D.G.B.-BC

ANALISIS DE RESIDUALES

EN TIEMPOS DE VIDA PARA TEMBLORES MEXICANOS.

USANDO PRIMEROS ARRIBOS

T E S I S

Que para obtener el titulo de :

INGENIERO GEODISICO

P R e s e n t a r

JAVIER FRANCISCO LERMO SAMANIEGO

MEXICO, D.F.

1984

## INDICE

RESUMEN

INTRODUCCION

1 LA TECTONICA EN MEXICO

2 DATOS

2.1 Recopilacion de informacion necesaria

2.2 Procesado de datos

2.2.1 El Tremblor de Ometepec 1960

2.2.2 El Tremblor de Pachuca Aout 1961

2.2.3 El Tremblor de Huajuapan de Leon 1960

2.2.4 El Tremblor de Petatlan 1970

2.2.5 El Tremblor de Oaxaca 1970

3 ANALISIS E INTERPRETACION DE DATOS

3.1 Localizacion Utilizando Residuales

3.1.1 Localizacion en la Region de Taxco

3.1.2 Localizacion en la Region de Petatlan

3.1.3 Localizacion en la Region de Ometepec

3.1.4 Localizacion en la Region de Huajuapan de Leon

3.2 Determinacion de Modelos Geofisicos Utilizando Residuales

3.2.1 Procesado de Modelos

3.2.1.1 Modelo para el continente

3.2.1.2 Modelo para la corte

3.2.2 Modelos Finitos

4 DISCUSION e CONCLUSIONES

4.1 Localizaciones

4.2 Modelos Continuos

FIGURAS

BIBLIOGRAFIA

APENDICE A

APENDICE B

AGRADECIMIENTOS

Página

1

2

3

4

5

6

7

8

9

10

11

12

13

14

15

16

17

18

19

20

21

22

23

24

25

26

27

28

El proceso de localización de hipocentros mexicanos permitió observar en estaciones nacionales, residuales en tiempos de viaje de los primeros arribos sistemáticos y del orden de Ms. Rodríguez et al. 1988. Con el objeto de obtener, mediante residuales confiables, una estimación de un modelo de velocidades de la corteza continental en la zona de subducción mexicana, se procedió de la siguiente manera:

Se buscaron sismos para los que se tenían estimaciones precisas de sus hipocentros, esto es, más de aquellas réplicas localizadas mediante una red local, para los temblores de Danaca en 1970 (Ms = 7.0), Pitalán 1979 (Ms = 7.0), Huajuapan de León 1980 (Ms = 7.0), Playa Azul 1981 (Ms = 7.0) y Ometepec 1982 (Ms = 6.7). Una selección que considera las réplicas mejor localizadas, de mayor magnitud y con registros claros en las estaciones de SICME; forma el conjunto de datos básicos con el cual se obtuvo el conjunto de residuales. Estos residuales se calcularon con respecto a un modelo cortical utilizado rutinariamente en el Instituto de Ingeniería, el cual idealiza, mediante capas planas, la estructura de la corteza en México.

El uso de los residuales como correcciones para la localización de epicentros en las regiones de Huajuapan de León, Ometepec, Danaca y Pitalán, es óptimo, siempre que se cuente con registros de estaciones cercanas a la costa, ya que de lo contrario la localización con la distribución y densidad de estaciones se sometería a errores. Pueden tener corrimientos preferenciales hacia las estaciones continentales cercanas a estas regiones. La relación de estos residuales, con la distancia y el azimut muestra que el modelo utilizado rutinariamente es rápido ( $\approx 8.5$ ) y con raras anomalías sismáticas ( $\approx 2.0$  s), sugeriendo estas variaciones horizontales de la velocidad y capas inclinadas.

Para minimizar los residuales obtenidos, tanto en las estaciones continentales como costeras, es necesario representar la estructura de la corteza mediante un modelo promedio de capas inclinadas, con espesores de 5, 20 y 11 km, y velocidades de 4.0, 5.1, 6.9 y 6.6 km/s en la linea de costa, e inclinaciones en las dos últimas capas cercanas a 8 y 6 grados.

## INTRODUCCIÓN

La estructura de la corteza continental en México es poco conocida. Algunos estudios obtenidos durante exploraciones y seismología de temblor suelen ser a continuación. Meyer et al. (1958) usando seismología sísmica, determinó un modelo central para el sur de Durango, con un espesor de 16 km y una velocidad promedio de 6.1 km/seg. Valdés (1971), también usando seismología sísmica obtuvo un modelo para la zona norte del Golfo de México, con un espesor de 10 km y una velocidad media de 6.6 km/seg para la superficie. Thiebaut y Lame (1974), usando datos de dispersión de ondas superficiales, estimaron la profundidad de la corteza para el Golfo de México y Centro, obteniendo para fondo un espesor de la corteza de 20 km con una velocidad promedio de 6.8 km/seg. Pfe (1975), estudió las ondas superficiales de los temblores cercanos a Chilpancingo, obteniendo un modelo para la parte central del país, con un espesor de 10 km. Novelo (1980), utilizando la velocidad císmica y la literatura de llegadas de los sismos P y S en cada local, determinó un modelo similar para el centro de México. El punto anterior aparte, para esto mismo fueron desarrollados modelos, utilizando el cálculo de la derivada de tiempos de llegada de los sismos S y Sp y las razones de sus amplitudes, estimando una profundidad de 10 km para la corteza.

Con respecto a las estaciones basadas en rayos de temblor sueltos, se han estimado modelos de la estructura de velocidades de propagación de orden P. Para la región de Cuauhtémoc, 1978, con la localización de las estaciones del temblor de 1968 en mente, se utilizó un modelo que fue propuesto por Novelo et al. (1976), quien consideró los estudios de seismología sísmica de Juan and Pachón (1971), Bellizzi, Bellizzi et al. (1975), y Meléndez et al. (1976), para la determinación de este modelo. En las regiones de Playa Azul y Totonacapan, como de rayos de los temblores de 1961 y 1970, se elaboraron modelos, partiendo del que fue utilizado en las localizaciones de los rayos del temblor de Culiacán de 1973 (Kerris et al., 1975); para la estimación de las estaciones del temblor de 1960, se usó un modelo que utilizó como sustento para los hipocentros, el Boletín Seismológico Preliminar de RESEHAU, Gómez y Mora, 1960.

Como se observa, las profundidades de estos estudios son en gran parte para regiones lejanas, y sobre todo muy dudosas. En realidad no se conoce en detalle la estructura de la corteza en muchas regiones de México.

En este estudio, considerando que los tiempos de arribo consignados para algunas estaciones nacionales, tienen guardadas hasta de 30 (Rodríguez et al., 1968), se determinó la velocidad de propagación de los rayos de temblor en la corteza continental mexicana, para la parte central y norte, y se comparó con los resultados de los estudios mencionados.

analizar un conjunto de residuos confiables, sea el objeto de obtener una estimación del modelo de la retención de velocidad, de propagación de ondas P. Así como, mejorar las localizaciones de epicentro estimadas localmente. Para obtener estos residuos confiables se preparó de la siguiente manera:

Primero se seleccionaron aquéllos también a los que se asignaron hipocentros mediante datos de red local, y se eliminaron todos aquellos claramente en las estaciones de SISMEX. Permitiendo así un criterio de selección que solamente se cumplió en algunas de las reportes de los terremotos de 1960 en Costa Rica. Detalle de los terremotos de 1960, y también en todo el continente se tuvieron estos hipocentros, y se obtuvieron los tiempos de viaje calculados de los sismos considerados en el modelo standar a las estaciones de SISMEX, y se aplicó una sencilla pero lógica rectificación consistente en el tiempo de arribo de los sismos en sus estaciones. Entonces las diferencias de los tiempos observados y de estos tiempos calculados, son un indicador de validez del modelo. El promedio de los resultados para cada estación en la Región de Nicoya es una corrección de tiempos en las estaciones con el objeto de mejorar la localización de epicentro. También, mediante prueba y error se obtuvieron los mejores modelos que mejor se ajustan a las observaciones, y son entonces una identificación más real de la localización de la actividad en Nicoya Central.

## 4. LA TECTONICA EN MEXICO

En Mexico existen la distribucion especial de los volcanes activos, representados principalmente en la Sierra Madre del Sur por el Volcanismo de estos no es perp.<sup>to</sup> (Burchfiel et al., 1978), sinon que puede tratarse de una antigua cultura, evolucionado de las antiguas colonias coloniales del Rio Grande. Aqui se han visto rocas volcánicas en la cima de la Sierra de Gómez, donde se ha visto que las laderas de este volcán son de piedra volcánica y que se extiende entre una distancia considerable de la cima de la Sierra de Gómez, donde se ha visto que el volcánico principal donde la formacion enterrada en el suelo volcánico desplazado segun el sentido de cada diferencia en nombre entre la sierra de Gómez y el volcánico Mexicano, se mencionó.

Los filos de la Sierra Madre Oriental en el norte y oeste son la trinchera norte por la dorsal del Río Grande y sur por la dorsal de Volcán y al norte, norte y al sur, la dorsal de la parte sur (Harms y Venzel, 1978). Dentro de esta hay pasos y los principales son: el paso de la Sierra de Arriaga, la zona de cretacita de este filo con un punto de la Sierra Madre oriental a la Sierra Madre Occidental, que tiene una longitud angular de 1.74 grados en una distancia de cinco kilómetros (Harms y Venzel, 1978).

Lo mas importante es el punto en el que se divide la Sierra Madre Oriental en el norte de Mexico, Tlaxcala y Edomex (Harms y Venzel, 1978). En la Ciudad de México el continente americano asciende de este punto. Los terremotos ocurren sobre todo la parte de los bordes de la costa del norte de Mexico, pero los sismos de mayor magnitud ocurren hacia el noreste de la region de Monterrey, la cual es dividida en varios estados que constituyen la Sierra Madre Oriental (Monthly Notices of Preliminary Determination of Permanent Volcanic Index of International Seismological Service, 1979). Mexico y Edomex (Harms y Venzel, 1978; Llorente y McNeilly, 1984) son uno de los resultados con aceptables (Llorente y Llorente, 1984). Mientras que estudios con 1978 (Kerven et al., 1978) y posteriormente (Valladares et al., 1984), sugieren un cambio de

20 y 15 grados para la inclinación de la zona de Benito Juárez en su parte somera, respectivamente, y con un espesor de 45 km para el ancho de Petatlán, de igual forma para la profundidad. Para el año 1970 se obtuvo una profundidad de 45 km de acuerdo al número N-45-E y anchura de 45 grados longitud que corresponden a la inclinación de aquella zona. Basado por lo anterior los estudios se centraron en dentro de el ancho del modelo.

## 2. DATOS

### 2.1 Recopilación de información registrada

Durante la decadencia vivida entre 1970 y 1980 se registraron en la zona de Petatlán (1970), Huatulco (1971), Mazatlán (1975) y Cancún (1976), Chetumal (1980), Mérida, P. Y. Para todos ellos se instalaron redes locales de sismógrafos, condiciones que dieron la actividad sísmica posterior a los eventos principales. El temblor de Mérida es una fase del presente artículo. Entre 1970 y 1980 se establecieron estaciones sismológicas operaban sismotelémetras del vía de Mérida a Chetumal.

Las localizaciones geográficas, magnitud y magnitud de las réplicas asumidas a et al., 1980 y Zenteno y Valdez, 1980, resaltan a continuación. Mientras que para el temblor de Mérida (1980) y el Boletín sísmológico, de igual manera, para el temblor de 1970 se obtuvieron de dos estudios y de un boletín; Jiménez (1981); Toledo obtuvieron de dos estudios y de un boletín; Quintana et al., 1984; Rodríguez (1980) y el Boletín Sísmológico.

Se localizaron los sismogramas de las cinco estaciones de SisMEX y de AGA que contienen los registros de las réplicas de los temblores seleccionados. Sin embargo,

ambas, sismogramas de las estaciones CHS y UIC de la Red de Chicomaxen así como de la CGM y ZIM. En este se obtuvieron para el temblor de 1969, a diferencia de las estaciones autónomas PGR, CGM y TIC que se obtuvieron para la mayoría de los temblores. Otras estaciones como las de RESEMA, CIMA, PGR y del Servicio Geológico Nacional (NGO), CGM, PGR, SGP, PGR, TIC, entre las que también se les analizó su residual para algunos temblores, solamente se obtuvieron las lecturas directamente de los boletines "Boletín Sismológico Preliminar y Boletín Provisorio". En la figura 4 se muestra la distribución de estas estaciones.

## 2.2 Procesado de datos

Para obtener los residuales de cada región, se buscaron en los sismogramas de SISMEM. Las réplicas de mayor magnitud localizadas con la red local. Estas réplicas fueron leidas minuciosamente, teniendo especial interés en el primer arribo.

Para cada región se crearon archivos con las lecturas del primer arribo, la localización epicentral y la profundidad de las réplicas seleccionadas, así como el modelo de capas planas usado anteriormente en el Instituto de Ingeniería para la localización de hipocentros (ver fig. 3). Esto se realiza con un programa que crea el archivo de lectura adaptada a los formatos y parámetros que necesita el programa HYPO71, (Lee y Lahr, 1971). Dentro de estos archivos se registran los epicentros obtenidos por la red local para cada temblor. A continuación, se corre el programa de localización HYPO71, solamente para que calcule los tiempos de viaje de cada hipocentro a las estaciones de SISMEM y sus estimaciones de base para el análisis de los residuales, tener la media de los registros, y así obtener una estimación del residual mediante la diferencia de los tiempos observados y calculados. Además se estima la media aritmética  $\mu$  y la desviación estándar típica  $\sigma$  para cada estación.

Esta rutina se realizó para cada conjunto de réplicas como se muestra a continuación:

Z.2.1 El Temblor de Guatemala 1982

De un total de 87 réplicas fueron seleccionadas 27, sin embargo solamente 18 de éllas presentan un registro claro en las selecciones de SISMIC Y AUA, especialmente la estación IIP que tiene una ganancia baja. Estas fueron leídas nuevamente y procesadas según la rutina mencionada anteriormente. Los resultados se resumen en la siguiente tabla:

TABLA I

RESUMEN DE LOS DATOS SELECCIONADOS DEL SISMOGRAMA DE GUATEMALA, 1982

Nº	REPLICA	RESIDUALES DEL PRIMER ARRIBO (s)						PROF.	MAG.	LAT	LON
		AUX	III	II	IIP	IM	II				
1	S20e13116044.25	-0.95	-2.70	0.10	0.10	0.00	4.45	20.00	4.14	16.59	90.44
2	S20e1311611.54	-0.70	-1.65	0.10	2.00	0.74	2.05	14.98	0.80	16.36	90.56
3	S20e130812501.97	0.45	0.85	4.15	4.00	0.84	5.15	20.13	4.07	16.18	90.44
4	S20e131107511.74	0.02	0.37	4.30	4.45	0.10	4.15	25.37	5.13	16.51	90.40
5	S20e131103101.51	0.50	0.50	2.75	4.52	0.20	4.10	21.76	4.70	16.49	90.40
6	S20e132023241.12	-0.20	-1.60	2.10	4.10	5.31	5.54	22.66	0.25	16.56	90.44
7	S20e142042751.75	-0.60	0.35	0.05	4.35	0.42	4.55	28.85	5.03	16.36	90.30
8	S20e13172416.86	1.05	2.72	3.64	4.35	0.56	4.35	20.97	5.00	16.63	90.47

FUENTE: Localización, profundidad, magnitud y tiempo de origen tomados de Nava (1984).

De estas se escogieron cinco réplicas (4,1,5,7,8) que presentan residuales semejantes, excepto que las otras tres. El análisis de esta diferencia sugiere que un temblor presenta diferentes fases en los primeros arribos, estas fases son visibles en el sismograma de acuerdo a la magnitud del temblor; a la sensibilidad del sismógrafo, representándose en el tiempo de arribo observado, ya que pueden confundirse fácilmente con el ruido sistémico, en tal orden se puede estar observando una fase posterior y así mismo un tiempo de arribo observado mayor, y con ello un residual

8

mayor que la que la distancia hipocentral sea menor. Como se han escogido sismos que se registraron solamente y cuando las magnitudes de éstas similares, como se muestra en la TABLA 1, la diferencia no tiene origen en estas dos causas, ya que sus magnitudes son menores; por lo tanto los residuales serían mayores. Probablemente el error está en la localización reportada por la red IQUIL.

En la TABLA 2 se muestran las veces medicas seleccionadas, con los residuales de otras estaciones que se obtuvieron después del análisis de la TABLA 1, ademas la estimación de la media aritmética  $\bar{m}$  y la desviación estandar  $s_{\bar{m}}$  para cada una de ellas. El primer valor representa el promedio de los residuales calculados, y el segundo valor es de una idea de la calidad del residual. Como se puede observar, la dispersión de la gran mayoría de los residuales es menor de 0.35 segundos.

TABLA 2

	RESIDUALES DEL PRIMER ARRIBO															
	ACK	III	III	IP	III	IIIC	IIA	IIA	ETH	CRS	CRA	CSC	DZC	TKX	MHO	COM
3	0.48	0.63	4.15	1.62	2.34	5.15	-	-	-	-	-	-	2.88	1.68	-	1.78
4	0.32	0.37	3.26	4.42	5.31	4.65	5.70	10.2	-	1.62	5.12	2.17	1.93	-	1.58	2.36
5	0.56	0.66	3.73	4.63	5.36	4.72	5.21	10.4	-	2.35	-	-	2.48	1.02	-	2.00
7	0.30	0.35	3.58	4.05	4.43	4.58	-	-	3.02	5.27	3.81	-	1.88	2.17	1.51	1.73
8	1.63	3.72	3.74	4.05	4.53	4.30	4.15	-	2.74	2.71	2.77	2.12	2.04	1.46	2.32	4.74
$\bar{m}$	0.55	3.61	3.89	4.04	4.50	4.08	5.61	10.3	5.7	2.54	4.54	2.16	2.18	1.71	1.61	2.05
$s_{\bar{m}}$	0.26	0.21	0.23	0.21	0.18	0.21	0.41	0.11	0.17	0.58	0.12	0.04	0.08	0.35	0.19	0.26

Gráficoando estos residuales vs distancia hipocentral y azimut para todas las estaciones de las cinco repeticiones, sobresalen dos tendencias definidas (fig. 1). El residual aumenta con la distancia a medida que las estaciones se alejan de la linea de costa, teniendo su máximo en la estación IIIC. En el residual se mantiene en un rango de 1 a 3 segundos para las estaciones de la costa (ETH y del sur-oeste de Mexico) (DZC, CSC, CRS, CRA), esto se contraria con la segunda estación (fig. 1), en la cual, si se toma como base a IIIC, que se encuentra muy lejos al norte (mismo apartir de

Los resultados de los cálculos realizados, se puede observar que la medida que deviene ó crece el modelo, el resultado disminuye, cuando nos acercamos hacia las estaciones de la costa.

Los primeros tendencias sugeridas por la identificación son en el orden de la figura visual, mediante el modelo estandarizado simple, figura 10 "RAPID", pues el modelo expresa los primeros resultados obtenidos en la figura están ilustrando. Los resultados para un modelo más "LENTO" son en términos de las estimaciones que se encuentran dentro de este tendencia. Sin embargo, para la segunda tendencia las residuales se van haciendo negativos, cosa que viene más adelante. Por lo tanto variaciones laterales en la estructura de la costa ya que no se ven de acuerdo con las estimaciones dadas en la gráfica.

#### 2.2.2 El Temblor de Playa Anil 1981

De un total de 26 registrados se seleccionaron 14 que presentaban registros en la red de SISMEX, dos de ellos con registros claros.

Al procesar estos episodios se encuentra una diferencia bastante notable en los residuales para los sistemas RAPID y LIM, véase TABLA 2. Se leyeron nuevamente los seismogramas de los seis sitios, para mejorar la localización sin embargo, no se pudo mejorar para tener el mínimo de estaciones locales que para localizarlos. Entonces no se puede asegurar una buena localización, por lo que se decidió emplear este temblor del estudio.

TABLA 2

## FLUJA AÑIL, 1960

#	REPLICA	ESTIMACIONES DEL PRIMER ARRIBO (s)						PROF.	MAG.	LAT	LON
		AUG	III	III	III	III	III				
1	801026012447.05	6.07	6.22	6.25	6.25	6.25	6.25	10.1	18.00	21.26	171.87 160.25
2	8010260176239.00	1.22	1.27	1.28	1.28	1.28	1.28	11.0	11.65	21.22	171.77 160.12

## 2-3-3 El Temblor de Huajapan de León 1960

De las 17 réplicas que fueron designadas en el tránsito de Tlalpujahua (1960), cuatro fueron rechazadas ya que no cumplían la técnica de evento medido. Se procesaron primero los seis sismos ya que su coincidencia temporal reportados por Jiménez (1960) hacen útil usar la red local para su estimación y aquella del Boletín Sismológico del GEM (1960, #4) que utilizó sismos de la red local, las estaciones regionales para dar los resultados. Los resultados del procesado se presentan en la TABLA 4.

TABLA 4

## HUAJAPAN DE LEÓN, 1960

#	REPLICA	ESTIMACIONES DEL PRIMER ARRIBO (s)						PROF.	MAG.	LAT	LON FUENTE
		AUG	III	III	III	III	III				
1	8010260125746.40	6.25	6.25	6.25	6.25	6.25	6.25	12.37	51.00	3.90	17.92 78.10 B
2	8010260125746.10	-1.31	1.72	1.17	2.02	2.02	1.09	53.00	3.90	17.83	78.07 T
3	801026155746.10	-1.64	1.47	0.97	2.42	2.42	1.37	52.70	4.42	17.97	78.17 J
4	801026155746.10	-0.93	2.52	1.02	3.23	3.14	2.42	51.00	4.49	17.96	78.17 B
5	801026155746.10	-1.27	1.79	0.34	2.15	2.11	1.62	51.00	4.43	17.93	78.15 T
6	801026164606.00	-1.62	1.41	0.71	2.52	2.52	1.38	51.50	4.07	17.94	78.06 J
7	801026164606.00	-1.57	1.79	1.05	2.11	2.11	1.17	51.00	4.07	17.93	78.07 B

4. 56163316400000	11.11	0.61	1.50	1.00	0.80	00.00	4.07	17.96	80.10	1	
5. 561633113000.00	11.11	0.61	1.50	2.11	2.00	1.50	40.00	3.62	17.96	80.12	B3
10. 561633113000.00	11.11	1.30	1.00	2.00	2.00	1.61	40.00	3.62	17.94	82.11	I

55 Localización, profundidad, magnitud y tipo de origen. Gómez Gracida y Gómez (1983) y Toledo y Nava (1983) describen la localización, profundidad, magnitud y tipo de sismo tomados Toledo y Nava (1983).

De la comparación de estos resultados, sobresale los de Toledo y Nava (1983) en tres aspectos: profundidad, magnitud y tipo de origen. En cada una de las autoraciones, sin embargo, los de Gómez et al. (1983) también coinciden con estos para la profundidad y el tipo de sismo, salvo para la cuarta réplica.

En comparación a la réplica que tiene residuo menor, también se lo puede referir a los dos sismos propuestos para el temblor del 1960, ya que no tienen variaciones notables ni en la localización ni en la profundidad y magnitud. Lo cual sugiere nuevamente que el sismo del 1960 ocurrió en la localización reportada por Toledo y Nava (1983).

En la Tabla 5 se observan otras diferencias entre los tres residuos reportados, correspondientes a los tres de Toledo, con profundidades de 0.5 a 5.7 km y magnitudes (Mw) de 4.0 a 4.1 respectivamente. Estas fueron obtenidas registrando la misma réplica tanto con el sismo de 1960 y el sismo de 1980 que presentaban registro en SISMEMA. Además se consideró los residuos de los sismos de 1960 que también registraron estas señales. De modo que no tiene asignado un valor, es porque solamente se tiene una estimación del residuo. Notese que para los demás seis valores es menor de 0.50 segundos.

## Tabela 10

## RESULTADOS DEL PRIMER TREMOR

	AGA	EFF	EMI	LIP	LEM	LEL	CRO	CLA	LEM	CAN	OCE	TUR	VHO	PBI	OMN
1	-1.34	2.04	1.61	2.46	1.75	2.29	2.33	1.52	-	-	-	-	-	-	2.36
2	-1.52	1.76	1.19	2.50	2.16	2.17	2.30	0.72	2.50	-	1.15	-	-	-	2.02
3	-1.37	1.79	0.34	2.45	2.11	1.83	2.04	1.62	1.78	1.74	-	3.40	2.41	-	-
4	-1.36	1.60	1.31	2.16	1.63	-	-	-	1.17	-	-	-	-	-	1.44
5	-2.11	1.60	0.72	2.17	1.51	-	-	-	-	-	-	-	-	-	1.82
6	1.03	1.80	0.48	1.10	1.45	1.55	2.10	2.05	1.73	1.44	0.87	3.10	2.01	-	-
7	0.37	0.14	0.08	0.14	0.16	0.16	0.18	0.02	0.21	-	0.29	-	-	-	0.38

Analizando las graficas de residuales vs distancia hipocentral y azimut, se observaron algunas particularidades propias de este temblor, que se diferencia de los otros por tener su localizacion dentro del continente, ver fig 4. Por esta razon la primera grafica (fig 5) no muestra claramente las tendencias del temblor de 1982, pero si guarda cierta similitud con lo que respecta al decremento del residual en las estaciones mas cercanas a la costa (VII, VIII, XII), disminuyendo este, hasta ser negativo para la estacion de la costa (X). Respecto a las estaciones mas alejadas de la costa, vemos que el residual se mantiene en un rango de 1 a 3 segundos.

El movimiento tambien se hace notorio en la segunda grafica (fig 9), donde se observa que partiendo desde los cero grados hacia la derecha o derecha, se llega a tener un residual negativo (menor a -0.00).

Los residuales de las estaciones Tijuana, Oce y CAN del sureste de Mexico, mantienen el mismo comportamiento que en el de 1982. Ademas las distancias apicentrales a estas estaciones son semejantes, pero con diferente direcccion, NE para el de 1982 y SE para este. Esta caracteristica es interesante, porque se puede inferir que para estas estaciones las trayectorias de viaje de los rayos que salen de las regiones de estos dos temblores, pasan por estructuras similares pero con diferente profundidad, ya que el promedio de los hipocentros en estos dos temblores son diferentes, de 16.8 para el temblor de la costa de 1982 y de 55.4 para este temblor de 1980, ver fig 4.

Nuevamente en este temblor, se tiene el problema de ajustar un modelo de ondas planas "Lento" para mejorar los residuales de las estaciones alejadas de la costa, pero los residuales de la estación en la costa verifican sugerirán, un modelo de ondas planas "Rápido". Esta discrepancia se tratará de resolver en el siguiente capítulo con modelos corticales de ondas inclinadas.

#### 2.5.4 El Temblor de Petatlan 1979

Para este temblor se localizaron 166 sismos, de los cuales se seleccionaron los reduciéndose a 10, por presentar los registros más claros. Estos fueron procesados siguiendo la misma rutina de los temblores anteriores. Una comparación de sus residuales se presentan en la TABLA 6.

TABLA 6

PETATLAN, 1979

#	REF IDA	RESIDUALES DEL PRIMER ARIBO (s)						PROF	MAS	LAT	LONG
		AIA	III	IM	IP	IIC	III				
1	790314220503.94	-	2.01	3.16	2.06	2.03	1.73	18.91	3.71	17.43	101.40
2	790316000453.63	2.92	3.55	3.91	3.09	2.64	4.60	28.65	3.75	17.43	101.47
3	790316103030.94	1.35	2.99	3.73	3.16	2.23	2.20	25.26	3.64	17.34	101.38
4	790316103201.90	1.11	2.73	3.51	2.83	2.31	2.24	21.79	3.67	17.37	101.27
5	790318201200.63	-	2.77	3.37	3.12	2.65	2.63	24.65	4.57	17.42	101.10
6	790320002751.60	1.66	2.69	3.76	2.97	2.74	2.42	30.00	4.38	17.34	101.44
7	790320103024.45	0.63	2.42	4.77	2.54	1.82	2.99	22.51	3.45	17.30	101.34
8	7903202120010.61	2.05	3.72	3.89	4.02	4.14	3.91	30.60	3.60	17.74	101.65
9	790321717204.60	-	2.17	3.69	2.71	2.65	1.83	12.64	4.11	17.46	101.49
10	7904060044717.63	-	1.69	2.66	1.84	1.87	0.78	24.35	3.84	17.36	100.99

FUENTE: Localización, profundidad, magnitud y tipo de origen. Zúñiga y Valdez (1980)

De esta tabla se observaron cinco réplicas (J, A, S, B, F) que presentan residuales semejantes a diferencia de las otras donde que varían en uno o dos segundos más allá o más bajo en algunas de las seis estaciones. Como estas variaciones no muestran nada sistemático en la localización, profundidad y magnitud de tales réplicas con respecto a las escogidas, se supone que el error se encuentra en la localización reportada por la red local.

La TABLA 7 resume los residuales de los cinco réplicas, junto con los resultados a otras estaciones que se pudieron anexar. También, al igual que los otros temblores, la desviación estándar típica de la gran mayoría de las estaciones es menor a 0.4 segundos.

TABLA 7

## RESIDUALES DEL PRIMER ARRIBO (S)

	AEX	III	IM	IIP	III	IP	CRN	VHO	PBJ	OKM	COM	SAO	PGO
1	-	2.01	3.26	2.86	2.20	1.76	-	-	2.15	-	3.67	4.85	2.08
4	1.12	2.73	3.81	2.81	2.11	2.04	-	-	-	-	3.28	-	2.27
5	-	2.77	3.39	3.17	3.05	2.62	-	4.14	-	4.49	3.57	-	-
6	1.88	3.03	3.78	3.97	3.24	3.42	3.48	-	1.91	4.94	3.67	4.61	-
8	-	2.47	3.87	2.91	2.60	1.85	-	-	-	-	2.96	-	1.86
<i>M</i>	-1.89	2.58	3.54	3.06	2.50	2.14	2.82	4.44	2.68	4.26	3.22	4.73	1.97
<i>O</i>	0.97	0.24	0.18	0.15	0.23	0.40	-	-	3.12	0.12	0.27	0.12	0.06

Al analizar las gráficas de residuales vs distancia hipocentral y azimut, se encontró que la primera tendencia observada en el temblor de 1962, no se cumple en las estaciones de III, IIP y III por disminuir sus residuales al aumentar la distancia dentro del continente. A direcciones de AEX, III, OKM, CRN y IIM que si siguen este tendencia, ver figs 10 y 11, con respecto a las estaciones de la costa (PGO) y cercanas a ésta (SAO, VHO). Los residuales se mantienen en el rango de 1 a 3 segundos en distancias cercanas a São Paulo, cosa comprobada aproximadamente con los residuales observados para el temblor de 1962 en dirección casi paralela a la costa y a distancias similares.

Hay que resaltar que el residuo promedio de las estaciones del centro del país es menor en un segundo que los de 1960, aun cuando estas (1979) se encuentran mas alejadas. Siguiendo nuevamente variaciones laterales en la estructura de la cortina.

Para corregir en gran medida los residuos de este temblor, se requiere de un modelo "MENOS LENTO" que acual del temblor de 1960, pues los residuales de este no tiene el problema tan critico con las estaciones alejadas de la costa como es el caso del temblor de 1960, ni con las estaciones de la costa como el temblor de 1960.

#### 2.2.5 El Temblor de Oaxaca 1970

Los replicas de este temblor se analizaron siguiendo el mismo procedimiento del Andador de 1960, pues tambien se tienen diferentes localizaciones para una misma replica.

En base a lo anterior, se baso en la comparación entre los resultados de Quintanar et al., 1984, quienes utilizaron la técnica de evento mestizo con la red mundial. De estos se seleccionaron ocho replicas que presentaban registros claros, y que ademas se encontraban reportados en el Boletín Sismológico del SEN (V-62, #4) quienes utilizaron las estaciones de la red local y las regionales para dar sus hipocentros. Otras dos replicas (6, 7 de la TABLA 6) de las ocho seleccionadas tambien se consignan en el estudio de Rodriguez (1980), quien utilizo solamente la red local para dar sus hipocentros. La comparacion de estos resultados se pueden observar en la siguiente tabla.

TABLA 6

OAXACA, 1973

Nº	REFLEXA	RESIDUALES PRIMER ARRIBO (s)					PROF. May	MAG. (MBO)	LAT. N.	LONG. W.	FUENTE
		IT	II	III	IVP	VIM					
1	781136620115.86	8.15	6.10	10.1	10.8	12.2	33.00	4.80	15.52	96.71	BS
2	781136620119.42	8.41	5.47	11.1	11.8	11.2	31.80	4.10	15.74	96.82	LQ
3	781136674898.46	4.91	4.68	8.31	10.7	9.94	18.00	4.80	15.77	96.71	BS
4	781136674845.56	1.36	1.55	5.91	7.42	6.15	35.20	4.40	14.76	96.36	LQ
5	7811366104285.80	6.48	7.51	11.2	12.9	11.8	14.00	4.20	15.78	97.24	BS
6	7811366104210.06	4.93	4.49	8.62	9.81	9.86	36.80	4.20	15.96	96.99	LQ
7	781202632115.66	4.94	5.94	4.66	5.16	4.08	18.00	4.70	15.56	96.60	BS
8	781202632116.23	8.41	8.80	4.05	4.80	3.95	38.40	4.70	15.59	96.71	LQ
9	781202632601.70	3.82	3.76	4.46	5.07	4.08	17.00	4.80	15.49	96.73	BS
10	781202632604.55	4.41	3.66	4.41	4.95	3.91	21.20	4.40	15.63	96.70	LQ
11	781205254132.66	3.50	3.70	4.97	5.22	4.61	26.00	4.80	15.52	96.76	BS
12	781205254136.19	2.89	1.85	4.47	4.95	3.72	36.80	4.80	15.84	96.57	LQ
13	781205254132.96	2.67	3.60	4.74	5.44	4.85	11.71	4.70	15.63	96.88	MR
14	781208100143.46	7.78	6.50	10.3	10.8	9.25	17.00	4.70	15.78	96.73	BS
15	781208100146.12	0.29	3.88	7.32	7.84	6.47	36.70	4.70	15.76	96.67	LQ
16	781208100143.16	0.27	5.91	8.58	9.16	7.65	11.51	4.70	15.70	96.80	MR
17	781208100143.56	6.17	2.67	7.44	9.72	8.45	30.00	4.80	15.40	96.64	BS
18	781208100149.86	4.10	2.87	8.17	10.3	9.84	32.30	4.60	15.31	96.58	LQ

BS Localización, profundidad, magnitud y loc. de origen. Boletín Sismológico (1978)

LQ Localización, profundidad, magnitud y loc. de origen. Quintanar et al., 1984

MR Localización, profundidad, magnitud y loc. de origen. Rodríguez (1986).

Los residuales para este temblor presentan gran variación para una misma

replicas. Esto puede ser provocado por la primera causa descrita en el temblor de 1962, ya que los intensidades para las replicas I, II, III y 4 son menores que los restantes, esto puede significar que sus residuales sean mayores. A esto se le puede incluir la incertidumbre del horizonte en las localizaciones reportadas por Quintanar et al. 1964 y el Boletín. Sin embargo, de acuerdo a la observación de las replicas 4 y 7 las localizaciones del Boletín están más acordes con las de Rodríguez (1964), tanto en el tiempo de origen como en la localización epicentral. Por esta razón y sobre todo por los resultados más contrastantes de las resistencias mayores (fig. 5), se decidió usar las cuales fueron tomadas por el Boletín seismológico del CEN.

Estos residuales se componen en la TABLA 20, donde con las otras estaciones que tuvieron registros, la desviación estándar típica, fue de 0.8 segundos para la mayoría de las estaciones.

TABLA 20

II	RESIDUALES DEL PRIMER ARRIBO EN S (SEGUNDOS)									
	III	III	III	III	CAN	9940	FED	QAM		
7	4.64	3.84	4.64	3.14	4.64	0.85	0.85	4.28	2.26	
9	3.76	3.76	4.14	3.64	4.00	-	-	4.70	2.43	
11	3.56	3.76	4.44	3.84	4.31	1.94	0.37	0.53	4.58	2.32
$\mu$	3.58	3.76	4.11	3.40	4.30	1.93	0.37	0.42	4.50	2.52
$\sigma$	0.34	0.26	0.12	0.41	0.31	-	0.30	0.12	0.20	0.31

De acuerdo con lo mencionado en la TABLA 12 las tendencias mencionadas en el temblor de 1962, donde aparte de las estaciones VIII y IX se puede apreciar el aumento del residual a medida que las estaciones de SILOEX y QAM se alejan de la linea residual, donde como siempre la estación III por un ligero aumento en sus residuales. Si se comparan los residuales en las estaciones del sureste del país para los diferentes sismógrafos observados CAN y QAM para este temblor, se nota que estos solamente reflejan la variación del residual con la distancia.

La figura 10 muestra que las distancias similares y variaciones anámatas entre los RMs de grupo en los tramos significativos en los residuales asignadas a la parcela III e III, este último se puede observar en la fig 7 para el temblor de 1962 en los tramos señalados.

Al igual que el temblor de 1962, para mayoran estos residuales, se necesita un modelo de crecimiento más "LLENTO".

Finalmente, se obtuvieron los resultados para los cuatro temblores estudiados, ver TABLA 10 y fig 11.

TABLA 10.

FECHA	TIPO DE TIERRA	LAT. N.	LONG. W.	PROF. M	Rm	RMS	CRE	ER2	0	ML	MB	ES	ES
1962-03-05	II	30.50	-108.50	0.00	1.61	0.10	2.8	2.8	0	4.0	4.0	4.7	4.7
820613 11-7 52.00	III-IV	30.50	-108.50	0.00	5.13	0.11	1.0	0.0	0	5.0	5.0	5.5	5.5
820613 11-7 52.00	IV-V	30.50	-108.50	0.00	4.72	0.12	1.1	1.5	0	4.8	4.8	5.3	5.3
820614 10-14 52.00	III-IV	30.50	-108.50	0.00	5.34	0.10	0.8	1.1	0	5.2	5.2	5.7	5.7
820614 17-24 52.00	IV-V	30.50	-108.50	0.00	5.35	0.15	1.4	1.2	0	5.2	5.2	5.7	5.7
821024 10-25 48.50	II	30.50	-108.50	0.00	5.35					5.2	5.2	5.7	5.7
821026 10-27 48.50	II	30.50	-108.50	0.00	5.36					5.2	5.2	5.7	5.7
831004 15-16 48.50	II	30.50	-108.50	0.00	4.70					4.8	4.8	5.3	5.3
831004 15-16 48.50	III-IV	30.50	-108.50	0.00	4.78					4.8	4.8	5.3	5.3
831004 11-12 48.50	IV-V	30.50	-108.50	0.00	5.38					5.2	5.2	5.7	5.7
831103 10-11 48.50	II	30.50	-108.50	0.00	5.38					5.2	5.2	5.7	5.7
796314 30-31 48.50	II	30.50	-108.50	0.00	15.41	0.08	1.5	2.8	0	14.7	14.7	14.7	14.7
796314 10-31 48.50	II	30.50	-108.50	0.00	15.47	0.11	1.5	1.2	0	14.9	14.9	14.9	14.9
796318 20-21 48.50	II	30.50	-108.50	0.00	4.57	0.08	2.2	1.2	0	4.8	4.8	4.8	4.8
796319 9-10 51.00	II	30.50	-108.50	0.00	4.58	0.11	1.6	2.1	0	4.7	4.7	4.7	4.7
796319 17-20 51.00	II	30.50	-108.50	0.00	12.84	0.17	1.1	5.4	0	14.7	14.7	14.7	14.7
781202 30-31 48.50	II	30.50	-108.50	0.00	15.00					14.9	14.9	14.9	14.9
781202 30-31 48.50	III-IV	30.50	-108.50	0.00	8.00					14.8	14.8	14.8	14.8
781205 20-24 51.00	II	30.50	-108.50	0.00	25.00					24.7	24.7	24.7	24.7

Estos 14 replicados se analizaron en conjunta, comparando residuales obtenidos a distancias distintas entre sí, también, entre 1979. Los residuales obtenidos en direcciones opuestas o diagonales a la linea de continente, tienen valores menores que aquellos obtenidos para direcciones alejadas de la presente cultura minera que son aquellos cercanos a 1000 km teniendo PEG y AGO cerca. Por ejemplo, a la distancia hipocentral de 1040 km tenemos PEG y AGO cerca. Por ejemplos, a la distancia hipocentral de 1040 km tenemos a TIP y TIC comparado con TIP y TFM, para distancias cercanas a 1000 km tenemos TIP y TIC comparado con GAT. Una anomalía que se puede observar en la figura es en la distancia hipocentral de 1040 km, donde AGO se encuentra contra TIP (la figura es en la distancia hipocentral de 1040 km, donde AGO se encuentra contra TIP y GAT); existiendo entre ellos una diferencia de residual de casi 4 segundos. Otra y otra; existiendo entre ellos una diferencia de residual de 10 segundos a las distancias mas cercanas (entre 1000 km y 1040 km para los residuales del temblor de hipocentro de 1979) que es 1040 km para los residuales del temblor de 1979 comparados con los de 1982 y 1983, donde TIP y TIC se comparan con TGA y TIN. TIP 1979 comparadas con las de 1982 y 1983, donde TIP y TIC se comparan sistemáticamente los con TIC y TIN con TIP respectivamente. Como se observa, sistemáticamente los residuales del temblor de 1979 son menores que los temblores de 1982 y 1983. Se recordando que estos se registraron a distancias similares. Esta situación indica que en la cultura minera se producen obtenciones en distancia 1000 km donde PEMEX habia el mayor de los residuales que se producen en aquellas en dirección SE hacia 160° también de 1982 y 1983, véase fig. 4.

Por último, las dos anomalías anteriores así como la dependencia azimutal, pueden deberse a dos causas fundamentales: 1. Causas inclinadas y 2. Variaciones de velocidad horizontal. (Nuttli y Saitz, 1982).

### 3. ANALISIS E INTERPRETACION DE DATOS

Con los residuales que se estimaron en el capítulo anterior, se cumple con el primer objetivo de este estudio. En la primera parte de este capítulo, vamos a utilizarlos para corregir los tiempos de viaje calculados, a cada una de las estaciones a las que se les estima su residual, y así velocizar el temblor principal y las replicas seleccionadas para cada uno de los temblores estudiados.

### 3.1 Localización Utilizando Replicas.

Utilizando el programa HYPO/1 para la localización, se procesaron varias veces el temblor principal y las replicas seleccionadas para cada uno de los temblores estudiados, con el propósito de hacer resaltar algunas características que se presentaron en el proceso de localización.

Para obtener estas autorizadas, dentro de cada corrida, se grafica el azimut y la distancia de cada localización con respecto a uno de referencia. Siendo para los temblores principales, las localizaciones publicadas en el catálogo de Singh et al., 1984; Toledo y Nava (1984) y Nava (1984), mientras que para las replicas se tomó la localización seleccionada en el resultado anterior, figura 16a.

Todos los temblores y sus replicas fueron procesados con una profundidad de prueba que en este caso fue la profundidad del temblor o replica de referencia. Esto se hizo con el objeto de disminuir una variable,

#### 3.1.1 Localización en la Región de Jaxaca.

Este resultado es:

En la figura 16b sin residuales y con epicentro de prueba a la estación más cercana, que en este caso son VHO e PRH según la localización del temblor o replica, ver fig 16a.

En esta se observa que tanto el temblor principal como las replicas tuvieron un corrimiento de azimut hacia el NE. Esto se debe primordialmente a las estaciones cercanas (VHO, PRH), que al no tener una cobertura animal de estaciones cercanas, desplaza la localización hacia estas dos únicas estaciones ver fig 16a.

b) Sin residuales, con epicentro de prueba a la estación más cercana, pero

ahora sin VHO o PEL, ver fig. 16d.

Mas notablemente la localización cuando se suelta la lectura de la estación VHO o PEL, sin embargo, aun se tiene algo de dispersión.

c) Con residuales y con epicentro de prueba a la estación mas cercana, pero con las lecturas de VHO o PEL, ver fig. 16e.

Mas notable que observa un corriente mucho mayor que el primero hacia el NNE, esto se explica de la misma forma que el primero, con la diferencia que ahora es mayor por el somiento del residuo. Esto muestra la influencia de la distribución de las estaciones, y la idea de estar a lo largo de la costa.

d) Con residuales, con epicentro de prueba a la estación mas cercana y sin las lecturas de VHO o PEL, ver fig. 16f.

Al igual que en el segundo caso, las localizaciones mayores, pero con la diferencia que ahora se corrige al tiempo de viaje calculado con los residuales, como se puede ver en el temblor principal y en las réplicas 3 y 4. La diferencia en promedio de la distancia epícentral es de 8 kilómetros y no existe azimut preferencial.

### 3.4.2 Localización en la Región de Estación

Esta region se produce tres veces:

a) Sin residuales, con epicentro de prueba a la estación mas cercana, que en este caso son III e XII, ver fig. 17a.

Muyavamente se observa la influencia de la estación cercana. Por ejemplo, las Replicas 1 y 4 se apartan de las demás, porque tienen lectura de la estación AÑA, mientras que las otras tres tienen lecturas de la estación III (ver fig. 173).

Hay dos residuales y con epicentro de prueba a la estación más cercana (AÑA, III), fig. 175.

Mejoró la localización para la 1 y para el temblor principal, por la corrección del residual al tiempo de viraje calculado, mientras que para las otras tres replicas mantienen su corrimiento y distancia.

El caso residual y con epicentro de prueba cercano al área de replicas (fig. 176).

Con esta técnica se pudo controlar mejor la localización de las replicas 1, 2 y 3, que no tienen la estación AÑA de la costa, mientras que las otras se mantienen sin cambios apreciables. El epicentro de prueba se sitúa en las cuatro direcciones geográficas, y a distancias de 117 y un grado del centro del área de replicas, sin observar variaciones importantes en los segmentos.

### 3.1.3 Localización en la Región de Ometepec

Esta región se procesó tres veces:

1) sin residuales y con epicentro de prueba a la estación más cercana, en este caso es la estación AÑA o VHU, ver figs. 18 y 18c.

En este caso, las dos estaciones mencionadas están provocando el corrimiento hacia el SSW, pero como ahora se tiene una mejor cobertura de estaciones, este corrimiento se puede mejorar usando PESO ALIMURAL, que es otra de las alternativas

para la localización de un temblor.

b) Sin residuales, con epicentro de prueba a la estación mas cercana y con peso armado. (ver fig. 18b).

Muy poco las localizaciones, sobre todo el primer temblor principal (P1).

c) Con residuales y epcentro de prueba a la estación mas cercana. (ver fig. 18c).

Muy pocas se observan las localizaciones, al no utilizar residuales, siendo notable la diferencia con respecto a la anterior. Se procesó tambien con peso armado, sin embargo no cambiaron las localizaciones.

#### 3.4.4 Localización en la Región de Huixapan de Mato

En esta sección se presentan los resultados para la localización de un temblor.

a) Sin residuales y con epcentro de prueba a la estación mas cercana (IIT), ver fig 19a.

Esta region se procesó dos veces:

i) Sin residuales y con epcentro de prueba a la estación mas cercana (IIT), ver fig 19ay.

ii) Con residuales y con epcentro de prueba a la estación mas cercana (IIT), ver fig 19az.

Como se puede observar este temblor presenta menor dispersión en sus localizaciones, y no se distinguen ninguna dirección preferencial como las anteriores, esto se debe a la buena distribución de estaciones alrededor del área de replicas, ver fig 19z.

b) Con residuales y con epcentro de prueba a la estación mas cercana (IIT), ver fig 19bz.

Este resultado muestra que es recomendable la utilización de este sistema, ya que contiene una alta exactitud. Sin embargo, las distancias entre los vértices en el cuadro de confianza están muy lejos, lo que hace difícil observarlos con detenimiento en el telescopio principal, no siendo deseable que los vértices se alejen más de 1000 mts. Esto se debe al hecho de que el límite de visión del telescopio es una de las principales causas del error, ya que el límite de visión P es fundamental en el ajuste del tiempo de viaje de un telescopio. Por tanto, el algoritmo implementado corrige el tiempo de viaje para minimizar sistemáticamente las coordenadas del telescopio.

### A.2. Determinación de Modulos de Distancia Utilizando Residuos

En la sección anterior se presentó la determinación de los modulos de distancia entre los vértices de acuerdo a la ecuación (1). La ecuación (1) es una ecuación polinomial de grado 4, la cual tiene cuatro soluciones reales y una compleja. Una vez que se obtienen las soluciones, se procede a calcular la raíz cuadrada de la ecuación (1), la cual es la raíz real positiva.

En la figura 1 se presentan los resultados obtenidos para la determinación de los modulos de distancia entre los vértices de acuerdo a la ecuación (1).

En la figura 1 se presentan los resultados obtenidos para la determinación de los modulos de distancia entre los vértices de acuerdo a la ecuación (1).

Se ha visto que existen diferentes métodos y técnicas que pueden ayudar a inferir la estructura de la redteca. Aquí se obtiene los residuos encontrados para poder ajustar los modulos a varios según lo permitan las observaciones.

El procedimiento consiste con el modulo estandar de RMEL, que es el que fue utilizado en todo el análisis anterior de los datos. Se le va a modificar teniendo en cuenta que en todo el cuadro de los vértices encontrados los residuos se dividen en norte-central y sur-central, y por tanto, si se obtiene de los diferentes modulos obtenidos en México. Estos criterios lograron del modulo por separado: Uno para el continente y otro para la cota en el caso de la tierra media. Así que la profundidad del Moho. Para desviarse y para medir de un modulo de cota inclinada, unir estos dos, en uno hibrido que se basa en la regla de cálculo.

Este proceso se realiza utilizando el programa TUPEN, el cual encuentra el tiempo mínimo de viaje de la vaya diferente orientación ATU, el ángulo de salida infinito, el nuevo residuo CPE y el RMA, desde cada uno de los residuos encontrados con el modulo estandar RMEL, y con el modulo propuesto RMEL. Además, da información sobre la vaya donde se encuentra la recta entre los ángulos iniciales de las dos últimas capas RMEL, así como, los especiales debajo de la recta.

de acuerdo a la velocidad media. Por último, se procedió al cálculo el tiempo de viaje de subida (1977) a la Bahía de Banderas. Esta información se encuentra en un archivo que contiene el programa con su nombre dado por el usuario, es decir *subida.bas*.

En el resultado de este algoritmo las estimaciones del tiempo de viaje entre la playa de Puerto Vallarta y la bahía resultó de cuatro horas.

Para el cálculo de los períodos transitorios en el sistema marítimo, se procedió a la elaboración de un modelo de difusión tridimensional para la difusión que afecta al tránsito del personal en el producto para su posterior uso en respectiva Bahía de Banderas, así como en la longitud de playas. Los datos que se usaron fueron obtenidos en la mayoría de las autoridades náuticas existentes. El resultado de estos datos se discute a continuación.

En la figura 10 se observa la velocidad media de los buques que realizan el tránsito entre la Bahía de Banderas y la costa, así como la velocidad media de los buques que realizan el tránsito entre la Bahía de Banderas y el continente.

#### 5.2.1.1 Modelos para el contingente

En la figura 11 se observa la velocidad media de los buques que realizan el tránsito entre la Bahía de Banderas y la costa, así como la velocidad media de los buques que realizan el tránsito entre la Bahía de Banderas y el continente.

Para el modelado, se tomó una serie de datos de la tabla de Huayapan de Baja de 1983, para comprobar que los resultados cuantitativos finalizan dentro del continente y facilitar el manejo de los mismos con respecto a la costa. Estas características son más apropiadas, ya que los vientos del primer arriba llegan a los extremos opuestos. Estos datos se vienen para tener las variables de los diferentes cuadros sobre la disponibilidad del buque.

En la figura 12, se puede observar que existe una tendencia en aumentar la velocidad media de los buques continentales, dados de acuerdo a una velocidad de 5.4 km/hora con pendiente constante, siendo de 0.1, es decir una velocidad media que se incrementa poco a poco con una velocidad promedio de 4 km/hora, mientras que hacia abajo también tienen una velocidad media con velocidad entre 0.4 y 0.6 km/seg, siendo una variación menor que la anterior. La respuesta a la velocidad del semiperíodo, visto que varía con el sistema de los tránsitos, tanto para los modelos de la costa como del continente.

En base a las observaciones mencionadas, y recordando que se requería de un modelo que tuviera el cumplimiento al mejor estándar de la siguiente manera: se aplicó la capa de 7,5 cm de espesor, se redujo la velocidad de S. a 4 km/sec y, la del sonido se aplicó a 3,0 km/sec. También se tomó la profundidad del Moho a 15 km. Los errores de la segunda y tercera capa se variaron de tal manera que minimizaran los resultados. Estos valores se aplicaron en la figura 70 y en la TABLA 14, donde se identifican los datos utilizados específicamente. De todos estos curvas, la que muestra la mayor parte de observaciones es aquella que representa el modelo continental con los espesores de 70 y 15 km. Curva 70.

TABLA 14

## MODIFICA CORTICAL DE CON CAJAS PLANAS

## PRUEBAS CON EL TEMBLOR DE 1960

RMSE(60)=1.3605 RMSE(79)=3.0094

MODELO 1	MODELO 2	MODELO 3	MODELO 4	MODELO 5	MODELO 6
E - Vp S - 4.0 3.4 4.0 2.0					
10 12 14 16	10 12 14 16	10 12 14 16	10 12 14 16	10 12 14 16	10 12 14 16
RMS=1.11260	RMS=1.2294	RMS=1.3099	RMS=1.1681	RMS=0.911652	RMS=1.1673
				RMS=0.790=0.7760	

## PRUEBAS CON EL TEMBLOR DE 1960

RMSE(62)=4.0586 RMSE(79)=3.8283

MODELO 5	MODELO 7	MODELO 8	MODELO 9
E - Vp S - 4.0 3.4 4.0 2.0			
10 12 14 16	10 12 14 16	10 12 14 16	10 12 14 16
RMS=2.1661	RMS=2.0690	RMS=2.0186	RMS=2.0724
		RMS=1.783=1.8112	

## PRUEBAS CON LOS TEMBLORES DE 1962 Y 1970

MODELO 10		MODELO 11	
E	$\nu_E$	E	$\nu_E$
5	1.0	5	1.0
10	2.1	10	2.1
15	3.0	15	3.0
20	3.9	20	3.9

standar:

E = espesor de las capas en kilómetros  
Variancia cuadrada de la media P en kilómetros

RMSp = RMS del residual obtenido con el modelo propuesto para todas las estaciones.

RMSPe = RMS del residual obtenido con el modelo standar para todas las estaciones.

Para observaciones donde se tiene un temblor en la costa, como el de 1962, este modelo repite ese temblor, como se observa en la figura 21. Por tal razón se tiene que modificar. Bajando la profundidad del Moho, ya que variaciones de los espesores no dan resultado. Para encontrar la profundidad óptima del Moho, se ensancha el espesor de la segunda capa cada dos kilómetros, hasta llegar a los 50 kmvar. Tabla 11 y fig 21, obteniendo un resultado satisfactorio con el modelo representado por la curva C en la fig 21.

Utilizando el primer modelo obtenido curva G, fig 20, se analizaron los residuales correspondientes al temblor de 1970. La figura 22 muestra que mediante el modelo anterior también se puede minimizar estos residuales. Igualmente, utilizando el segundo modelo curva G, fig 21, las observaciones del temblor de 1970 se satisfacen.

El hecho de que modelos diferentes, resulten del análisis de temblores con diferente localización, es una evidencia mas de que hay variaciones laterales en la estructura de la velocidad.

### 3.2.1.2 Modelo para la costa.

Para encontrar el modelo para esta parte del continente, se utilizaron los temblores de 1979 y 1983, por tener registros de algunas estaciones en la costa, como son: AGX, ZIM, POC y SDO. Ver fig. 14.

Siguiendo el procedimiento anterior, se calcularon los tiempos de viaje para el temblor de 1983, con un modelo que tiene las mismas velocidades que el del continente (modelo 5, TABLA III), pero con una profundidad del Moho a 35 km (modelo 10, TABLA III), ya que los residuales de las estaciones en la linea de costa (AGX, ZIM), requieren de un modelo mas rapido, sin embargo, es necesario bajar a 35 km la profundidad del Moho, para encontrar un acuerdo entre los residuales de las dos estaciones. Ver fig. 14, entre 10 y 11.

Este modelo (Moho a 35 km) tambien mejora los residuales de las estaciones AGX, POC y SDO en el temblor de 1979 (ver fig. 22, modelo costa).

### 3.2.2 Modelo Final

La diferencia de profundidades del Moho en la costa y en el continente, asi como, las discrepancias entre los modelos encontrados para 1979 en comparacion con aquellos de 1979 y 1983, sugieren la necesidad de unirlos todos ellos mediante modelos hibridos de region analizadas.

El programa TYP.FTM utiliza el modelo de la costa en una linea paralela a ella, los anchos de las dos ultimas capas y el azimuth ~~X~~ (ver fig. 4). A continuacion calcule para cada epicentro o estacion los pesos correspondientes. El azimuth utilizado es de 21.5 grados, ya que este corresponde a la direccion promedio perpendicular a la linea de costa.

Para cada ocurrencia que se presenta, se compara si los espesores bajo la altitud en el LIM son los mismos que aquellos de los modelos encontrados para el continente. Los espesores encontrados para las dos últimas capas, en las regiones de Petatlán y Oaxaca, son 0.0 y 1.8, y para las regiones de Chiapas y Chiapas-Tepic son 1.0 y 2.7, (ver TABLA 12). Los resultados obtenidos se representan en las figs. 34 a 25. El modelo híbrido resulta ser un promedio entre aquéllos del continente y de la costa.

TABLA 11

## MODELOS CORTICIALES CON LÍNEAS INCLINADAS

## MODELOS HÍBRIDOS

OAXACA	CHIAPAS
E Vp	E Vp
S 4.0	S 4.0
20 6.1	20 6.1
11 6.9	11 6.9
7 8.0	7 8.0
TETP1=1.0	TETP1=1.0
TETP2=2.7	TETP2=2.7

RMS=1.5512  
RMSP=3.3323

HUATULCO	PETATLÁN
E Vp	E Vp
S 4.0	S 4.0
20 6.1	20 6.1
11 6.9	11 6.9
7 8.0	7 8.0
TETP1=0.0	TETP1=0.0
TETP2=1.6	TETP2=1.6

RMS=1.5512  
RMSP=3.0094

## MODELOS FINALES

OAXACA	CHIAPAS
E Vp	E Vp
S 4.0	S 4.0
20 6.1	20 6.1
11 6.9	11 6.9
7 8.0	7 8.0
TETP1=0.0	TETP1=0.0
TETP2=2.4	TETP2=2.4

RMS=1.09522  
RMSP=3.3323

HUATULCO	PETATLÁN
E Vp	E Vp
S 4.0	S 4.0
20 6.1	20 6.1
11 6.9	11 6.9
7 8.0	7 8.0
TETP1=0.0	TETP1=0.0
TETP2=2.4	TETP2=2.4

RMS=0.7729  
RMSP=3.0094

### Donde:

- E = amplitud de los sismos en Kilometros
- Vp = velocidad de la onda P en Kilometros
- RMSI = RMS del residual obtenido con el modelo propuesto para todas las estaciones
- RMSPI = RMS del residual obtenido con el modelo standard para todas las estaciones
- TETPI = sechado de la segunda capa del modelo propuesto
- TETPPI = sechado de la tercera capa del modelo propuesto

Una manera de minimizar la parte residual es incrementando los sechados encontrados hasta llegar al RMSI menor, sin considerar la profundidad que alcanza al Moho. Los sechados encontrados para las regiones de Oaxaca, Petatlan, Huajuapan de León y Cuernavaca son respectivamente: 0.1, 0.27, 0.6, 4.7; G.R., Z.G. y G.S. en los modelos tridimensionales (figs. 40 a 42 y TABLA 12). Estos modelos representan el mejor ajuste a las observaciones (ver RMSI).

## 4 DISCUSION Y CONCLUSIONES

### 4.1 Localizaciones

En el capítulo anterior se analizo el uso de los residuales para la localizacion de temblores, resultando optimo para las cuatro regiones estudiadas; sin embargo, la distribucion y densidad de estaciones seismologicas bajo el paralelo 21 de Mexico, es el factor principal en tener en cuenta para localizar un temblor con esta tecnica, ya que si no se cuenta con registros de estaciones cercanas a la costa, la localizacion puede tener errores mas graves, hacia las estaciones continentales cercanas a estas cuatro regiones. Una manera de resolver este problema en la region de Oaxaca, fue excluyendo temporalmente la estacion cercana VMO o PDL, mientras que para la region de Petatlan se fija un epicentro de prueba cercano al area de replicas. Se

debe resultar que no se tome en cuenta la profundidad de los temblores en todo este análisis.

#### 4.2 Modelos Contínuos

En base a las inferencias teóricas y a los modelos de velocidad de la carta se convenció para México, se determinaron las velocidades que se asignan a los modelos continentales y a los ríos. Los errores de éstos se ajustaron de tal manera que minimizaran los residuales observados, para después unir estos, en dos modelos hidráulicos con vértices en las elevaciones casas de 0.0, 1.2 y 1.6, y 7 para las regiones de Pachuca, Minas y de Leon y Tlaxco, respectivamente.

Investigando los efectos de los criterios para minimizar los residuales sacrificando la profundidad del río. Los efectos óptimos RMSE mínima fueron 0.6, 2.0, 0.6, 1.7, 1.1 y 0.9, 0.1 para las regiones de Hidalgo de Leon, Pachuca, Gómez y Querétaro respectivamente.

Hay que resaltar que fueron los criterios a los efectos que sus variaciones en estudios posteriores se pretende varíe independiente la velocidad, con lo que se lograra controlar mejor la profundidad del río.

Con respecto a la unidad de estos modelos se puede obtener lo siguiente: Hay una gran variabilidad de establecimientos entre las velocidades, ríos y efectos que se ajustan a las observaciones de los residuales, sin embargo, estos se acercan a medida que se obtienen mayor información geográfica y geotectónica del área en estudio.

Fig. 1. Entomofagia, función del sonido bacteriano y distribución de soldados antívoros (representado con triángulos invertidos).

Fig. 2. Esquema esquemático de la segmentación de la pista de Gobos en la subdivisión bajo la placa Andina.

Fig. 3. Actividad sísmica entre 1951-1960, con datos obtenidos del Boletín Información sísmica Preliminar del Instituto de Investigación.

Fig. 4. Distribución de entomofagos etnológicos que crecen en México y su relación con los sombreros estudiados. El animal  $\chi$  es el de una línea perpendicular a la costa.

Fig. 5. Modelos propuestos para la estructura de vegetación de propagación de ondas P, en diferentes regiones del país.

Fig. 6. Relación entre las residualas obtenidas y la distancia hipsocentral en la región de Quetzaltenango.

Fig. 7. Relación entre los residuales obtenidos y el animal en la región de Quetzaltenango.

Fig. 8. Lo mismo que la fig. 6 pero para la región de Huajapan de León.

Fig. 9. Lo mismo que la fig. 7 pero para la región de Huajapan de León.

Fig. 10. Lo mismo que la fig. 8 pero para la región de Retalhuleu.

- Figs. 11. Lo mismo que la fig. 7 pero para la region de Peltlan.
- Figs. 12. Lo mismo que la fig. 8 pero para la region de Ometepec.
- Figs. 13. Lo mismo que la fig. 9 pero para la region de Oaxaca.
- Figs. 14. Sismogramas tipicos de la region, utilizadas registradas en diferentes estaciones de la Red de Sismos. La claridad de los primeros arribos fue una de las criterios de selección.
- Figs. 15. Comparacion de residuos obtenidos en distancias iguales. Las distancias epicentrales designadas se encuentran con la tolerancia de 10 Km., ver texto.
- Figs. 16. Relacion escalar entre los azimutes de los temblores analizados y las estaciones utilizadas para las velocidades.
- Figs. 18-19. Distancias de azimut y distancias epicentrales del temblor principal y las replicas para la region de Oaxaca.
- Figs. 17. Lo mismo que la fig. 16.
- Figs. 17a-17b. Diferencias de azimut y distancias epicentrales del temblor principal y las replicas para la region de Peltlan.
- Figs. 18a-18b. Diferencias de azimut y distancias epicentrales del temblor principal y las replicas para la region de Ometepec.

Fig. 13. Lo mismo que la fig. 12.

Fig. 14(1). Diferencias de acimut y distancias epicentrales del temblor principal y los replicantes para la region de Huajuapan de Leon.

Fig. 14(2). Reducción de los residuales en la region de Huajuapan de Leon, probando diferentes espesores para la segunda y tercera capa (sin considerar la suma de estos), con las velocidades propuesta (ver TABLA II). Las curvas de la 1 a la 6 representan cada una de las pruebas, y se observa que el modelo 3 con espesor de 20 m. es el mejor (ver TABLA II).

Figs. 21. Reducción de los residuales en la region de Ometepec.

Probando diferentes profundidades en el modelo 3 (ver TABLA II), variando el espesor de la segunda capa y conservando los espesores de la primera y tercera capas de 7 y 9 m. (TABLA II), la curva 6 representa aquella con espesor de 14 m. Así misma, mediante las curvas 10 y 11, se representan los resultados que se ajustan mejor a las observaciones de la figura 19, obteniendo la 11, con espesor de 8, 10 y 11 m. en la primera, segunda y tercera capa, respectivamente (ver TABLA II).

Fig. 22. Comparacion de los residuales, para diferentes modelos en la region de Petatlán. Los modelos de la costa y del continente, con aquellos representados con los numeros 6 y 11 en TABLA III; mientras que el modelo hibrido y el final, fueron obtenidos variando los espesores de las dos ultimas capas del modelo de la costa (ver TEPI, TEP2; TABLA II).

Fig. 23. Comparacion de los residuales, para diferentes modelos en la region de Ometepec. Los modelos de la costa y del continente, con aquellos representados con los numero 11 y 12 en la TABLA III; mientras que el modelo hibrido y el final, fueron obtenidos variando los espesores de las dos ultimas capas del modelo de la costa (ver TEPI, TEP2; TABLA II).

Fig. 24. Lo mismo que la fig. 23 pero para la region de Ometepec.

Fig. 25. Lo mismo que la fig. 24 pero para la region de Huajuapan de León.



## BIBLIOGRAFIA

- Boletin Sismologico
  - Publicado por el Instituto de Geofisica, a traves del Servicio Sismologico Nacional (IGN).
    - V. ed. No 4, 1968.
    - V. ed. No 1, 1972.
- Boletin Sismologico Preliminar
  - Publicado por el Instituto de Investigaciones Matematicas Aplicadas y Computacionales (IMAC), a traves de la Red Sismologica Mexicana del Afrente Continental (RESMAC).
- Burback, V., G. Fiditich, M.B. Pennington, & T. Matumoto (1964)
  - Seismicity and Tectonics of the subducted Cocos Plate.
    - J. Geophys. Res., envuido.
- Castro, R. (1970)
  - Un modelo de la corteza terrestre para el Sur de Mexico mediante el uso de sistemas profundos.
    - Tesis Preparatoria, Facultad de Ingenieria, U.N.A.M.
- Dean, B.W. & CH.H. Davis (1970)
  - Focal mechanism solutions and tectonics for The Middle America Arc.
    - J. Geol. Vol. 78, pp. 111-120.
- Demantini, (1972)
  - Sedimentacion del Cinturon del Eje Neovolcanico Transmexicano.
    - Resumen del Symposium sobre Evolucion Tectonica de Mexico, Mexicali, B.C.N.
- Dobrin, H.S. (1972)
  - Introduction to Geophysical Prospecting.

- McGraw-Hill, Inc., U.S.A.
- Eaton, J.P., 1980, HYPOLAYR, a computer program for determining hypocenters or localizations of earthquakes in an earth consisting of uniform flat layers over a half-space, Open file report, U.S. Geological Survey, pp. 1-158.
- Fried, J.B., 1970, The crust and upper mantle of central Mexico, Geophys. J. Int., Avtr., 1969, V.16, pp. 459-499.
- Hales, A.L., 1970, Crustal and upper mantle structure from the region of the Gulf of Mexico, Bull. Soc. Mexicana, V.32, No. 1.
- Hanks, T.C., 1972, Subduction at the Coahuila-Frontera and deep active fracture zone of Mexico, Geol. Intern., V.17, pp. 14-30.
- Havskov, J., C.J. Finch & G. Nunez, 1982, Geometry of the Benito Juarez in the Tehuantepec area in southern Mexico, Geol. Intern., V.21, pp. 225-230.
- Havskov, J., C.J. Finch, E. Nava, J. Dominguez & M. Rodriguez (1982), Playa Azul, Michoacan, Mexico, earthquake of 25 October, 1981 (Mag.7.5), Bull. Seism. Soc. Amer., V.72, No. 2, pp. 449-457.
- Hedges, G.E., J.R. Nation & R.F. Meyer (1975), Seismic refraction observations in southern Mexico, EOS, V.56, No. 8, pp. 180.

Information by kind of mining

Publicada por el Instituto de Ingenieria del I.P.N. a traves del sistema de  
Informacion Geodeticometria de Mexico (SIGME).

Edwards, R. 1970.

The geodetic solution (ray) tracing in a laterally heterogeneous  
vertical earth.

J. Geophys. Res., 75, No. 22, pp. 3615-3620.

Schmittner, J. 1961

Lecturas Interiores. Instituto de Ingenieria, U.N.A.M.

Stein, W. H. y J. C. Lahr. 1970.

"HYPO71" (Revised). A program for determining hypocenter, magnitude and first motion pattern of local earthquakes. Technical Report, USGS, Denver, Colorado, Report 75-011, U.S. Geological Survey, p. 114.

Sta. Reynell, V. y E. McNamee. 1970.

Latitude distribution and subduction of seismic and ridges in the middle America subduction zone.

J. Geophys. Res., 75, 2001.

Meyer, R. P. y J. C. Mearns y D. F. Woodard. 1970.

"Seismic determinations of crustal structure in the central plateau of  
Mexico."

Trans. Am. Geophys. Union, 51, pp. 1595.

Minster, J. B. y T. H. Jordan. 1970.

"Present day plate motion parameters." In: "Geodynamics," Vol. 1,  
J. Geophys. Res., 75, 1970, pp. 3131-3154.

Motherwell, L. 1969.

Textbook on the Caribbean and Middle America regions from tectonic  
mechanisms and seismology.

Geol. Soc. Am. Bull., 80, pp. 1021-1034.

- Mooney, W.H., R.P. Myers, C.R. Heiles, C. Domínguez y S.T.R. Lewis (1975). Refracted Waves across a leading edge: Observations at Pacific sheets in Southern Mexico. Eos, U.S.A. No. 56, pp. 452.
- Muñoz, F. (1972). The Mexican volcanic belt: Structure and tectonics. Geol. Intern., Vol. 12, pp. 55-60.
- Nava, E. (1964). Estudio de los temblores de Coatepec del 1 de junio de 1963 y sus implicaciones. Tesis Preparatoria, Facultad de Ingeniería, U.N.A.M.
- Nevado, G.M. (1969). Sismocidio producido en el sur de México. Tesis Preparatoria, Facultad de Ingeniería, U.N.A.M.
- Patterson, R. (1970). Program individual de la actividad sísmica en la Ciudad de México. Geog. Pol., Vol. 14, No. 17, pp. 15-24-34-42-43.
- Penou, L., J.C. Maillié, J. González, A. Del Castillo y E. Chávez (1975). The 29 November 1974, Oaxaca Earthquake: Foreshock activity. Geol. Intern., Vol. 12, pp. 26-29-30.
- García, L., L. Penou y J. González. Variaciones espacio-temporales de la sismocidio en la región costera de Oaxaca de 1950 a 1971 (emb. 4, 3). En preparación.
- Pavez, A., A. González, L. Munguía, A. Nava, P. Vernon y D.N. Boone (1975).

- Locations of aftershocks on the Oaxaca earthquake using smoked paper recorders and digital event recorders.  
Bull. Intern. V.17, pp. 341-347.
- Rodríguez, M., Brune y G. Lomnitz (1979). Source mechanism and aftershock study of the Colima, México earthquake of January 13, 1973.  
Bull. Seism. Soc. Am., V.69, No. 6, pp. 1819-1840.
- Rodríguez, M., J. Lerma y E. Nava (1982). Sismocidados en México durante 1981 y 1982.  
Memoria del VI Congreso Nacional de Ingeniería Sísmica, pp. 39-48.
- Rodríguez, M. (1980). Análisis preliminar de las réplicas del terremoto de Oaxaca, ocurrido el 28 de Noviembre de 1973. Usando la coda.  
Tesis de Maestría en Ciencias, CICESE, Ensenada Baja California, México.
- Singh, S.L. (1971). Informes internos, Instituto de Geofísica, U.N.A.M.
- Singh, S.L. y M. Rodríguez (1984). A catalog of shallow earthquakes of Mexico from 1980 to 1981.  
Bull. Seism. Soc. Am., V.74, pp. 267-279.
- Singh, S.L. y J. Lerma (1984). Habilidades de los sismógrafos mexicanos para informar temblores.  
Bull. Intern. enviado.
- Show, G.B. y P.L. Fisher (1981). Middle America trench: tectonic-interaction studies.  
Geol. Soc. Am. Bull., V.72, pp. 721-730.

- Thatcher, R. y J.N. Brune (1970).  
Surface wave and crustal structure in the Gulf of California region.  
Bull. Seism. Soc. Am., Vol. No 60.
- Toledo, V.R. y A. Nava (1983).  
Ondas de placa y el sismo de Huajuapan de León de 1980.  
Comunicaciones formales IIMAS, U.N.A.M., Serie Naranja No. 330, pp. 1-65.
- Valdes, L., R.P. Meyer, R. Zuniga, J. Havskov, y otr. Singh (1982).  
Analysis of the Pecatlan aftershocks: numbers, energy release and  
asperities.  
J. Geophys. Res., v. 87, No. 12B, pp. 8819-8827.
- Zuniga, R.R. y C.M. Valdez (1980).  
Análisis de las replicas del temblor de Petatlán del 14 de Marzo de 1972.  
Tesis Profesional, Facultad de Ingeniería, U.N.A.M.

## APENDICE A

Calculo del tiempo de viaje para un rayo refractado y directo en un modelo

vertical de capas inclinadas

El programa TWR.PTM desarrollado para este estudio, se inicia con los algoritmos propuestos por Eaton (1969), los cuales fueron modificados según las necesidades del estudio. A continuación, se muestran las ecuaciones para el tiempo de viaje de un rayo directo y refractado, con fuente en la tercera capa, para un modelo vertical de tres capas sobre un semiespacio, estando las dos últimas inclinadas, véase fig A1.

De la fig A1, se conocen los siguientes datos: D1, H, E1, E2, V1, V2, V3, V4,  $\theta_1, \theta_2$ .

Las incógnitas son: tiempo de viaje del rayo refractado (TWR) y tiempo de viaje del rayo directo (TWD).

Condiciones: V1 = V2, V3 = V4

b. Desarrollando el TWR viene (continua en la fig A1)

c) Determinación de los ángulos de incidencia y refractados

Usando la ley de Snell y el concepto de ángulo crítico, de la fig A1 se tiene:

$$\alpha_c = \operatorname{sen}^{-1} V3/V4$$

$$\alpha_s = \alpha_c - \theta_2$$

$$\alpha_{i_p} = \alpha_c + \theta_3 \quad \text{donde} \quad \theta_3 = \theta_1 + \theta_2$$

Ahora si  $\operatorname{sen} \alpha_{i_p}/V3 = \operatorname{sen} \alpha_c/V4$  entonces:

$$\alpha_{r_p} = \operatorname{sen}^{-1} V3/V4 \text{ siendo } \alpha_{r_p} < 1$$

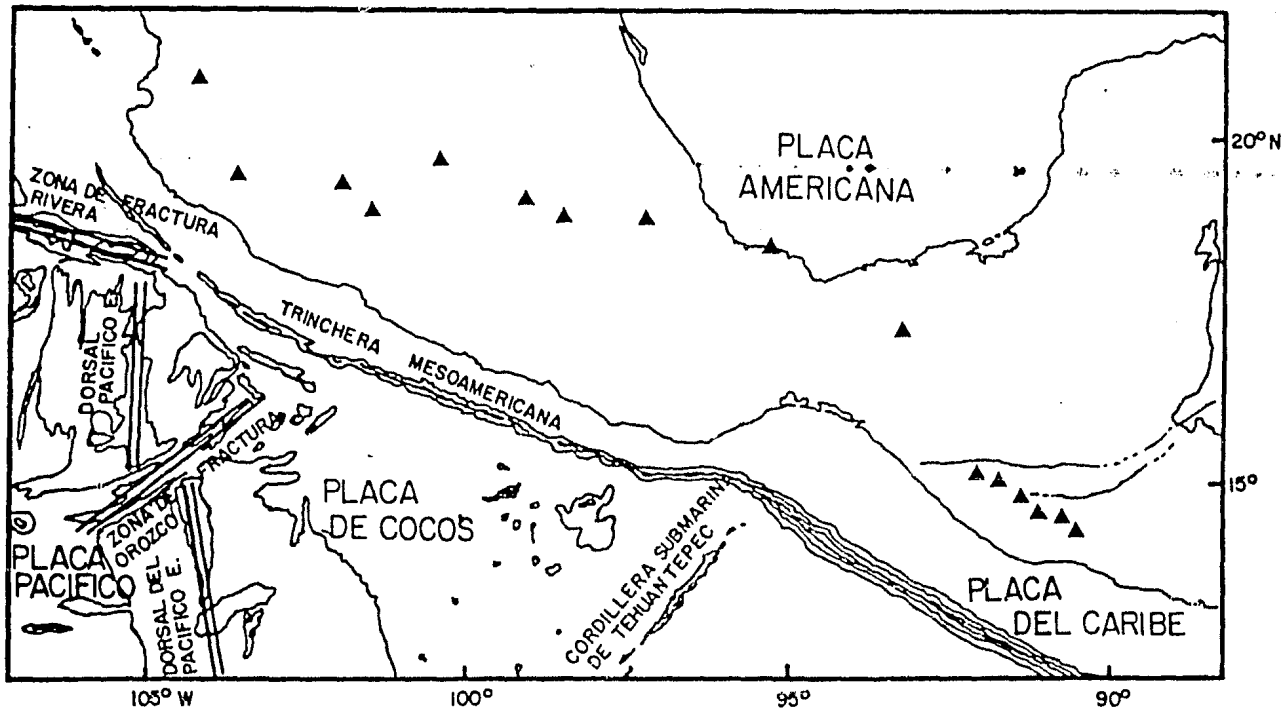
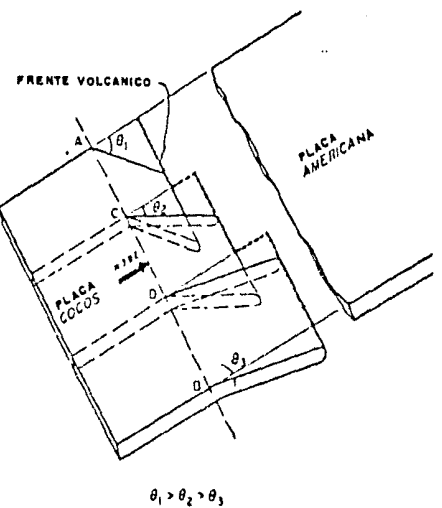
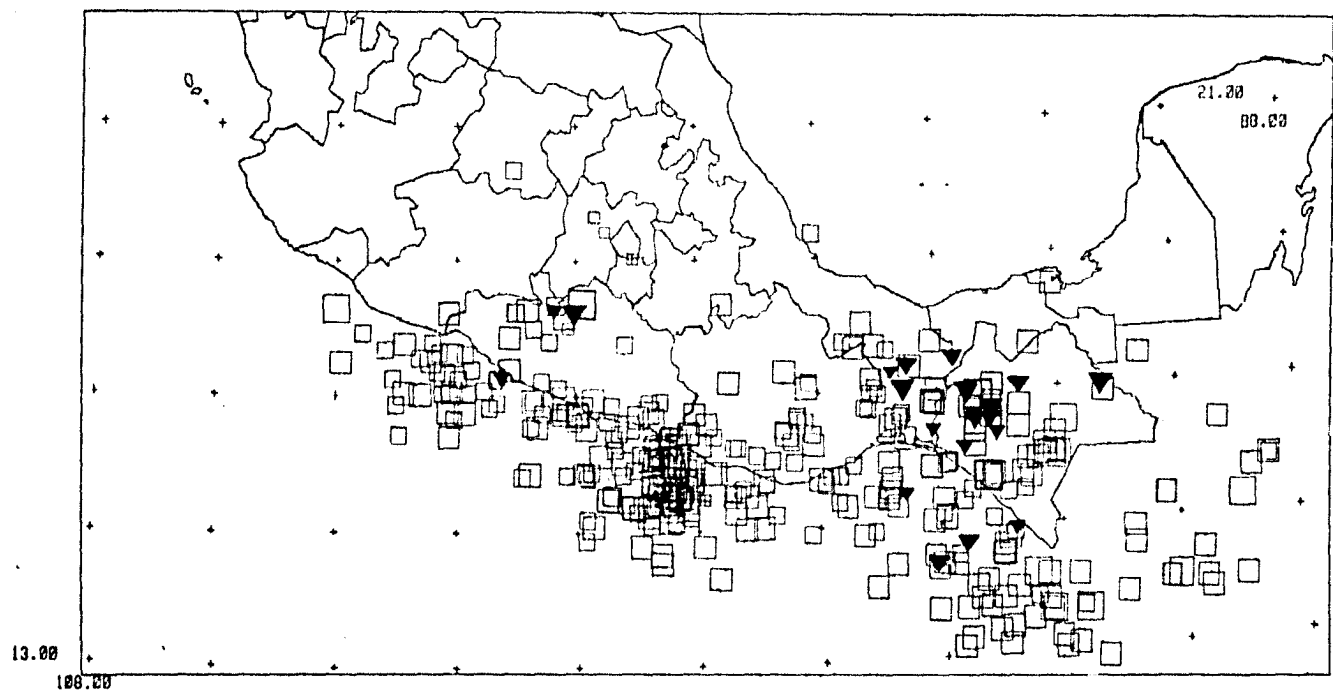


Fig 1



**Fig 2**

Fig 3



PROFUNDIDAD HASTA 60 KM

- $M < 3$
- $3 < M < 4$
- $4 < M < 5$
- $5 < M$

PROFUNDIDAD MAYOR DE 60 KM

- ▽  $M < 3$
- ▽  $3 < M < 4$
- ▽  $4 < M < 5$
- ▽  $5 < M$

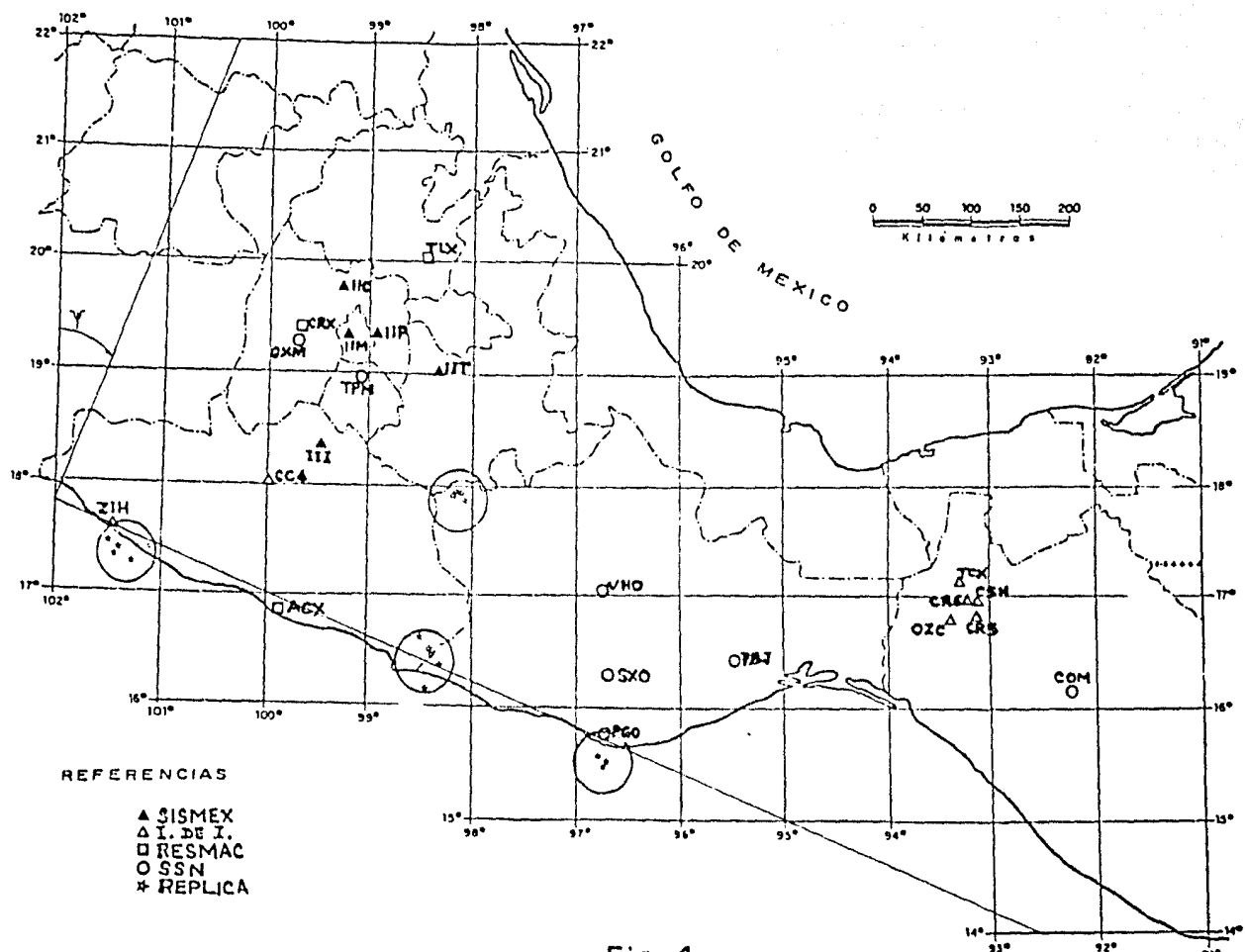
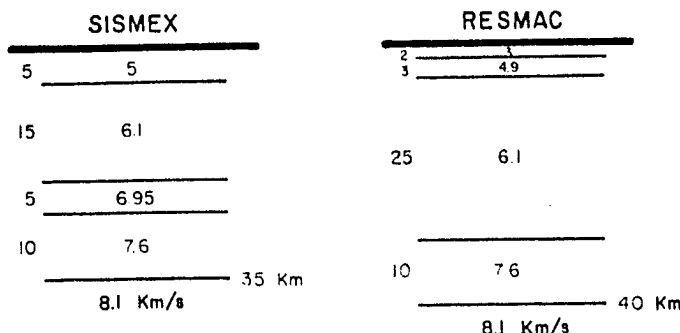


Fig 4

Fig 5



MEYER DURANGO	ASTIZ ACAMBAY	FIX MEXICO CENTRAL	NOVELO SURESTE DE MEXICO	CASTRO SURESTE DE
1      4.95	2      4.4 6      4.7	3      6	3      3 5      5	4      5
16.5      6.01	20      6.1	29      6	20      6	16      6.1
15      6.44	12      7.2	10      7.63	10      7.6	II      6.95
9      7.63	40 Km 8.1 Km/s	43 Km 8.35 Km/s	38 Km 8.3 Km/s	12      7.6
8.38 Km/s				8.2 Km

HAVSKOV PLAYA AZUL	VALDES PETATLAN	PONCE OMETEPEC-OAXACA
6      5.8	6      5.8	5      4.4
6      5.95	6      5.95	7      5.6
6      6.15	6      6.15	10      6.4
6      6.40	6      6.40	22 Km 8.2 Km/s
16      7.05	10      7.05	
40 Km 8.1 Km/s	34 Km 8.0 Km/s	

# OMETEPEC, 1982

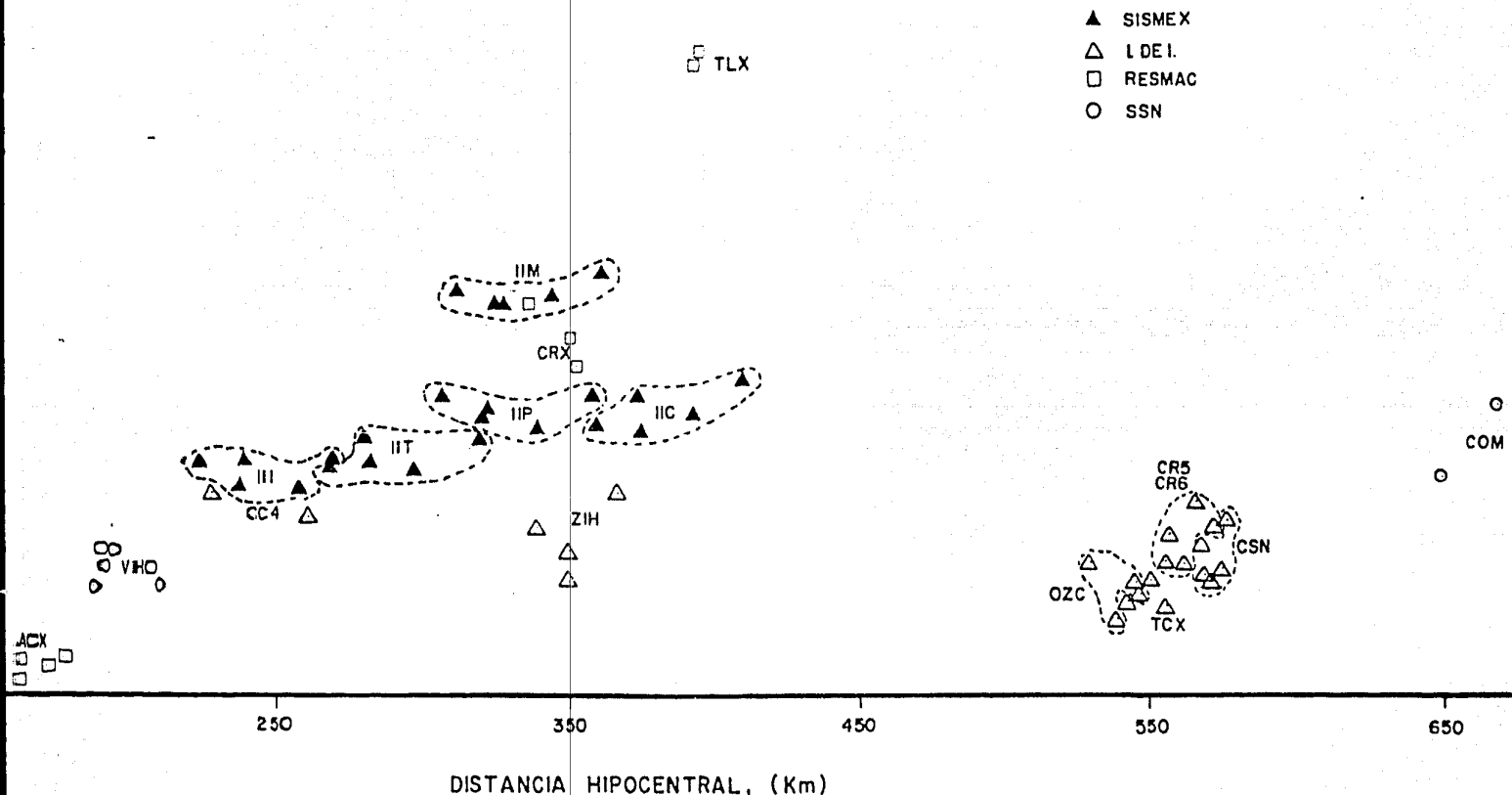


Fig 6

# OMETEPEC, 1982

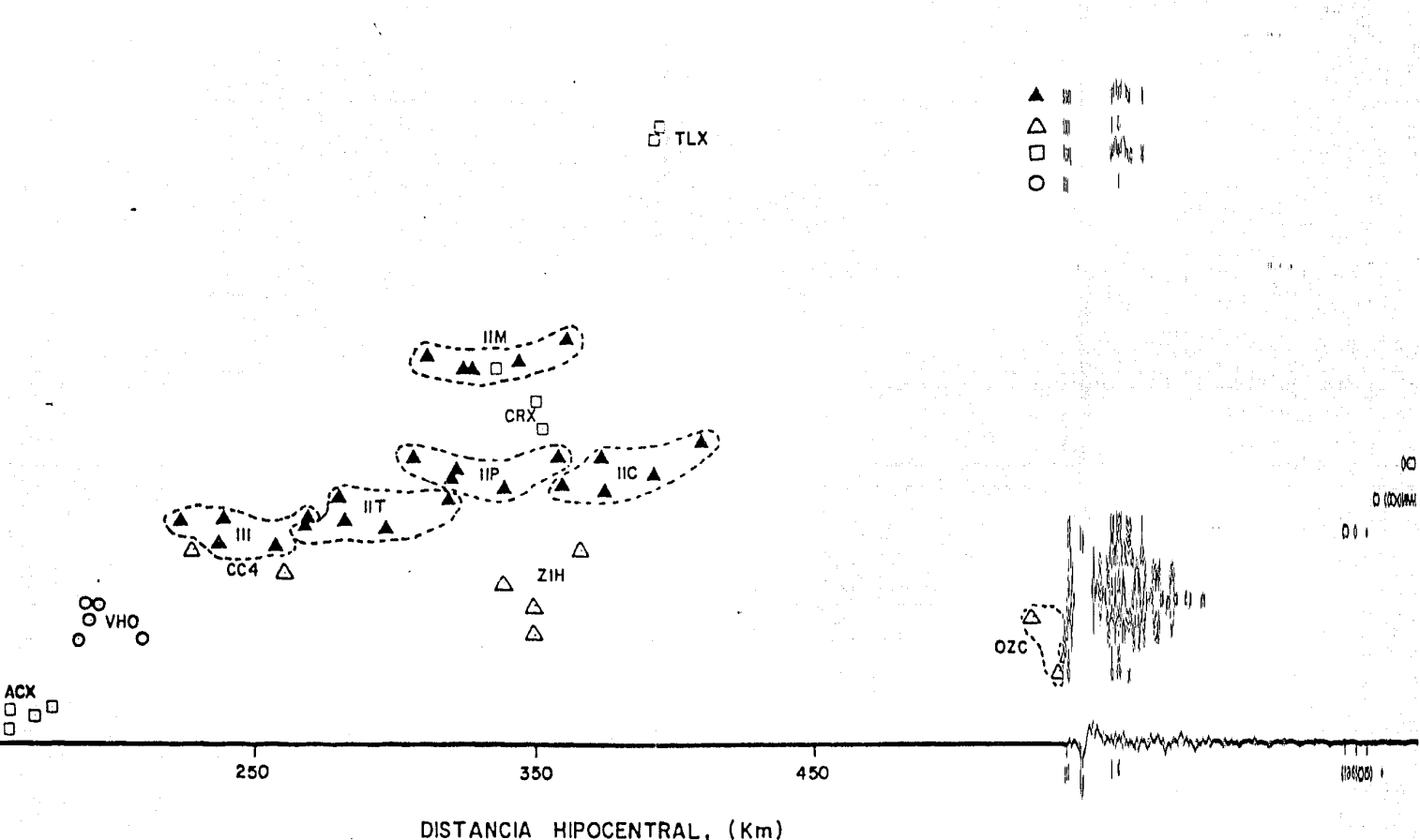


Fig 6

HUAJUAPAN DE LEON, 1980

- ▲ SISMEX
- △ I. DE I.
- RESMAC.
- SSN

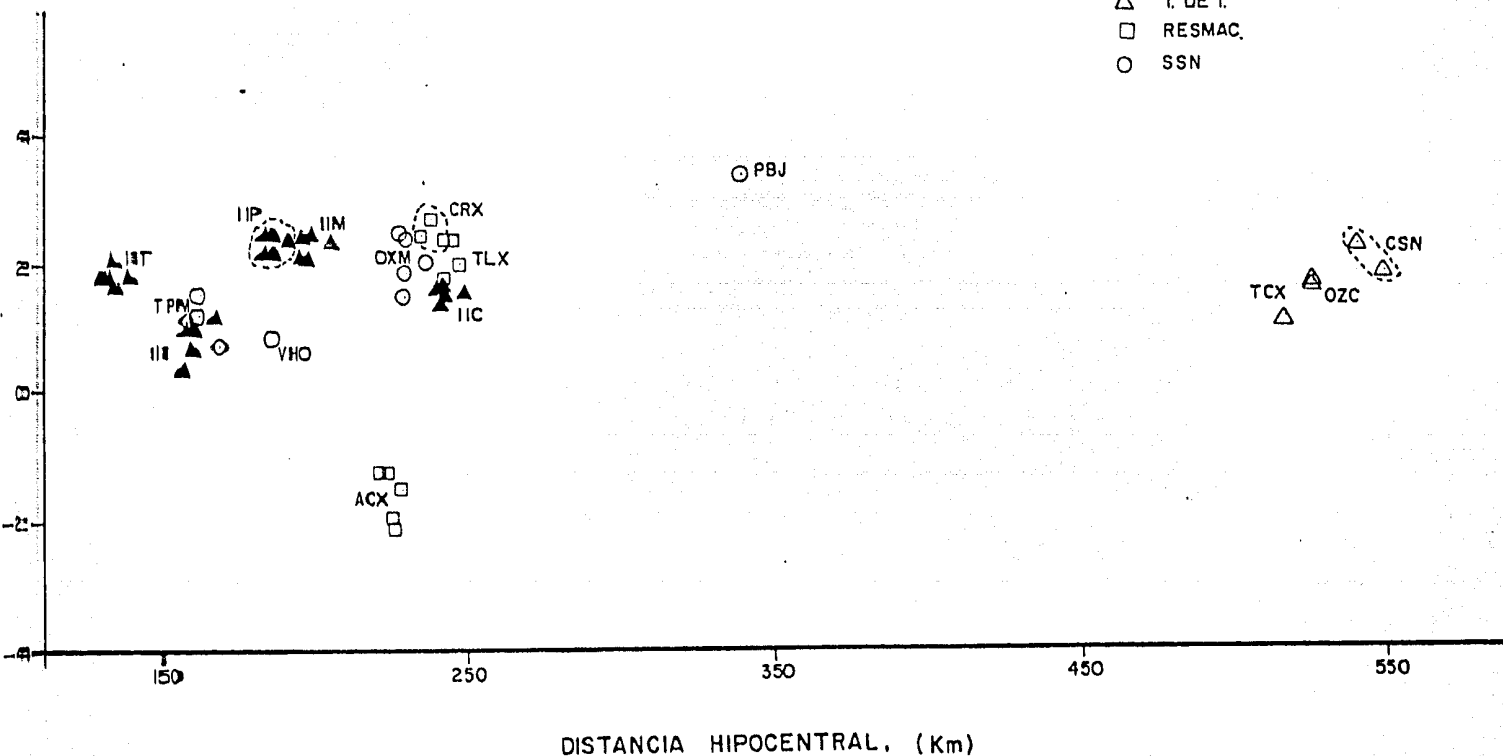


Fig. 8

# OMETEPEC, 1982

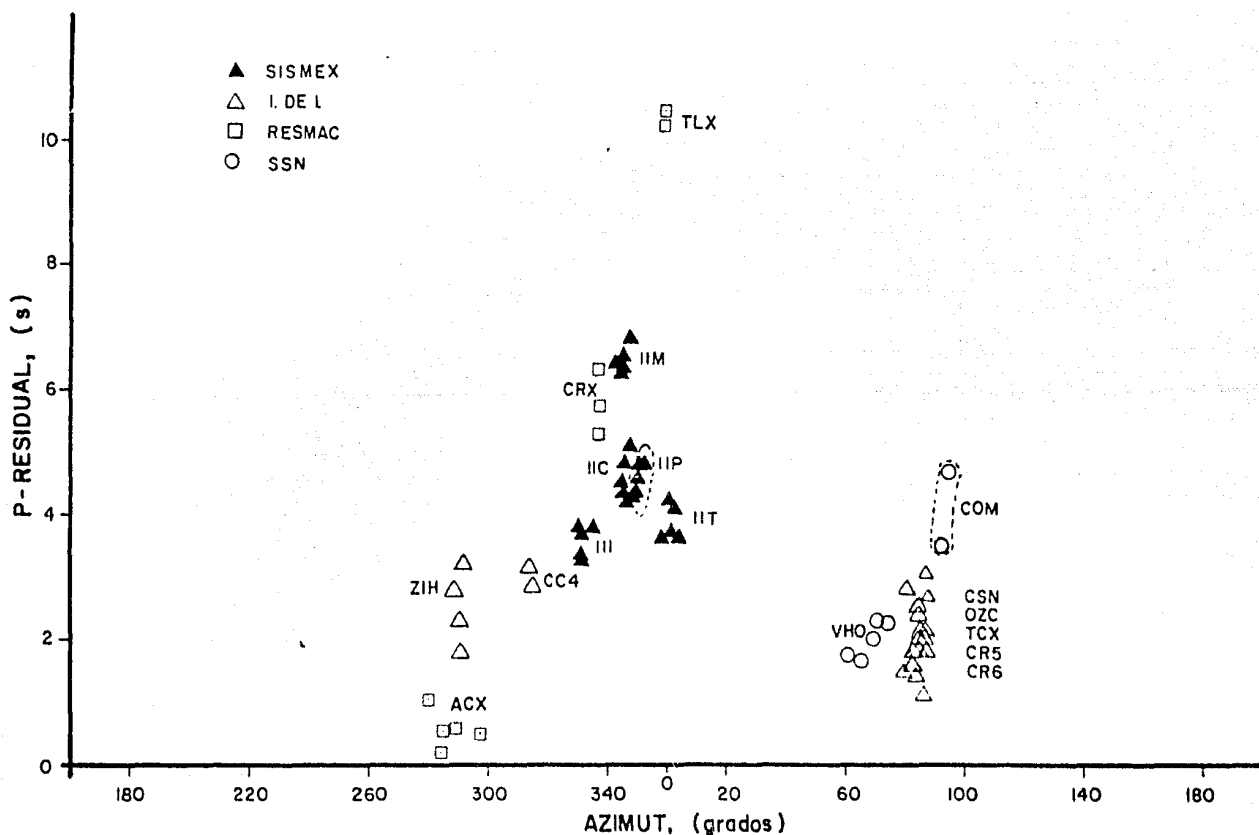


Fig 7

HUAJUAPAN DE LEON, 1980

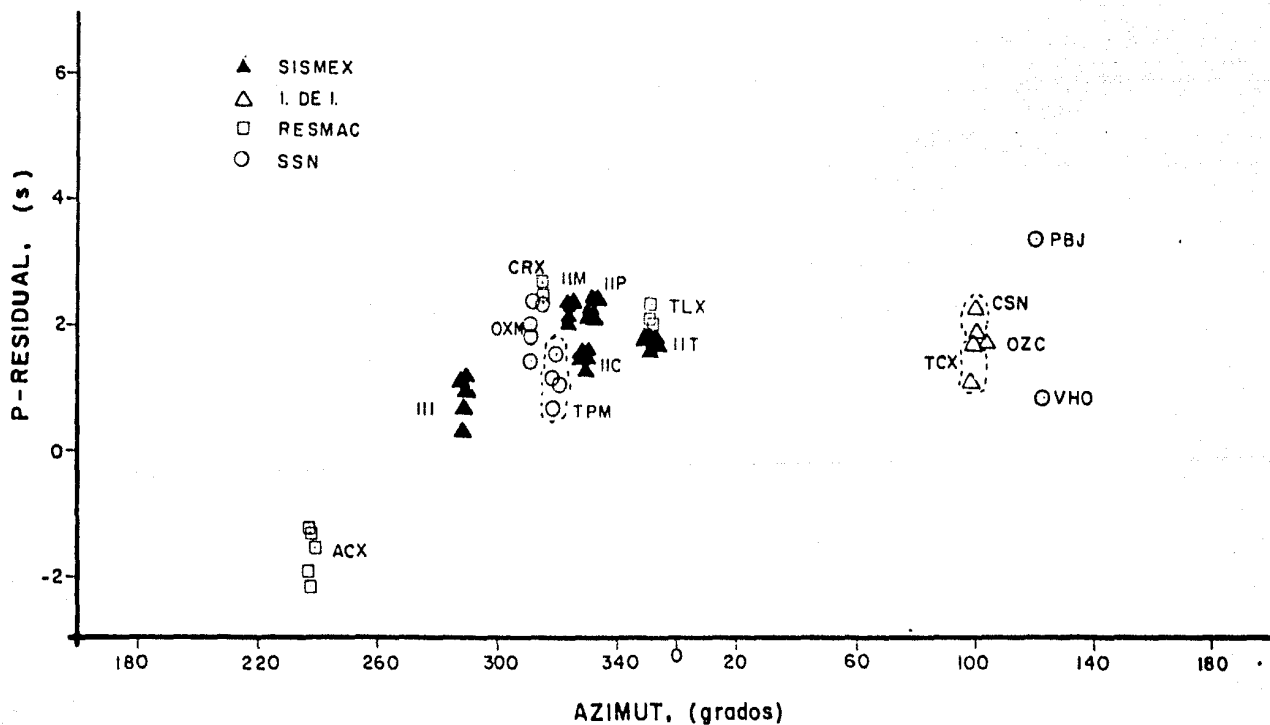


Fig 9

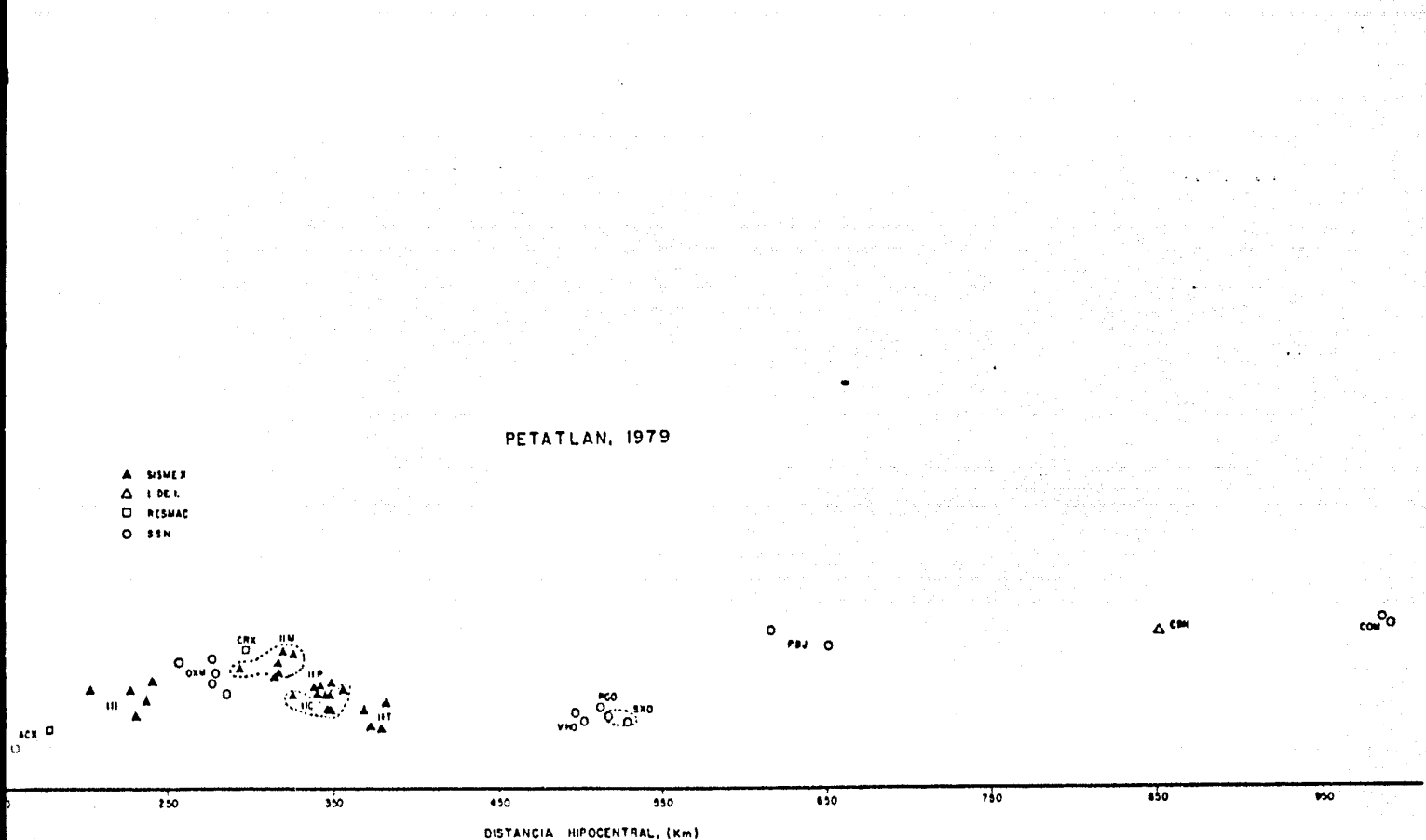


Fig 10

PETATLAN, 1979

▲ SISMEX  
△ LDEL  
□ RESMAC  
○ SSM

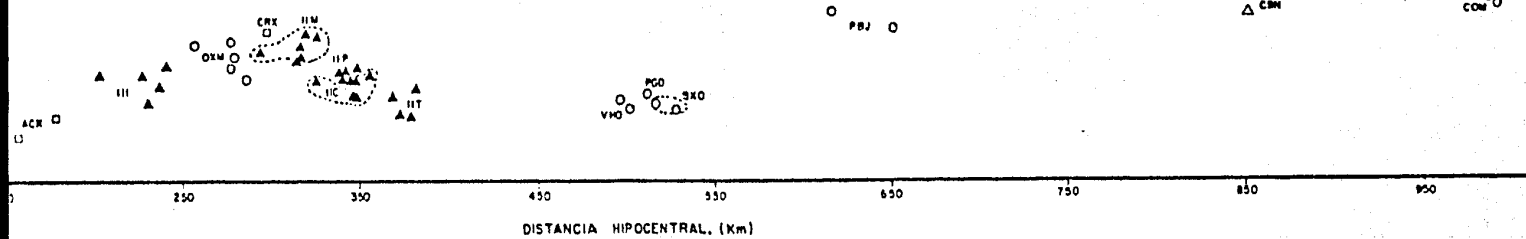


Fig 10

PE TATLAN, 1979

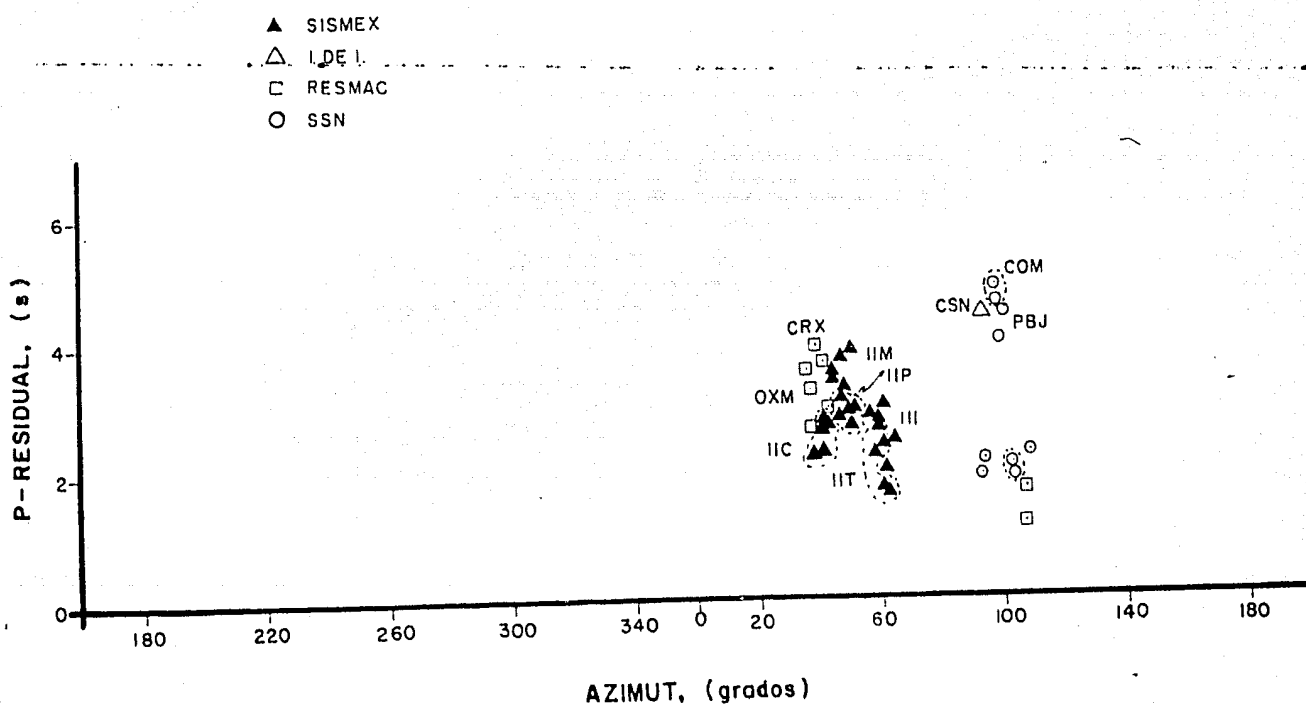


Fig II

OAXACA, 1978

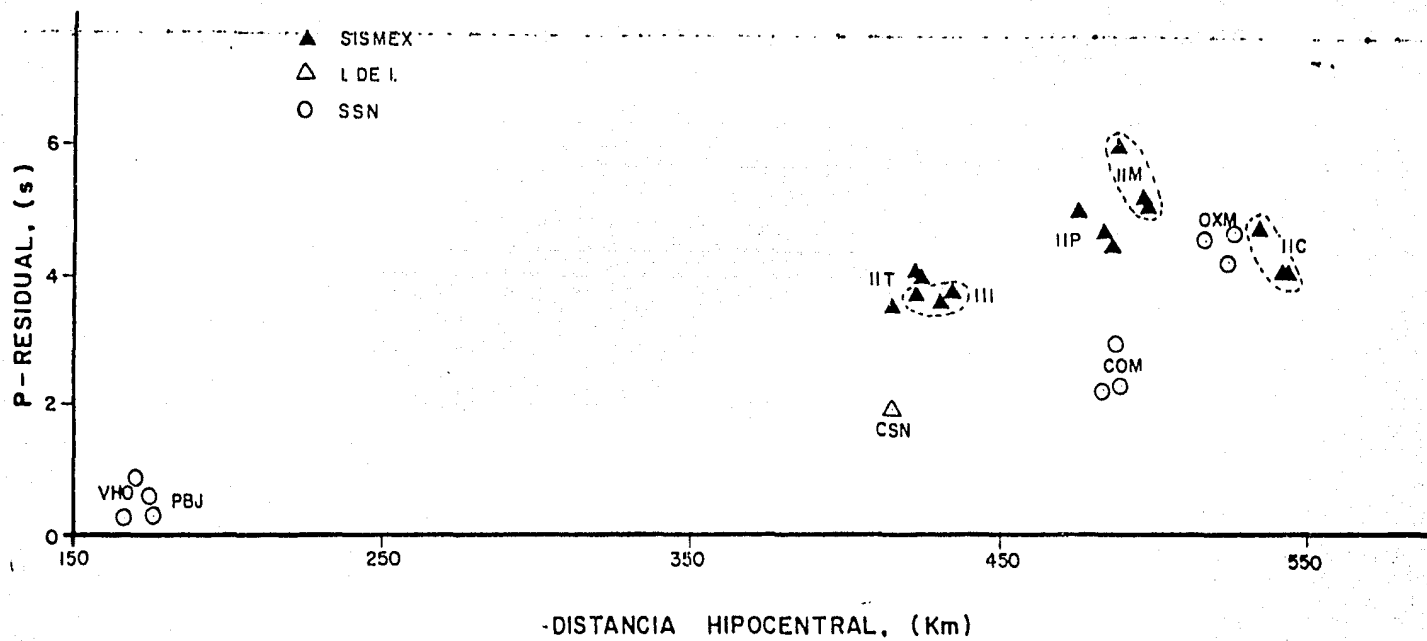


Fig 12

## OAXACA, 1978

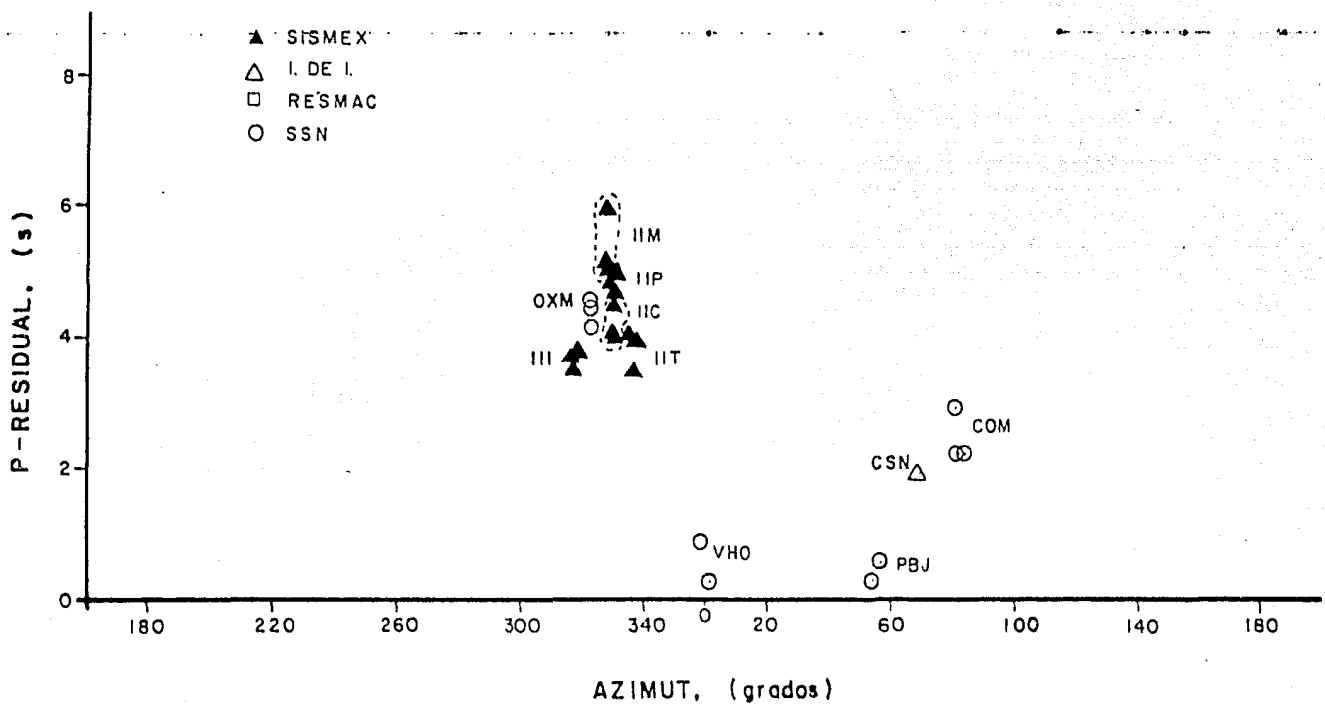
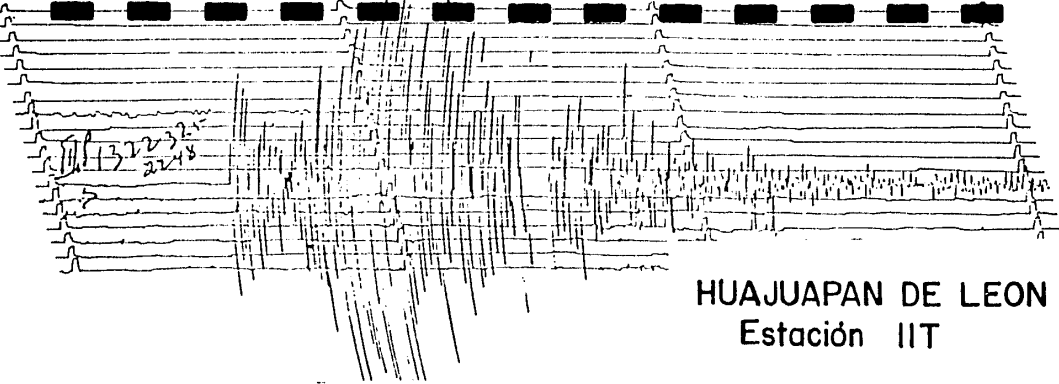
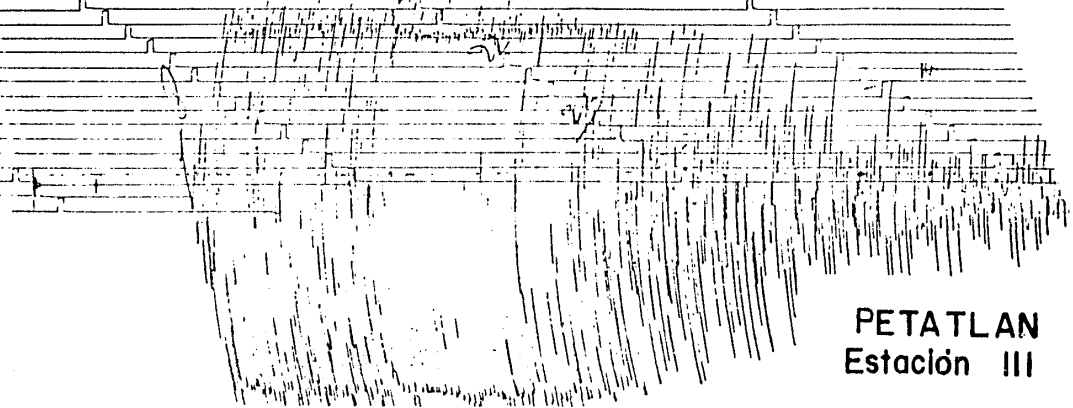


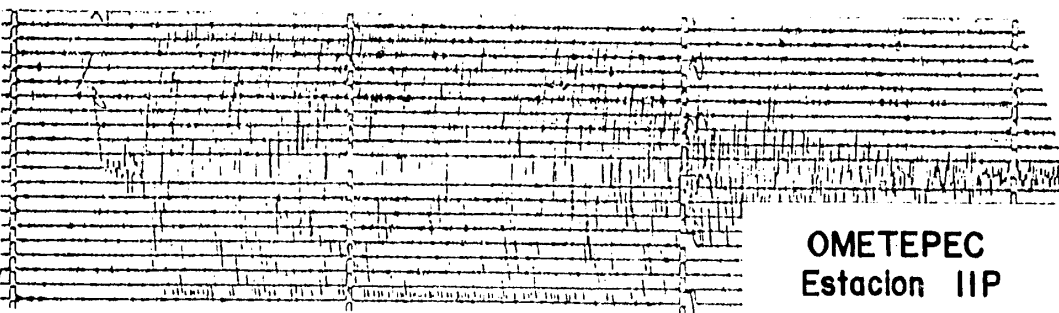
Fig 13



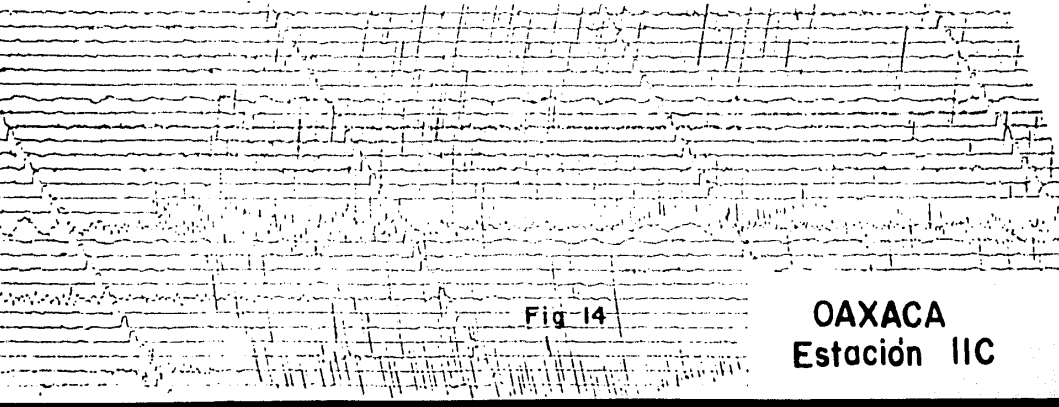
HUAJUAPAN DE LEON  
Estación IIT



PETATLÁN  
Estación III



OMETEPEC  
Estación IIP



OAXACA  
Estación IIC

Fig 14

- Temblor 1982
- Temblor 1980
- △ Temblor 1979
- Temblor 1978

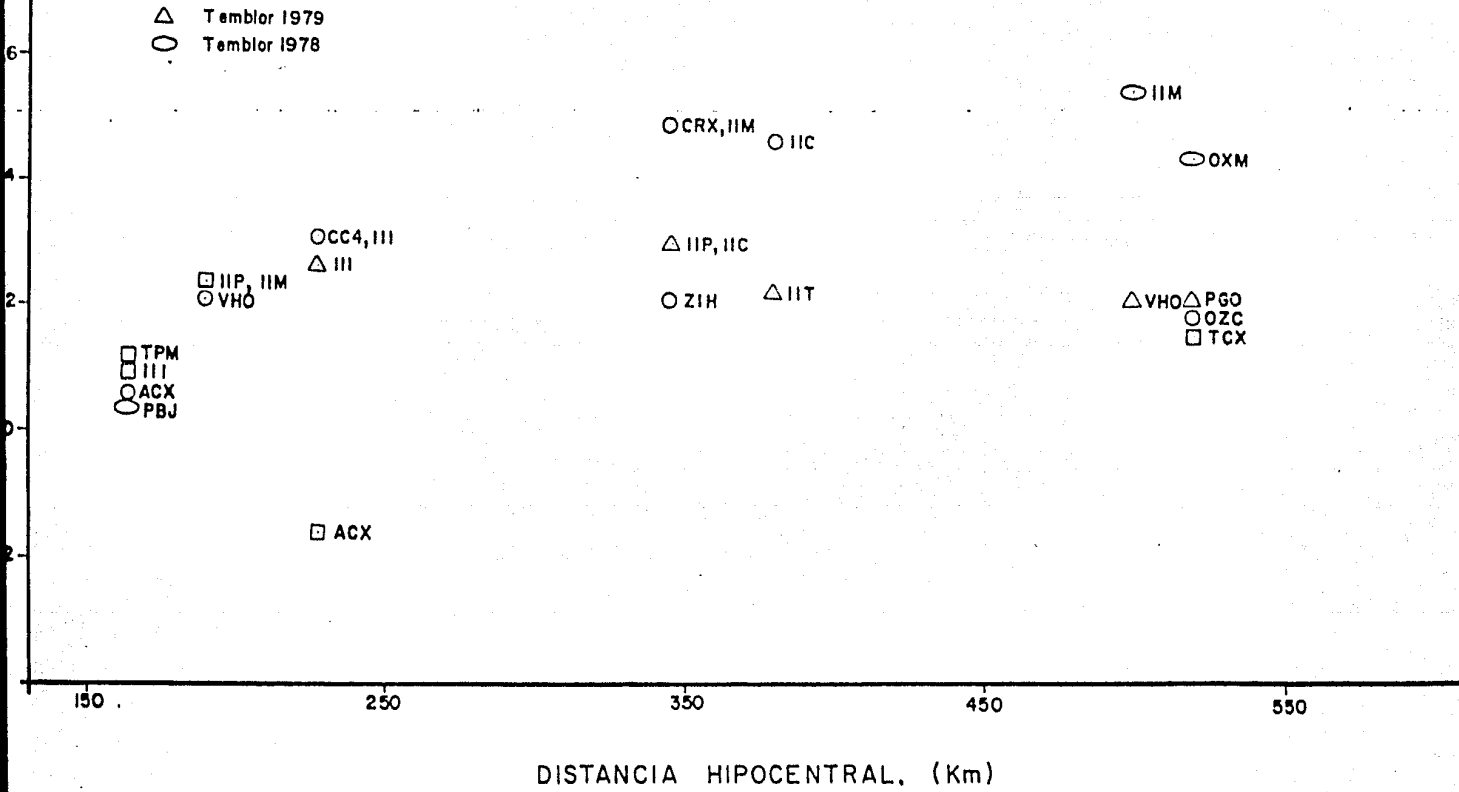


Fig 15

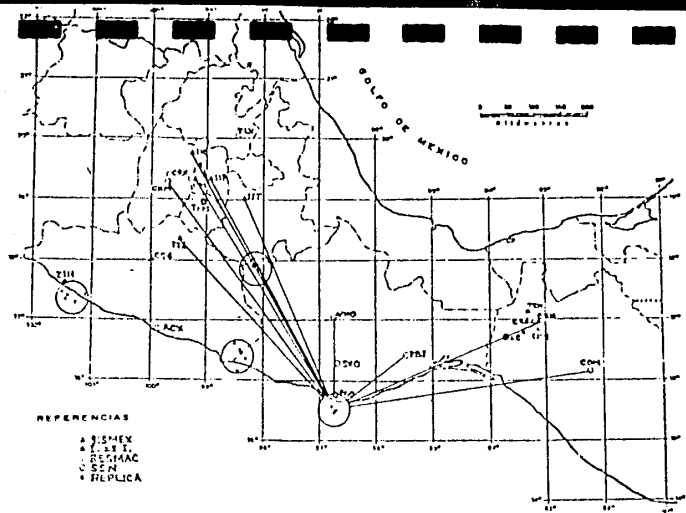


Fig 16

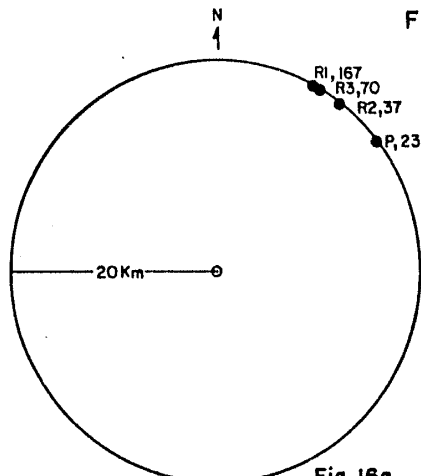


Fig 16a

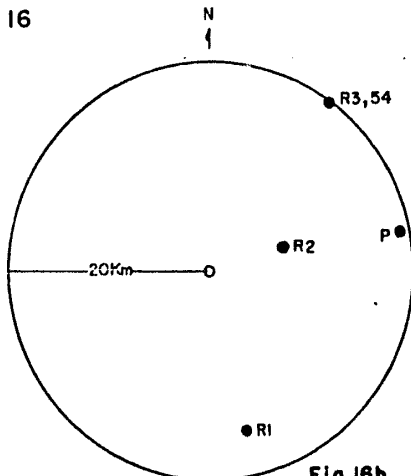


Fig 16b

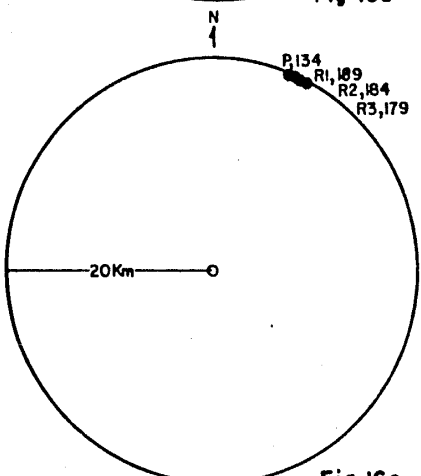


Fig 16c

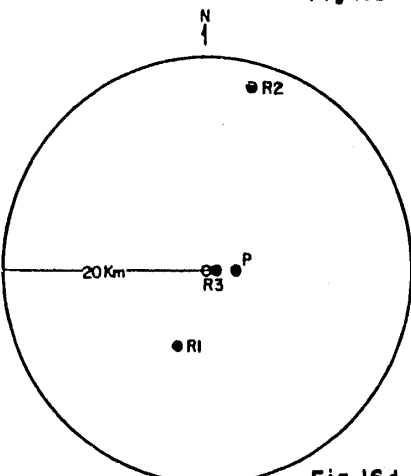


Fig 16d

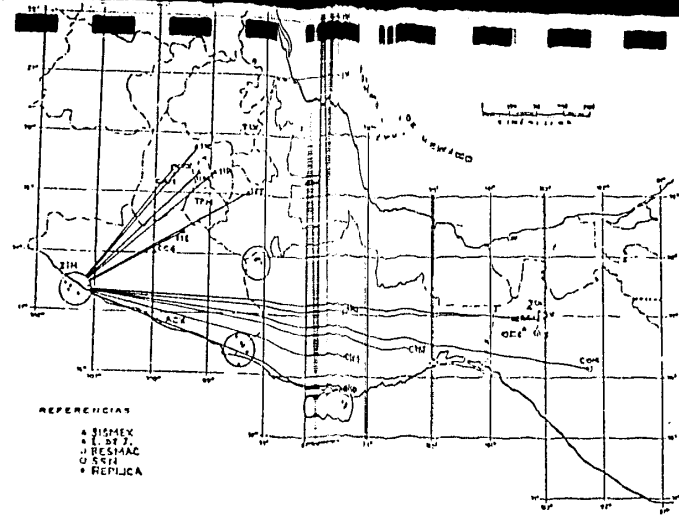


Fig 17

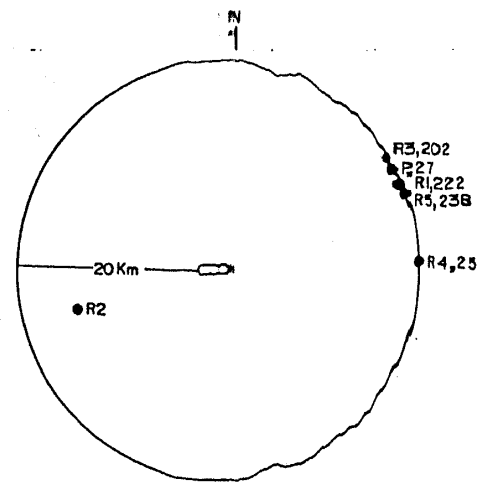


Fig 17a

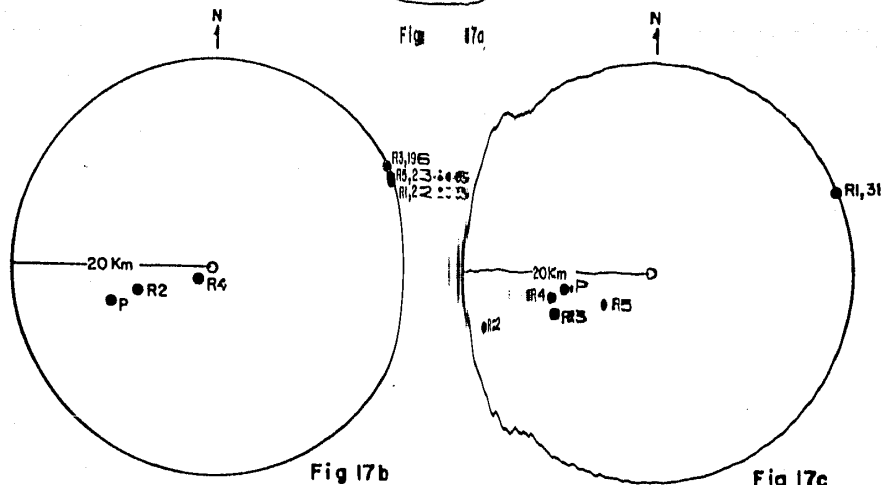


Fig 17b

Fig 17c

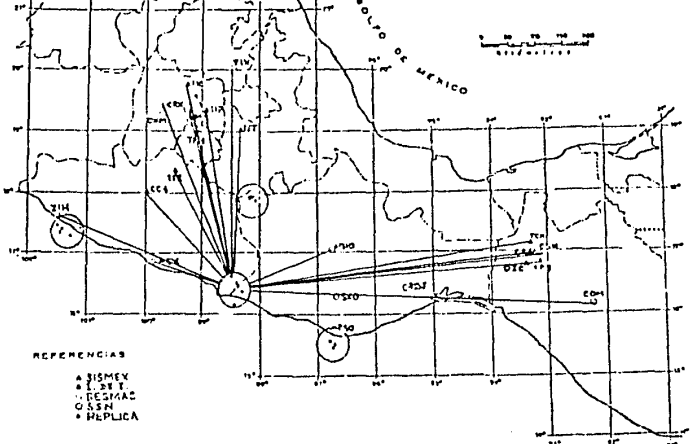


Fig 18.

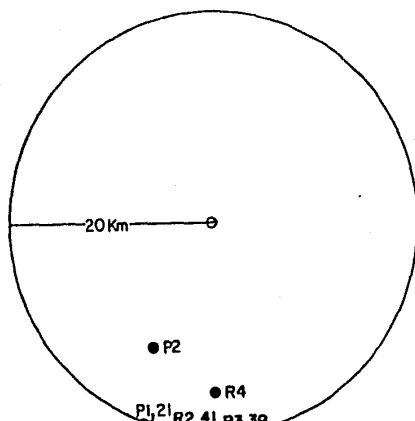


Fig 18a

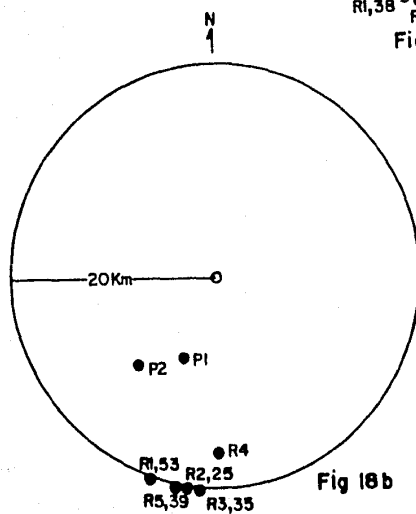


Fig 18b

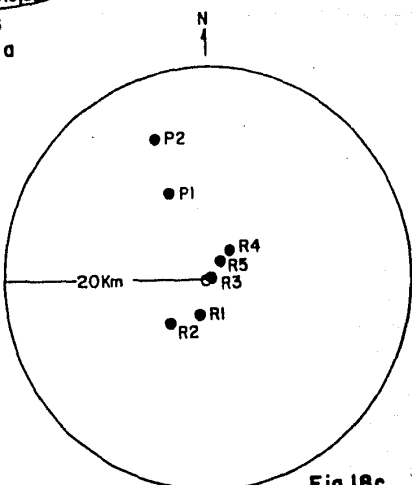


Fig 18c

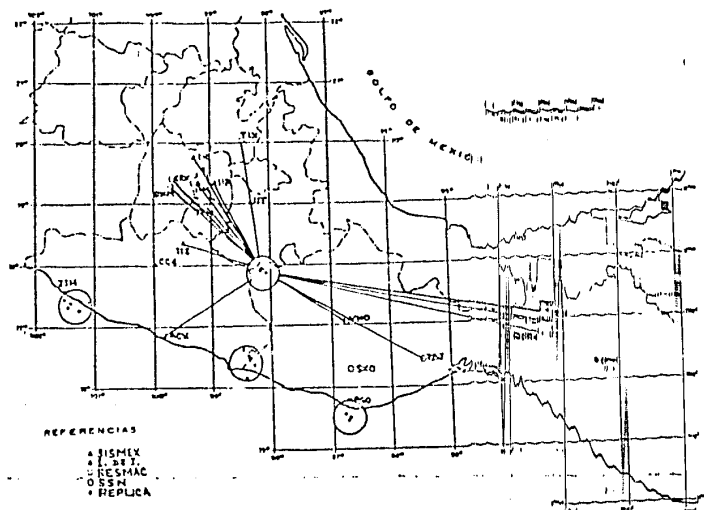


Fig 19

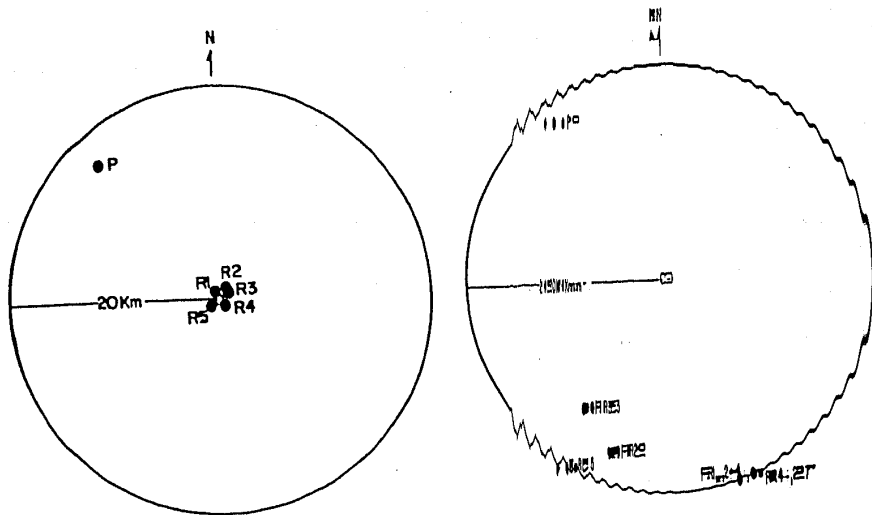
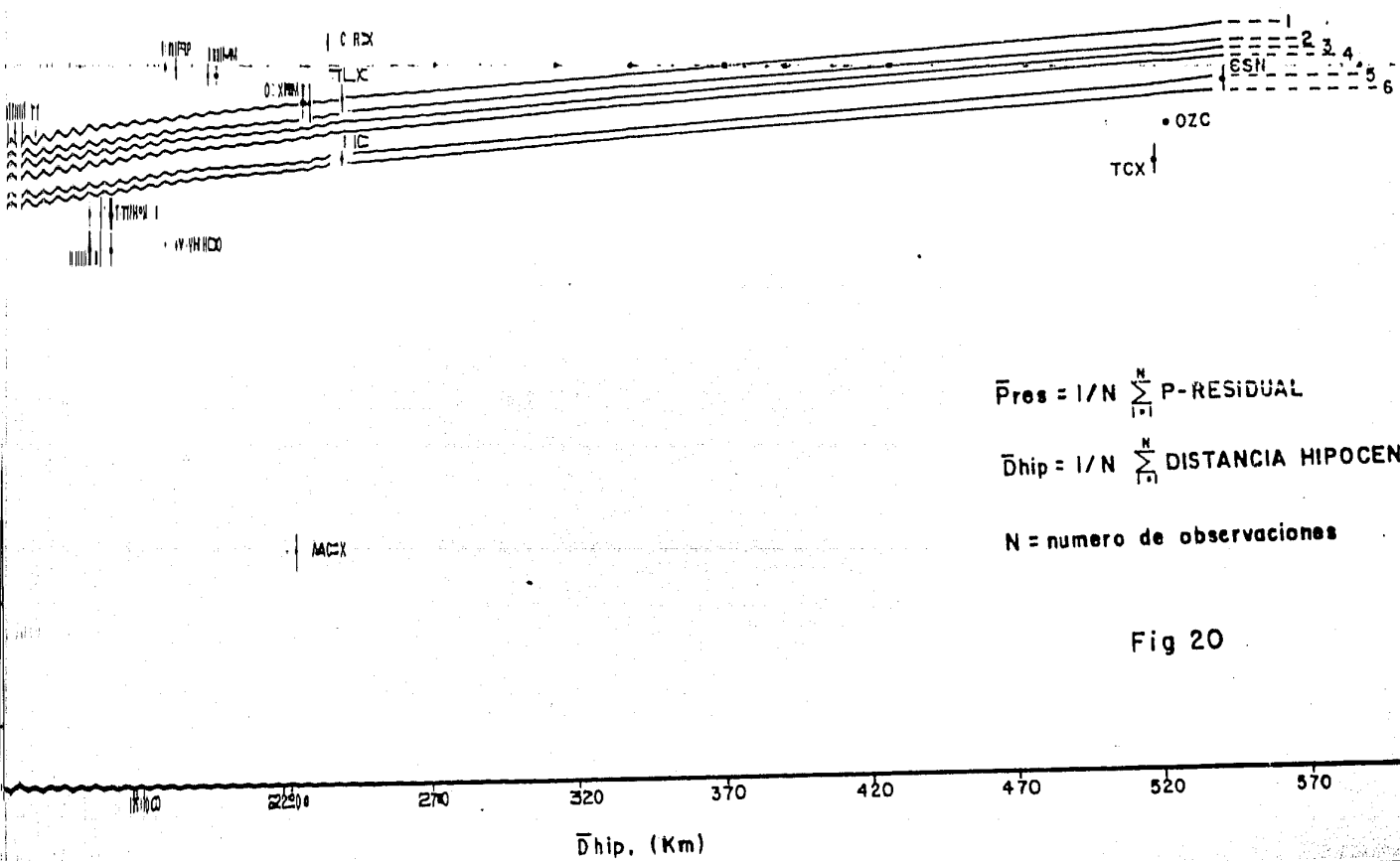


Fig 19b

# HUAJUAPAN DE LEON, 1980

• PBJ



$$\bar{P}_{res} = 1/N \sum_{i=1}^N P - RESIDUAL$$

$$\bar{D}_{hyp} = 1/N \sum_{i=1}^N DISTANCIA\ HIPOCENTRAL$$

N = numero de observaciones

Fig 20

# OMETEPEC, 1982

TLX

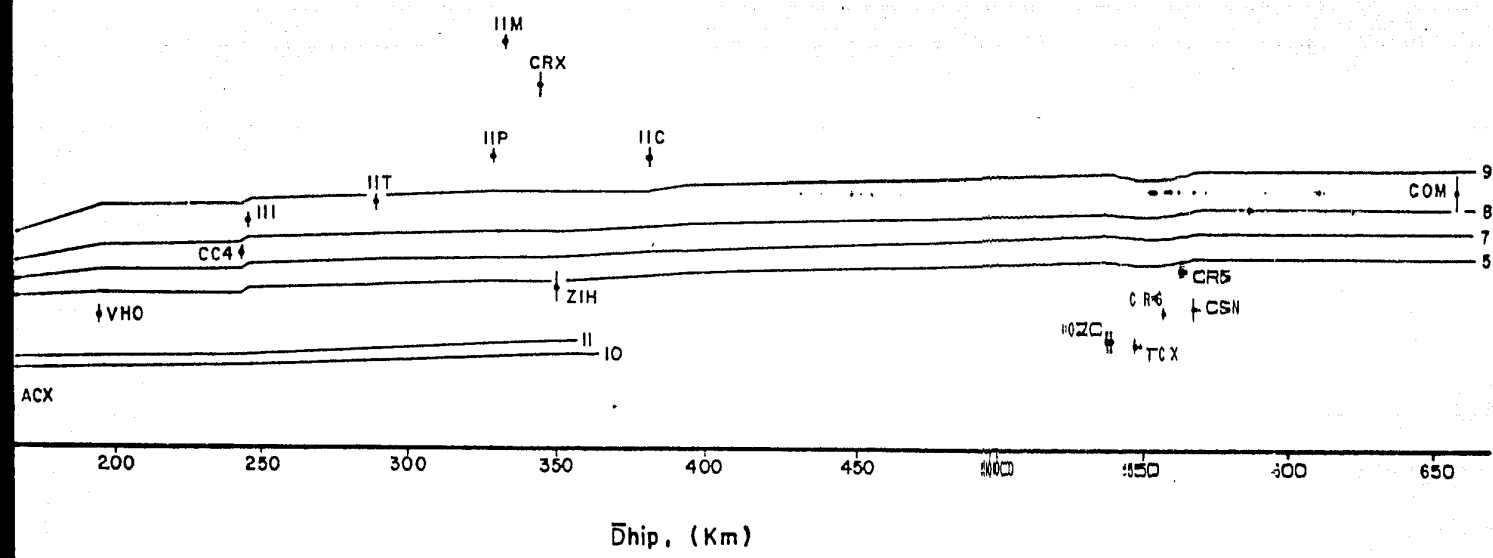


Fig 21

## PETATLAN, 1979

M. COTINENTE  
 M. COSTA  
 M. HIBRIDO  
 M. FINAL

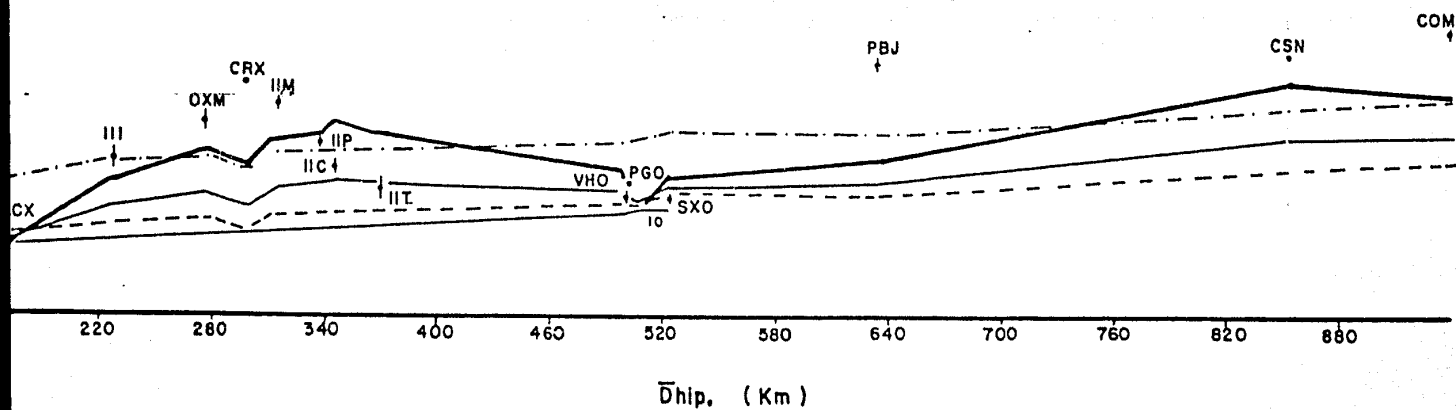


Fig 22

## OAXACA, 1978

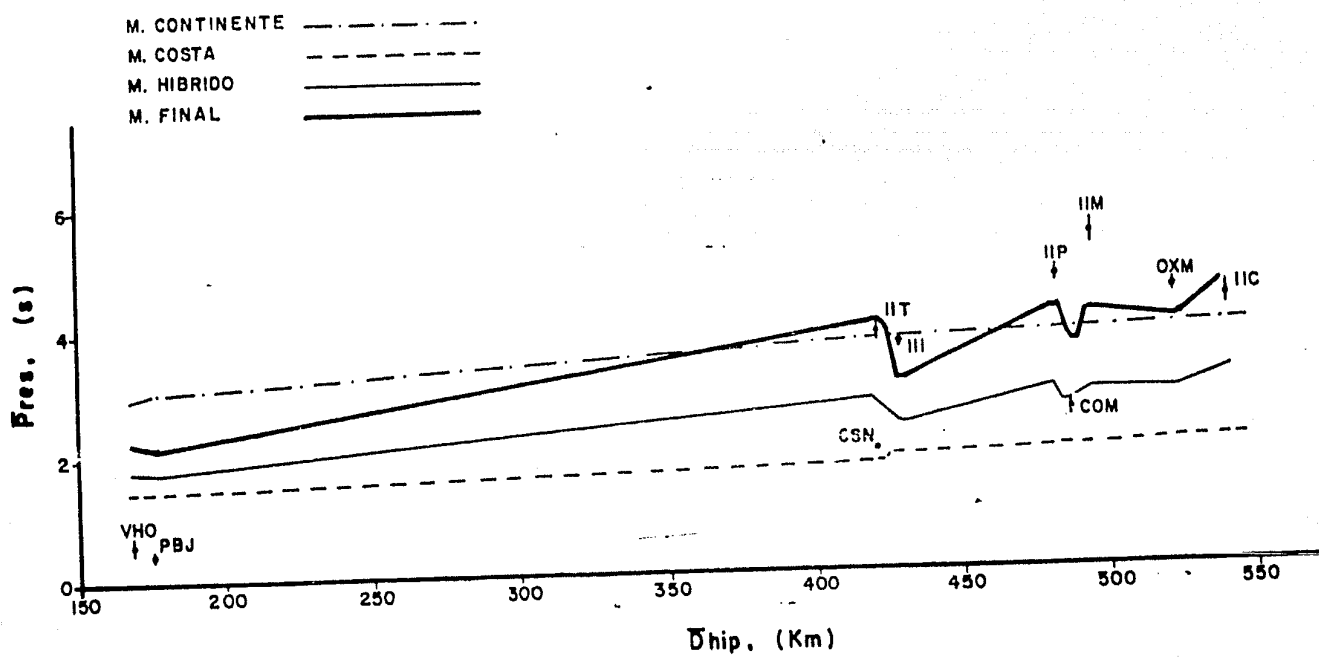


Fig 23

# OMETEPEC, 1982

M. CONTINENTAL -----  
 M. COSTA -----  
 M. HIBRIDO -----  
 M. FINAL -----

TLX

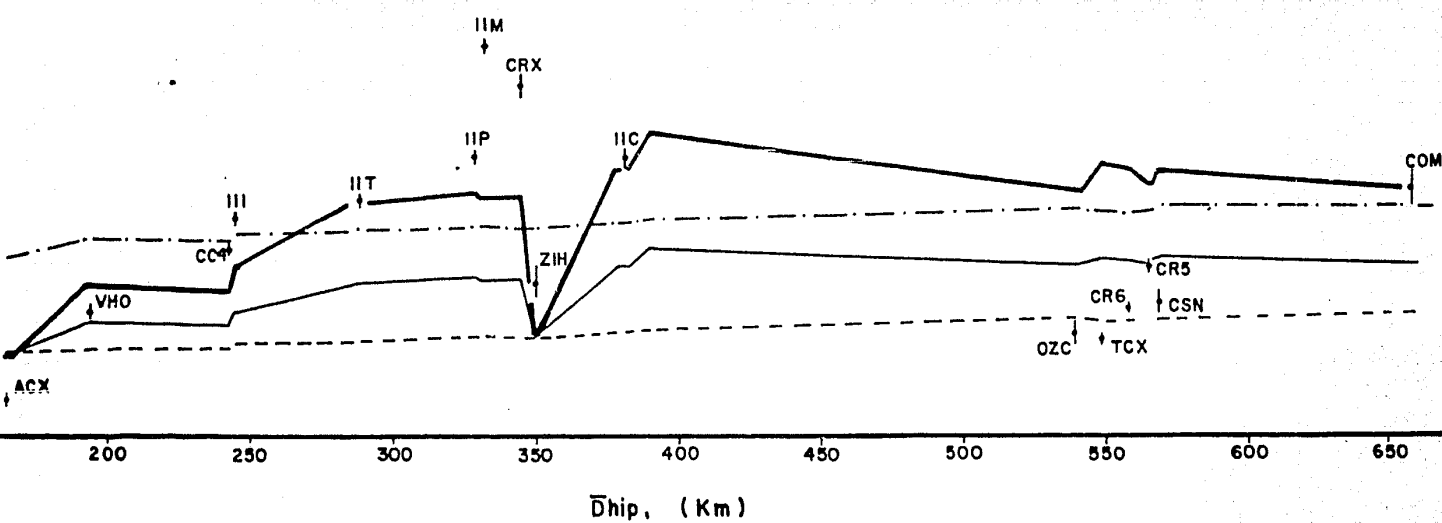


Fig 24

## HUAJUAPAN DE LEON, 1980

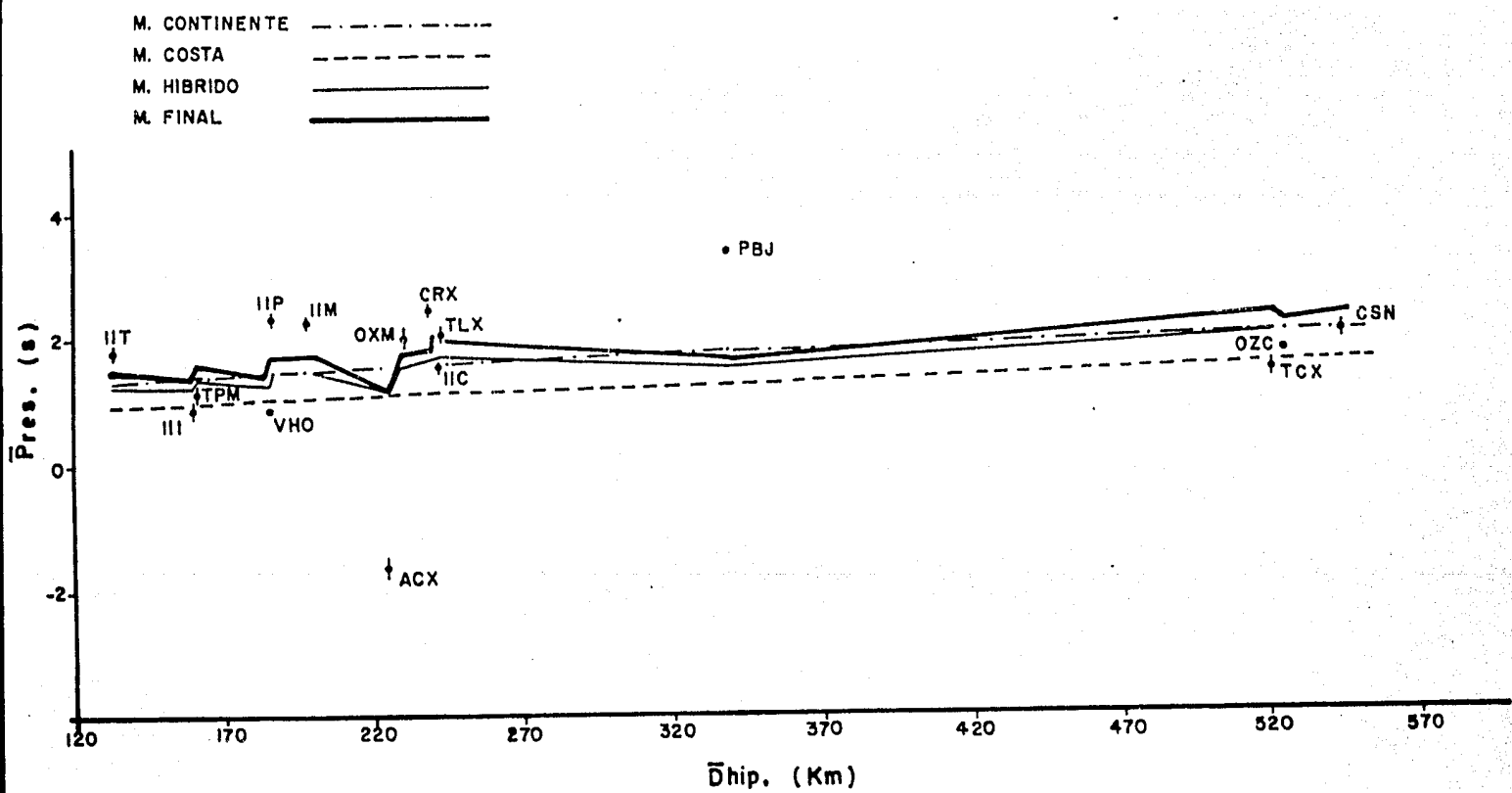


Fig 25

$$\alpha_i = \alpha_{r_0} + \theta_i$$

Igualmente si Sean  $\alpha_{r_1}/\text{VI}$  o Sean  $\alpha_r/\text{VI}$  entonces:

$$\alpha_{r_1} = \text{Sen } \text{IV}/\text{VI} \text{ Sen}(\alpha_r)$$

### b) Determinación de los espesores E4, E5, h1, h2, h3, h4 y h5

$$E4 = E2 + E1 \text{ Tan}(\theta_1)$$

$$E5 = (E2 + h3 + E4) \text{ Tan}(\theta_2) + E1$$

$$h1 = (E1 + E2 + E3) + h1 \cos(\theta_2)$$

$$h2 = E4 \cos(\theta_1)$$

$$h3 = h2 + (E1 \text{ Tan}(\alpha_{r_1}) + \text{Sen}(\theta_1))$$

$$h5 = h2 + C1 \text{ Sen}(\theta_3)$$

donde  $C1 = h2 \text{ Tan}(\alpha_{r_1}) + E1 \text{ Tan}(\alpha_r) \cos(\theta_1) + E4 \text{ Sen}(\theta_1)$

### c) Determinación de las distancias AB, BC, CD, DE y EF

$$AB = h1 / \cos(\theta_1)$$

$$CD = h5 / \cos(\alpha_c)$$

$$DE = h4 / \cos(\alpha_r)$$

$$EF = E1 / \cos(\alpha_{r_1})$$

$$BC = DA / \cos(\theta_2) + CD$$

donde  $C2 = h1 \text{ Tan}(\alpha_c) + h1 \text{ Tan}(\theta_2) + h5 \text{ Tan}(\alpha_r) + C1 \cos(\theta_2) + E5 \text{ Sen}(\theta_2)$

Finalmente el valor de TUR sera :

$$TUV = TAB + tBv + tDv + tUv \quad \text{donde } t = \text{tiempo}$$

$$tBv = AB/VB + BC/V4 + CD/V3 + DE/V2 + EF/V1$$

2. Desarrollando el TUV linea discontinua en la fig A1.

El método que se sigue para calcular el valor del TUV es el de iteraciones. Se aumenta en cada iteración un angulo pequeño  $\Delta\theta$  de 0.5 grados al de salida del rayo directo hasta que la diferencia entre la distancia calculada RD y la distancia epicentral sea menor a 0.1

Para el cálculo de RD y TUV se procede de la siguiente manera:

a) Determinación de los ángulos de incidencia y refractados

$$d_i = AB + \theta_1$$

$$\alpha_{i_0} = \Delta\theta$$

$$\alpha_{r_0} = \operatorname{Sen} EV_2/V_3 \operatorname{Cosec} \alpha_{i_0}$$

$$\alpha_{i_0} = \alpha_{r_0} + \theta_1$$

$$\alpha_r = \operatorname{Sen} EV_1/V_2 \operatorname{Cosec} \alpha_{i_1}$$

b) Determinación de los parámetros  $h_0$ ,  $h_7$ ,  $h_8$ ,  $DG_0$ ,  $DS_1$ ,  $DS_2$ ,  $DS_3$  y  $DS_4$

$$h_0 = H - REF + E2$$

$$h_7 = h_0 \operatorname{Cosec} \theta_1$$

$$DG_0 = h_0 \operatorname{Cosec} \theta_1$$

$$DS_1 = h_7 \operatorname{Tan} \Delta\theta$$

$$DS_2 = (DG_0 + DS_1) \operatorname{Cosec} \theta_1$$

$$h_8 = (DG_0 + DS_1) \operatorname{Cosec} \theta_1$$

$$B63 = \text{dist} + H3) \operatorname{Tan} \alpha_3 = \alpha_{r3}$$

$$B64 = \text{El Tan} \alpha_{r4}$$

Por lo tanto,

$$B3 = B62 + B63 + B64$$

Ahora si  $\Delta\theta = B63 - \alpha_{r3}$

entonces calcula nuevamente los ángulos y los parámetros, pero ahora con:

$$\Delta\theta = \Delta\theta + \Delta\theta_3$$

hasta que  $(D_3 - B3) < 0.1$

Una vez cumplida esta condición, se puede calcular el valor de TVP

$$TVP = \text{AG} + GH + HI \quad \text{donde: AG = Airemple}$$

$$AG = AC/V_3 = CH/V_2 = HI/V_1 \quad \text{donde: AG = } \frac{\text{Desplazamiento}}{\text{Volumen}},$$

$$GH = B63/\operatorname{sen} \alpha_{r3} + \alpha_{r3}$$

$$HI = B64/\operatorname{sen} \alpha_{r4}$$

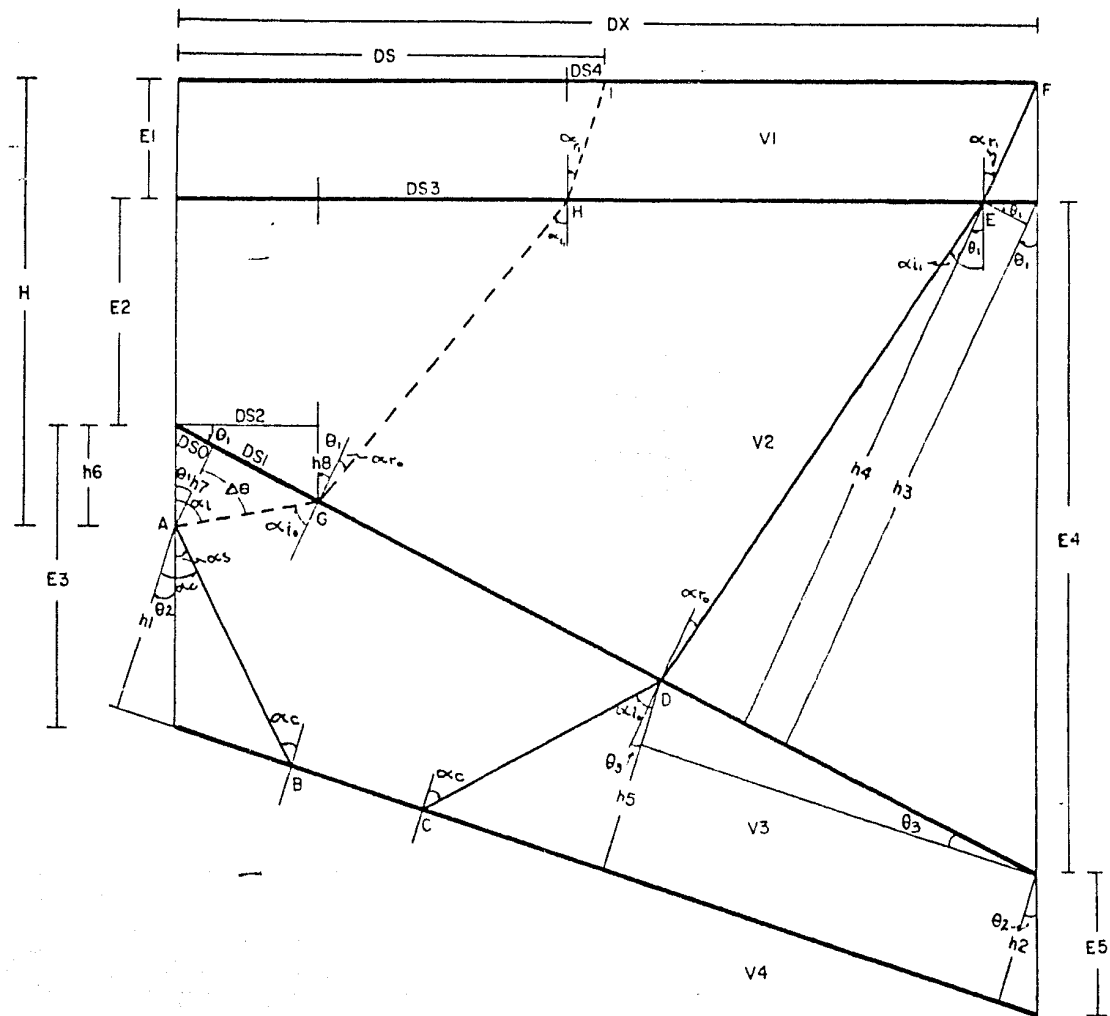


Fig A1

## APENDICE E

## Descripción del uso del programa TUE.PTM

Los datos de entrada al programa, se leen de dos formas: De un archivo en disco y por terminal remoto. Los archivos contienen los siguientes datos: Dados de la redondez (coordenadas y profundidad), datos de la estación (coordenadas, distancia aparente a la fuente, azimut con respecto a la fuente), datos calculados con el modelo estandar (angulo de salida del rayo, tiempo de viaje calculado residual del primer arribó) y tiempo de viaje observado del primer arribó. Todos estos datos se leen directamente de los archivos de salida, generados por el programa HIBULI para cada uno de los tambienes registrados.

Los datos que lee por terminal remota son: Datos del modelo propuesto (numero de capas, espesores, velocidades de la onda P, ecuaciones de las capas) y datos del perfil propuesto (coordenadas, azimut).

A continuacion se muestra un ejemplo del dialogo por terminal remoto, un listado del archivo grabado en disco y la salida del programa.

SI. SES BLTV

NUMERO DE CAPAS: 4

4

ESPESOR DE LAS CAPAS Y VELOCIDADES: E,V

5,4,6

26,6,1

11,6,2

299,8,0

ECUACIONES DE LAS CAPAS : TE,TPI,TE,TPI,GRADOS:

0,0,2,6

COORDENADAS DEL PERFILE: RRLAT,RRRDN (GRADOS)

17.3.1984.0

AZIMUTH DEL FERIL: ACP - GRADOS.

21.0

CAMBiar MODELO: T000-1, NADAR, PARTE=3, ELHADO=4, TERMINAR=5  
3

MANUAL=0, 1 POR ARCHIVOS 1

ARCHIVO DE SALIDA : (MAXIMO 12 CARACTERES)  
SAL/30/01

ARCHIVO DE DATOS : (MAXIMO 12 CARACTERES)  
LEC/S0/REP

CAMBiar MODELO: T000-1, NADAR, PARTE=3, ELHADO=4, TERMINAR=5  
5

0.0

LISTADO DEL ARCHIVO DE DATOS (LEC/S0/REP)

DATE	ORIGIN	LAT	N	LONG	W	DEPTH	MAG	GAF	RMS	ERH	ERZ	0
801028	1554	15.40	S	77.85	E	30.00	51.00	4.49	118	2.01	5.9	58.0

STA	DIST	AZM	AIN	P-SEC	TPOSE	TFCAL	P-BE6	P-WT	S-SEC	TPOSE	S-RPM	S-WT
LIT	131.9	350	100	35.70	20.00	18.51	1.75	1.00				
LLI	147.9	229	100	37.40	22.00	21.50	0.84	1.00				
TFM	150.2	301	00	36.50	33.10	21.02	1.08	1.00				
ITP	178.5	333	07	43.50	37.50	25.15	2.45	1.00	57.00	41.50	-3.17	0.00
ITH	169.1	325	07	44.50	39.10	36.59	2.31	1.00	58.00	42.50	-4.90	0.00
ALA	118.4	157	06	41.10	28.70	28.97	1.27	1.00				
QAH	221.7	813	06	48.50	38.10	10.59	2.31	1.00				
CRZ	239.7	315	05	45.50	34.10	31.50	2.42	1.00	55.70	50.30	-6.08	0.00
1IC	234.5	360	05	49.50	35.70	31.27	1.63	1.00				
TLA	238.3	353	05	49.50	34.10	32.80	1.74	1.00	57.40	52.00	-5.61	0.00
PBI	305.4	120	08	32.50	16.10	44.70	3.40	1.00				

T0A	543.1	100	91	25.00	0.00	0.00	1.71	1.00	
T0B	543.1	100	91	25.00	0.00	0.00	1.71	1.00	
C0A	546.3	100	87	26.00	72.00	70.72	1.08	1.00	
						54.00	127.60	1.72	0.00

### LISTADO DEL ARIMITMO DE BALDA (BALABU/C19)

REPLICAS(Fecha y l. Origen): 201022 155415.40 - Problema: \$1.00 - null=0

ESTA	DIST	AZ	AI	T0BA	T0BL	PREC	TR	AF	PR
		Clase	Asignadas	Nº	Nº	%		Asignadas	(s)
IIT	121.9	250	100	25.00	16.51	1.08	19.99	95.82	0.51
				TET1= 0.00	TET2= 1.26				
				B021.02= 20.0	B031.02= 16.4	25.2	M= 6		
III	147.4	250	100	22.00	21.66	10.84	23.06	94.87	-1.06
				TET1= 0.00	TET2= 0.11				
				B021.02= 20.0	B031.02= 16.4	16.2	M= 7		
TEM	150.9	971	99	21.10	21.01	1.08	20.59	93.86	-0.49
				TET1= 0.00	TET2= 1.26				
				B021.02= 20.0	B031.02= 16.4	21.7	M= 6		
IIP	176.6	303	97	27.60	26.15	2.15	26.66	92.04	0.74
				TET1= 0.00	TET2= 1.72				
				B021.02= 20.0	B031.02= 16.4	23.7	M= 6		
THM	189.1	315	95	29.10	28.69	2.41	20.42	92.09	0.68
				TET1= 0.00	TET2= 1.43				
				B021.02= 20.0	B031.02= 16.4	23.1	M= 6		
AKA	215.8	257	96	28.70	28.97	-1.27	31.14	91.64	-2.44
				TET1= 0.00	TET2= 2.12				
				B021.02= 20.0	B031.02= 16.4	16.5	M= 7		
0AH	221.7	313	95	33.10	30.89	2.41	32.42	91.51	0.68
				TET1= 0.00	TET2= 0.65				
				B021.02= 20.0	B031.02= 16.4	22.1	M= 6		

CRA	229.7	315	10	0.01	0.00	1.41	62.50	91.66	0.66
DIAZ, DIAZ	26.1	145	10	0.01	0.00	18.4	21.00	M= 6	
TIC	204.5	1350	10	0.01	0.00	1.41	34.21	91.01	-0.31
DIAZ, DIAZ	24.4	145	10	0.01	0.00	18.4	25.0	M= 6	
TIC	235.5	355	10	0.01	0.00	1.74	34.44	90.41	-0.34
DIAZ, DIAZ	20.0	145	10	0.01	0.00	18.4	22.7	M= 6	
PBD	325.4	1350	10	0.01	0.00	1.74	46.35	91.96	1.75
DIAZ, DIAZ	20.0	145	10	0.01	0.00	18.4	11.7	M= 7	
VCA	3525.1	100	10	0.01	0.00	1.74	70.25	90.43	-0.65
DIAZ, DIAZ	20.0	145	10	0.01	0.00	18.4	10.5	M= 7	
G2C	503.2	1404	10	0.01	0.00	1.74	20.15	90.61	-0.55
DIAZ, DIAZ	20.0	145	10	0.01	0.00	18.4	21.5	M= 6	
CAN	546.2	161	10	0.01	0.00	1.74	78.12	90.42	-0.52
DIAZ, DIAZ	20.0	145	10	0.01	0.00	18.4	22.4	M= 6	

PARAMETROS DEL MODELO PREDICTIVO / PARAMETROS DEL MODELO ESTANDAR

ESPECIFICACIONES DEL MODELO PREDICTIVO			ESPECIFICACIONES DEL MODELO ESTANDAR		
ALTO	km	km/sec	ALTO	km	km/sec
10	4.6	9	10	5.0	9
20	4.1	9	20	5.1	9
11	6.7	15	11	6.9	15
6000	6.0	15	6000	7.8	15
TETP1=0.0	TETP2=0.0		TETP1=0.0	TETP2=0.0	
RMSF= 1.0368			RMSF= 1.0325		

## ACTA DE REUNIÓN

Asistieron al M. Univ. H. Rodríguez y al Dr. C. L. Siméon por su dirección en la realización de este trabajo, así como por sus consideraciones.

Al final de la reunión se dio la siguiente resolución:

En igual motivo, a 5 mil pesos de honorarios y amigables, al Dr. Rodríguez, M. Univ. Dr. Rodríguez, Dr. Chávez, Dr. Martínez, Dr. Chávez, G. Gutiérrez, M. Valdés y M. Macías, así como honorarios de gastos de viaje, gastos hotel y económico por servicios.

Este trabajo quedó aceptado por el Instituto de Ingenieros UNAM, por lo que correspondió a las autoridades del mismo, su autorización y apoyo para presentarlo como trabajo profesional.